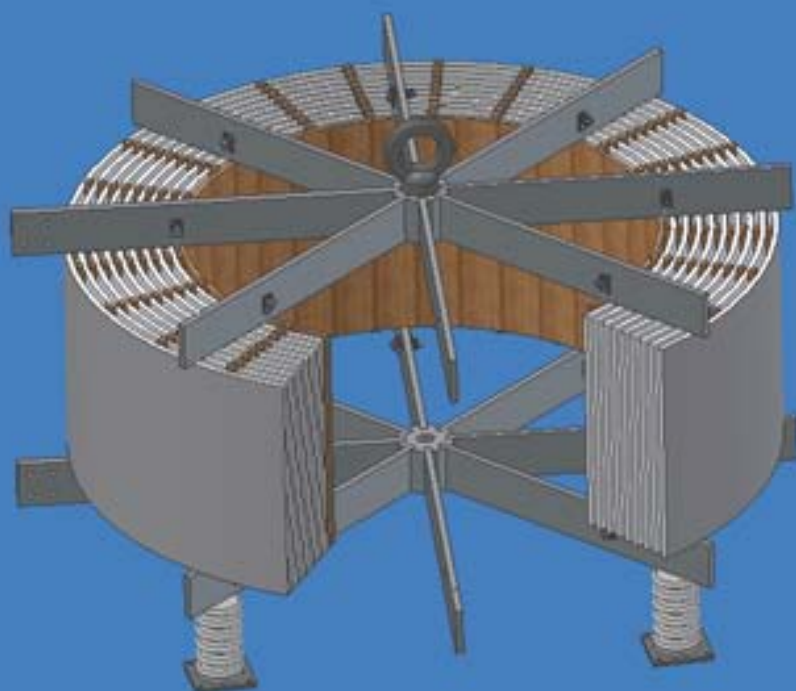


Bobine de reactanță fără miez feromagnetic



Bobine de reactanță fără miez feromagnetic

Referenți științifici:

Prof.univ.dr.ing. Petre TUȘALIU

Conf.univ.dr.ing. Eleonor STOENESCU

Facultatea de Electrotehnică

Universitatea din Craiova

Copyright © 2009 Universitaria

Toate drepturile sunt rezervate Editurii Universitaria

**Descrierea CIP a Bibliotecii Naționale a
României**

ANOAICA, PAUL GABRIEL

Bobine de reactanță fără miez feromagnetic /

Anoaica Paul-Gabriel. - Craiova : Universitaria,
2009

Bibliogr.

ISBN 978-606-510-465-5

621.318.43

Apărut: 2009

Tipografia Universității din Craiova

Str. Brestei, nr.156A, Craiova, Dolj, România

Tel.: +40 251 598054

Tipărit în România

Prefață

Lucrarea se adresează inginerilor electrotehnicieni proiectanți, energeticienilor și specialiștilor în acționări electrice, care se confruntă cu problematica dimensionării bobinelor de reactanță limitatoare de curent fără miez feromagnetic conectate în serie în circuitele electrice, precum și studenților care se pregătesc în specialitățile electrotehnică, energetică și acționari electrice.

Conținutul volumului este organizat în următoarele 2 părți: teoretizarea și rezolvarea problemelor – în prima parte – și realizarea calculului într-un caz concret, bazat și pe un *software* propriu – în partea Anexă.

Se urmărește clarificarea acestui tip de problemă, pe baza unei experiențe în domeniu de aproximativ 35 de ani, în ideea în care practica electrotehnică la nivel național este într-o stare de declin vremelnic. Se dorește astfel predarea unei ștafete, pentru a se reporni dintr-un teren „deștelenit“.

Autorii

Cuprins:

PREFAȚĂ.....	5
CUPRINS:.....	7
1. INTRODUCERE	9
2. CALCULUL DE PREDIMENSIONARE AL BOBINEI DE REACTANȚĂ FĂRĂ MIEZ FEROMAGNETIC, REALIZATĂ DIN SOLENOIZI CONCENTRICI, CU ÎNĂLȚIMI EGALE, CONECTAȚI ÎN PARALEL	12
3. SCHIMBUL DE CĂLDURĂ	25
4. DENSITATEA ADMISIBILĂ DE CURENT ÎN ÎNFĂȘURĂRILE DE CUPRU. 30	
5. DENSITATEA ADMISIBILĂ DE CURENT ÎN ÎNFĂȘURĂRILE DE ALUMINIU	40
6. CALCULUL PIERDERILOR ÎN REGIM PERMANENT DE FUNCȚIONARE 50	
7. VERIFICAREA ÎNCĂLZIRII ÎN REGIM NOMINAL DE FUNCȚIONARE.....	53
8. FUNCȚIONAREA LA CURENTUL NOMINAL DE SCURTĂ DURATĂ (CURENTUL DE SCURTCIRCUIT BRUSC)	58
9. VERIFICAREA FUNCȚIONARII BOBINEI LA FORȚELE ELECTRODINAMICE.....	61
9.1 RELAȚII GENERALE PENTRU CALCULUL FORȚELOR.....	61
9.2 FORȚELE ELECTROMAGNETICE ÎN BOBINELE CILINDRICE.....	62
9.3 FORȚELE DINTRE DOUĂ BOBINE CILINDRICE IDENTICE COAXIALE.....	71
9.4 FORȚELE ÎNTRE DOUĂ BOBINE CILINDRICE IDENTICE CU AXELE PARALELE AȘEZATE LA ACEEAȘI COTĂ	73
ANEXA A.1: ALEGEREA BOBINELOR DE REACTANȚĂ LIMITATOARE DE CURENT PENTRU PROTECȚIA CIRCUITELOR ELECTRICE. EXEMPLUL NUMERIC	78
ANEXA A.2: BOBINA DE REACTANȚA "BR-6000-2500-5", USCATĂ, FĂRĂ MIEZ FEROMAGNETIC, DE TIP SERIE DEFINITĂ ÎN CEI 60076-6: 2007. EXEMPLUL NUMERIC: CALCULUL DE DIMENSIONARE.....	80
A.2.1. DATE NOMINALE:	80
A.2.2. CALCULUL DE PREDIMENSIONARE	81
A.2.3. CALCULUL PIERDERILOR ÎN REGIM PERMANENT DE FUNCȚIONARE	88
A.2.4. VERIFICAREA ÎNCĂLZIRII ÎN REGIM NOMINAL DE FUNCȚIONARE	89
A.2.5 VERIFICAREA FUNCȚIONARII LA CURENTUL NOMINAL DE SCURTĂ DURATĂ.....	90
A.2.6 VERIFICAREA LA FORȚELE ELECTROMAGNETICE	91
BIBLIOGRAFIE:.....	95

Bobine de reactanță fără miez feromagnetic

1. Introducere

Noțiunea de bobina de reactanță sau de bobina de inductanță este atribuită elementelor unui circuit electric sau ale unui sistem energetic care în regim electromagnetic cvasistaționar sunt considerate ca având numai o inductivitate, respectiv o reactanță inductivă.

Introducerea acestora în sistemul energetic are drept scop producerea unei căderi de tensiune când este parcursă de un curent alternativ sau un curent variabil în timp, respectiv realizarea unui schimb de putere reactivă cu sistemul.

Căderea de tensiune în curent alternativ produsă de bobina de reactanță, în ipoteza că se neglijează rezistența înfășurării și se consideră regimul cvasistaționar, este dată de relația:

$$U_b = 2\pi \cdot f \cdot L \cdot I.$$

Căderea de tensiune este proporțională cu valoarea efectivă a curentului I și cu frecvența f , dacă se presupune că inductivitatea L a bobinei este constantă.

Puterea reactivă a bobinei este:

$$Q = U_b^2 / (2\pi \cdot f \cdot L);$$

Puterea reactivă variază proporțional cu pătratul tensiunii la bornele bobinei, dacă inductivitatea L este presupusă constantă. La bobinele cu miez de fier, odată cu creșterea tensiunii se produce saturația miezului feromagnetic; inductivitatea L scade, având ca

urmare o creștere a puterii reactive în funcție de tensiunea la borne mai rapidă decât cu pătratul valorii tensiunii.

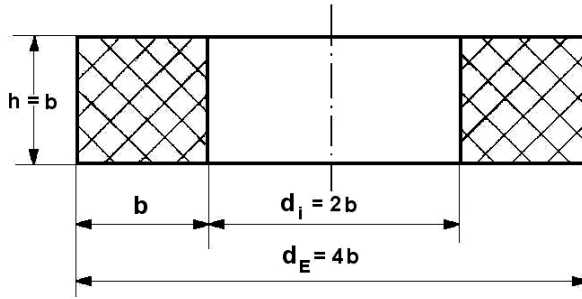


Figura 1: Dimensiunile optime ale bobinei fără miez feromagnetic

Bobinele de reactanță se utilizează în diferite scopuri: pentru compensarea puterii reactiv – capacitive în rețelele electrice, pentru limitarea curenților de scurtcircuit în sistemul energetic sau pentru limitarea curenților de pornire la motoarele de inducție, pentru filtrarea armonicilor din curba curentului alternativ sau pentru netezirea curentului continuu în instalațiile de redresare, pentru tratarea rețelelor electrice împotriva punerilor la pământ, precum și pentru protecția liniilor de înaltă tensiune împotriva supratensiunilor.

Construcția bobinelor cilindrice fără miez feromagnetic cu dimensiunile din figura 1 corespund unui optim tehnico-economic, realizând la o valoare data a inductivității, un volum minim al înfășurărilor. Construcția optimă se obține atunci când sunt îndeplinite următoarele condiții [3], [8]:

- bobina este pătrată: $h = b = a$;
- latura pătratului are valoarea: $b = d_m / 3$, unde $d_m = (d_i + d_E) / 2$ este diametrul mediu al înfășurării; rezultă că diametrul interior al înfășurării va fi $d_i = 2 \cdot b$ (raza interioară a înfășurării este $R_i = b$), iar diametrul exterior al înfășurării: $d_E = 4b$.

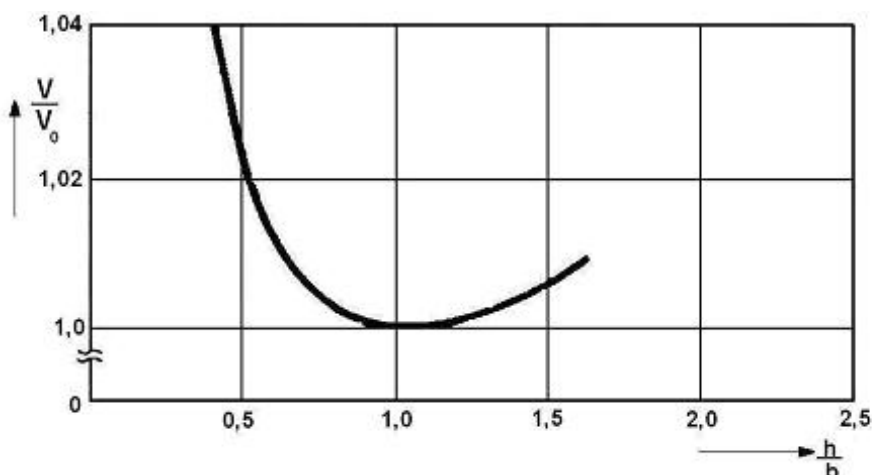


Figura 2: Funcția $V / V_0 = f(h / b)$

Construcția optimă nu este critică în sensul că la abateri relativ însemnate ale raportului dimensiunilor rezultă o creștere relativ mică a volumului. În figura 2 s-a reprezentat grafic volumul bobinei V raportat la volumul corespunzător construcției optime V_0 , în funcție de raportul dintre înălțimea h a acesteia și raza sa interioară $R_i = b$; din graficul reprezentat în figura 2 rezultă ca se pot construi bobine cu rapoarte ale dimensiunilor diferite – între anumite limite – față de cele optime, deoarece creșterea volumului înfășurării este relativ mică.

La proiectarea bobinelor se urmărește faptul ca suprafața ocupată de bobine să fie cât mai mică pentru a ocupa cat mai puțin din suprafața stației electrice în care se va monta; în acest scop bobinele fără miez feromagnetic se construiesc cu o înălțime mai mare decât înălțimea optimă. Această construcție este favorabila și pentru procesul de transmisie a căldurii, deoarece crește suprafața bobinei.

Condițiile principale pe care trebuie să le satisfacă construcția bobinelor fără miez feromagnetic sunt următoarele [7]:

- Sa prezinte o stabilitate mecanică corespunzătoare la acțiunea

forțelor electrodinamice produse de curentul de scurtcircuit brusc maxim admisibil;

- Sa asigure o transmisie bună a căldurii dezvoltate în bobina în regimul de funcționare în regimul de durată, astfel încât valoarea temperaturii conductoarelor sa fie sub valoarea maximă admisibilă determinată de clasa de izolație; căldura dezvoltată în regimul tranzitoriu de curentul de scurtcircuit să nu conducă la o temperatură care să depășească valoarea permisă în funcție de clasa de izolație și de natura materialului;

- Să prezinte o izolație corespunzătoare între spire – între borne dar și față de masa – la valoarea maxima a tensiunii care apare la bornele bobinei în regimul tranzitoriu.

Bobina de reactanță fără miez feromagnetic realizată cu înfășurarea din solenoizi concentrici conectați în paralel asigură îndeplinirea condițiilor tehnice mai sus menționate.

2. Calculul de predimensionare al bobinei de reactanță fără miez feromagnetic, realizată din solenoizi concentrici, cu înălțimi egale, conectați în paralel

Inductivitatea unei bobine de reactanță cilindrice, fără miez feromagnetic, poate fi determinată cu următoarele relații de calcul [1-3]:

$$L = \lambda \cdot D \cdot w^2 \cdot 10^{-7} \quad [H], \quad (1)$$

unde:

- λ este un coeficient care depinde de geometria bobinajului și este dat în nomogramele din figura 3 (a și b), în funcție de rapoartele: d_i / d_E și h / d_E (d_E / h);

- d_E [m]- diametrul exterior al bobinajului;
- d_i [m]- diametrul interior al bobinajului;
- h [m]- înălțimea bobinei (dimensiunea pe direcție axială a bobinajului);
- w - numărul de spire care ocupă întregul volum al bobinajului.

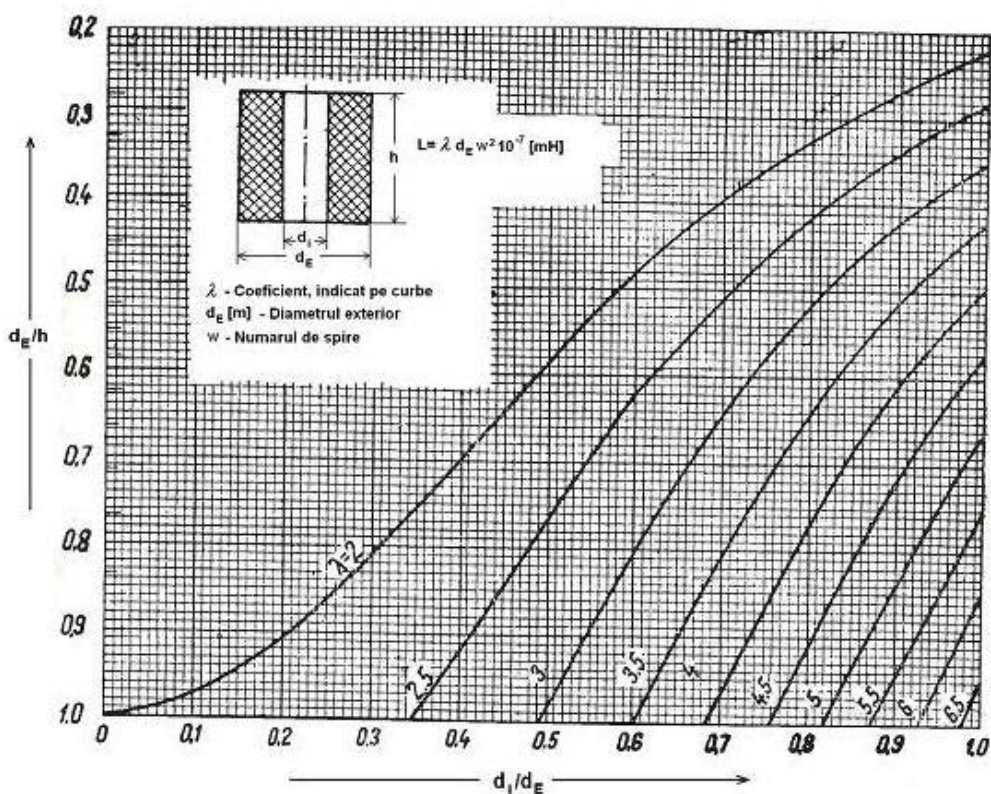


Figura 3.1: Nomogramele pentru determinarea coeficientului λ din formula (1)

$$L = \mu_0 \cdot w^2 \cdot \frac{\pi \cdot d_m^2}{4} \cdot \frac{1}{h_L} \cdot k_L \quad [H], \quad (2)$$

unde:

- $\mu_0 = 4 \cdot \pi \cdot 10^{-7} [H / m]$, permeabilitatea vidului;
- w - numărul de spire care ocupă întregul volum al bobinajului;
- d_m [m] - diametrul mediu al bobinajului;

- h [m] - înălțimea bobinei (dimensiunea pe direcție axială a bobinajului);

- k_L - un coeficient ce depinde de geometria bobinajului și este dat în nomogramele din figura 4, în funcție de rapoartele: h / d_m și b / d_m , în care b [m] este grosimea bobinajului (dimensiunea pe direcție radială).

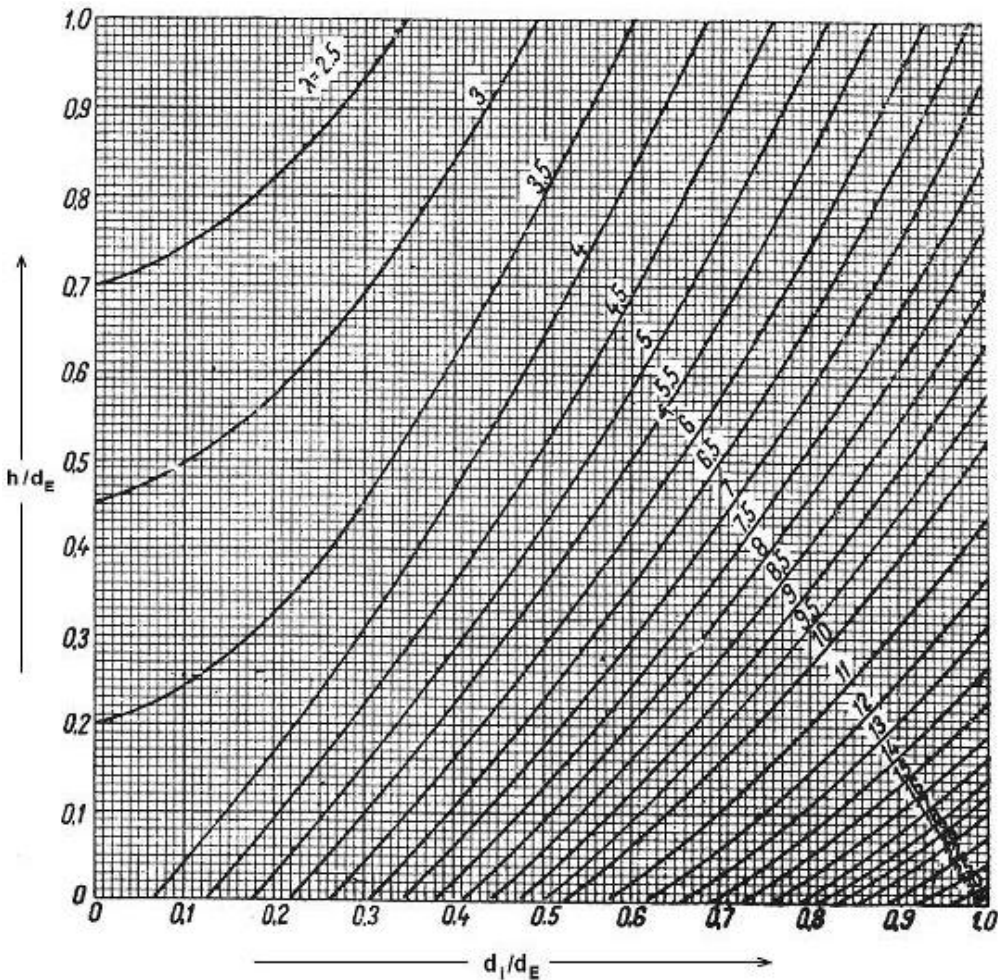


Figura 3.2: Nomogramele pentru determinarea coeficientului λ din formula (1)

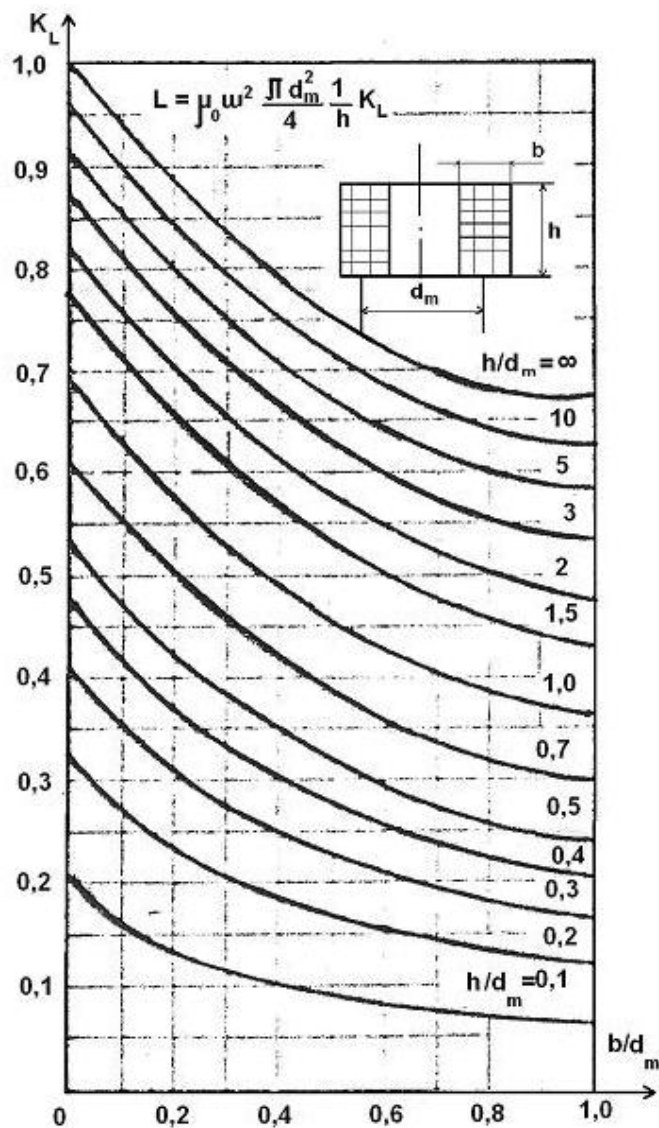


Figura 4.1: Nomogramele pentru determinarea coeficientului „ K_L ” din formula (2)

$$L = \frac{\mu_0}{4 \cdot \pi} \cdot w^2 \cdot d_m \cdot \phi \quad [H], \quad (3)$$

unde:

- $\mu_0 = 4\pi \cdot 10^{-7} [H / m]$, permeabilitatea vidului;
- w - numărul de spire care ocupă întregul volum al bobinajului;
- $d_m = \frac{1}{2} (d_E + d_i) [m]$ - diametrul mediu al bobinajului;

- ϕ - o mărime a cărei valoare poate fi determinată din nomogramele reprezentate în figura 5 (a, b și c), în funcție de parametrii ρ și α ; pe axa absciselor s-a reprezentat parametrul: $\rho = b / d_m$, în care $b = \frac{1}{2} (d_E - d_i)$ [m] este grosimea bobinajului (dimensiunea pe direcție radială) - iar pe axa ordonatelor s-a reprezentat parametrul $\alpha = h / d_m$, în care h este înălțimea bobinajului (dimensiunea pe direcție axială).

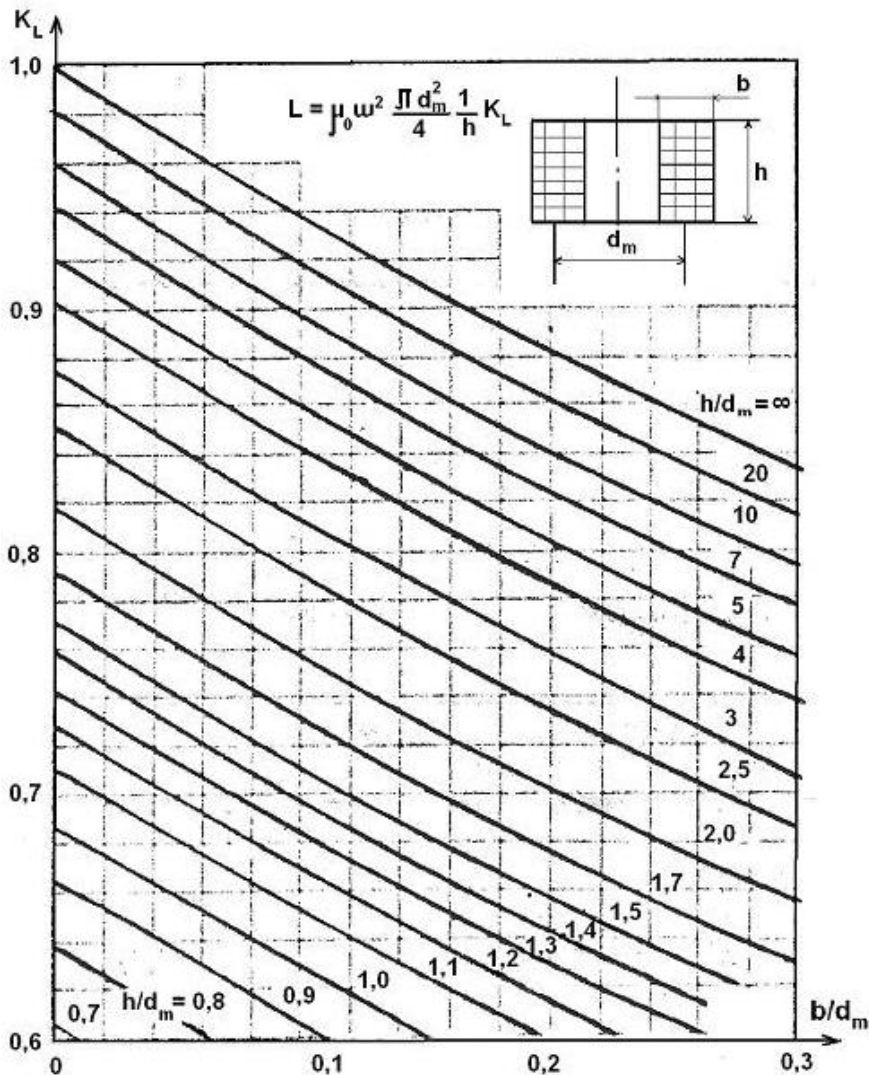


Figura 4.2: Nomogramele pentru determinarea coeficientului „ K_L ” din formula (2)

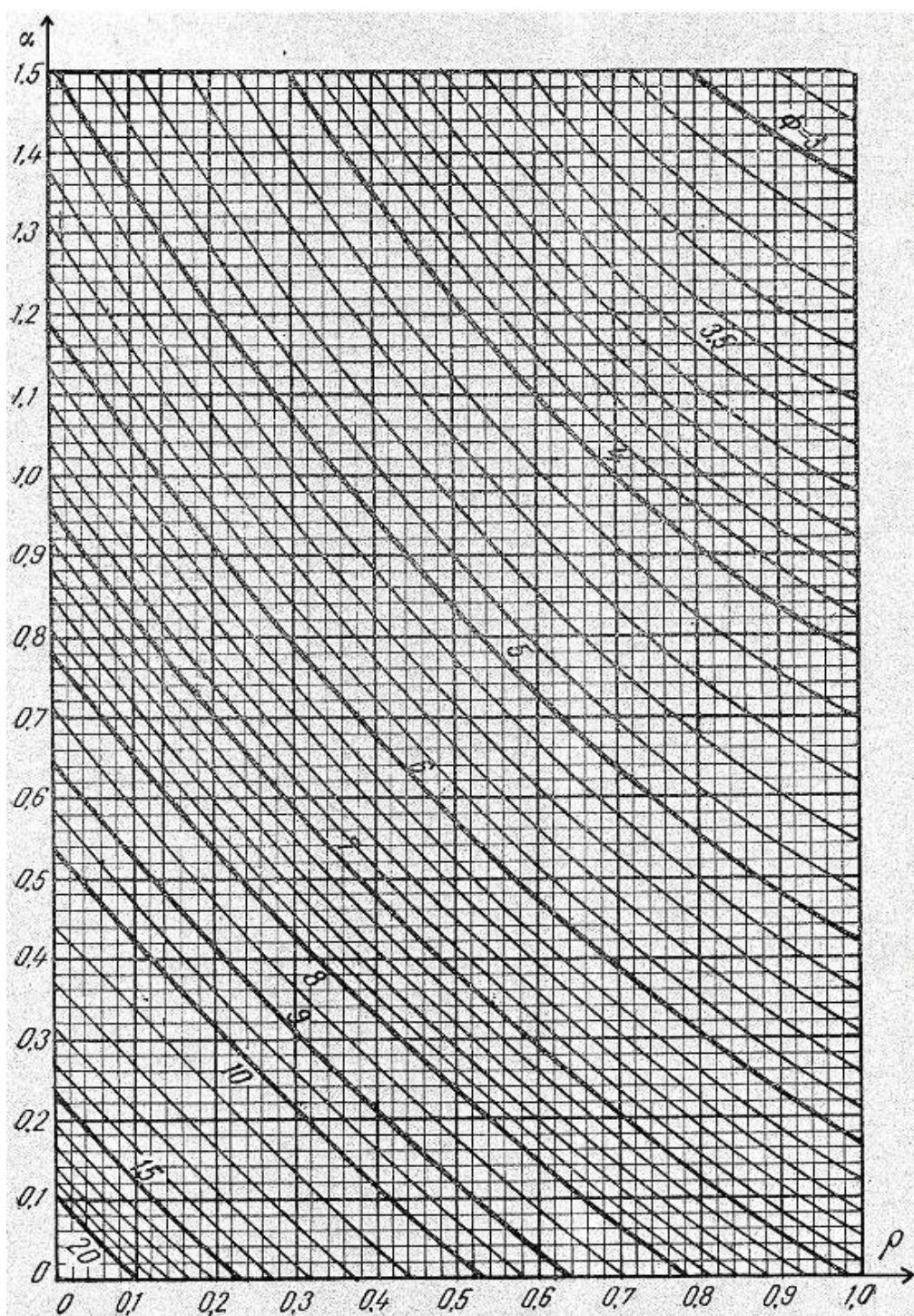


Figura 5.1: Nomogramele pentru determinarea coeficientului ϕ din formula (3)

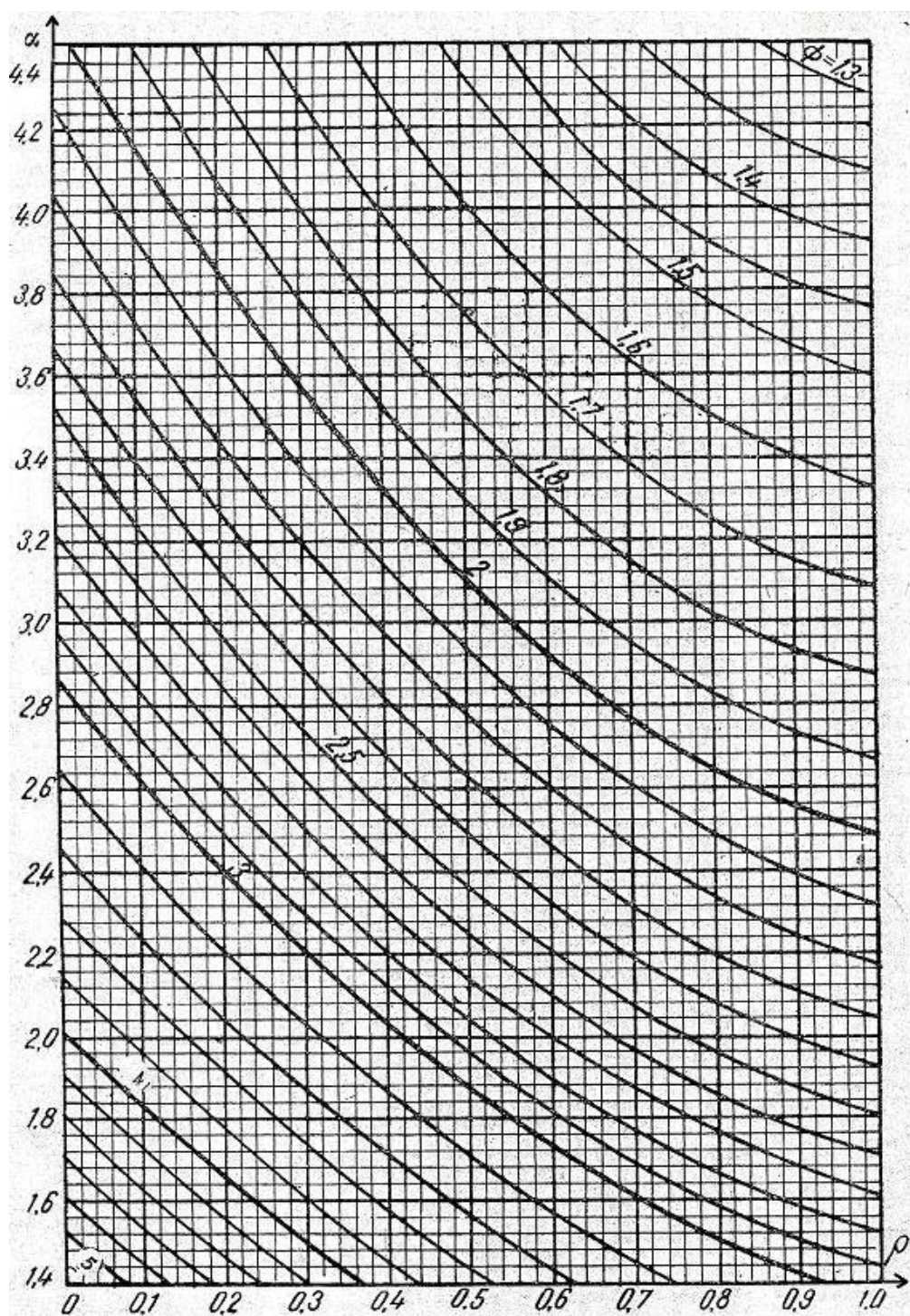


Figura 5.2: Nomogramele pentru determinarea coeficientului ϕ din formula (3)

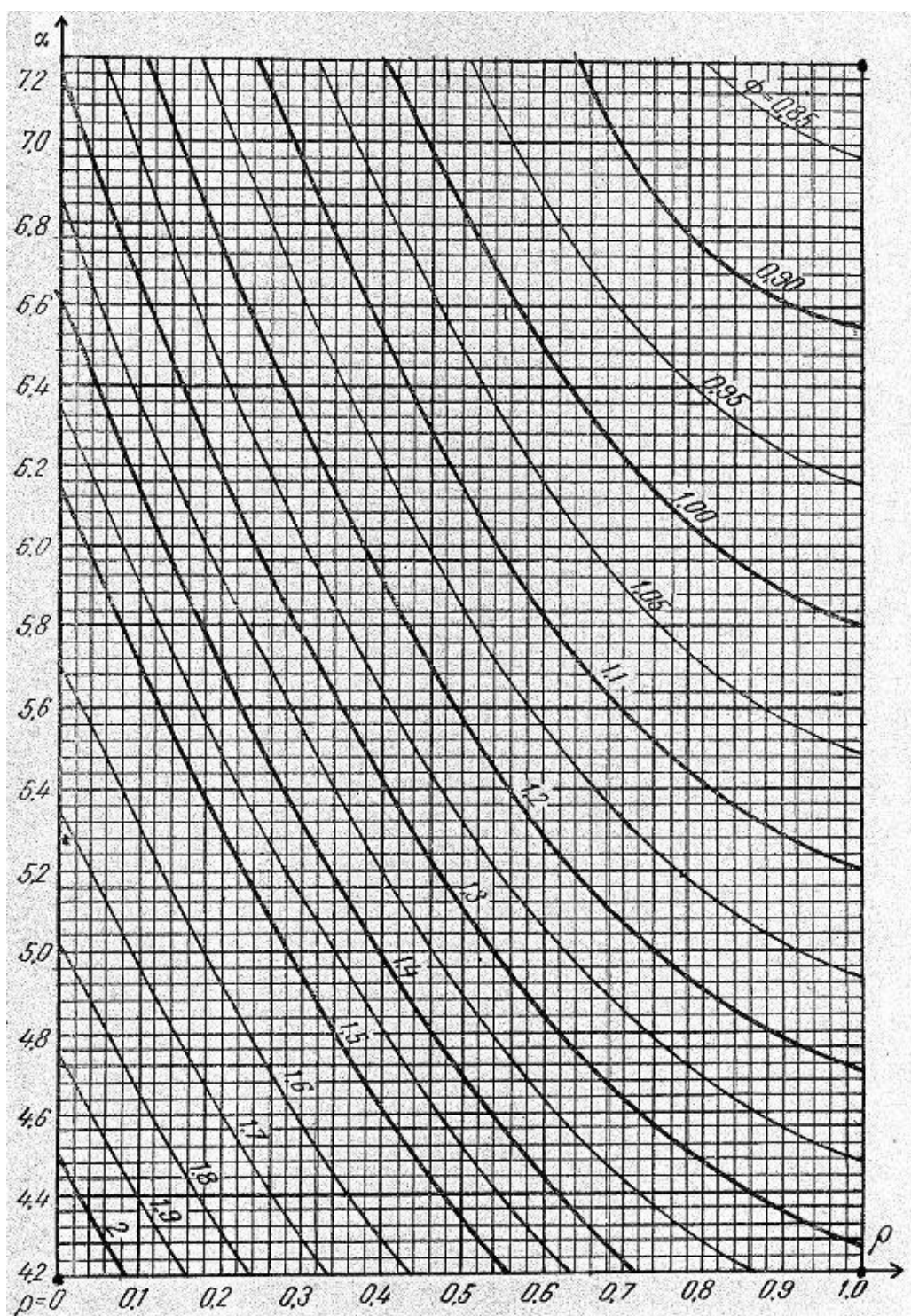


Figura 5.3: Nomogramele pentru determinarea coeficientului ϕ din formula (3)

În figura 6 este prezentată schematic secțiunea longitudinală a unei bobine realizată din „N” solenoizi concentrați conectați în paralel.

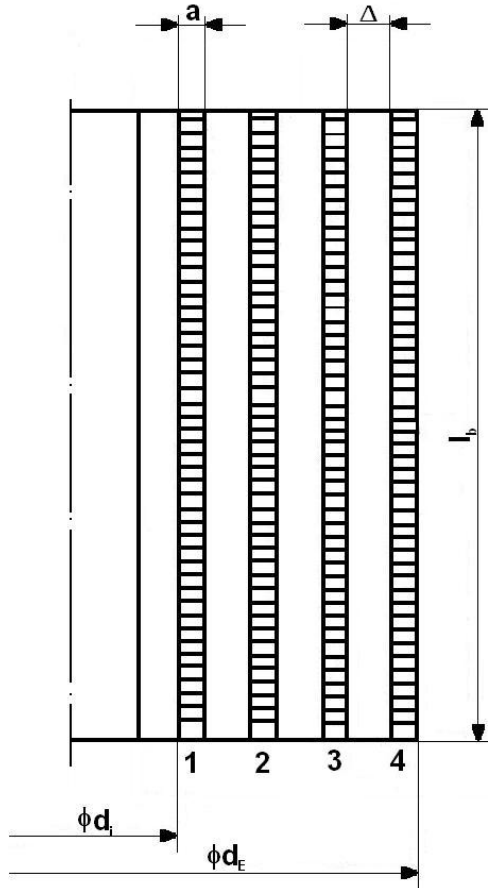


Figura 6: Dimensiunile geometrice ale unei bobine cilindrice realizată din „N” solenoizi conectați în paralel.

Din analiza relațiilor de calcul (1), (2) și (3) rezultă ca în cazul unei bobine care are geometria bobinajului predeterminată, inductivitatea „L” este o funcție care variază linear cu pătratul numărului de spire:

$$L = k_f \cdot w^2, \quad (4)$$

unde:

- k_f , este coeficientul de formă – un invariant pentru bobinele care au dimensiunile identice;

- w , este numărul de spire care ocupă întreg volumul bobinajului.

Considerăm bobina prezentată în figura 7 cu dimensiunile invariante:

- fereastra bobinei: $\Delta R \times h$, unde $\Delta R = b = \frac{1}{2} (d_E - d_i)$ este grosimea bobinajului (dimensiunea pe direcție radială), iar h este înălțimea bobinajului (dimensiunea pe direcție axială);

- diametrele: d_i și d_E .

Pentru un număr de spire w_N , care ocupă întreaga fereastră a bobinei „ $\Delta R \times h$ ”, \Rightarrow

$$L_N = k_f \cdot w_N^2, \quad (5)$$

În ipoteza în care fiecare spiră a celor „ w_N ” spire este formată dintr-un mănunchi de spire elementare cu secțiunea $g^2 = 1 \text{ mm}^2$, atunci numărul de spire elementare care ocupă întreaga fereastră a bobinei va fi dat de relația:

$$w' = \frac{n_0 \cdot n_V \cdot N}{g^2} \cdot w_N, \quad (6)$$

unde:

- $n_0 \cdot n_V \cdot N [m^2]$, este secțiunea aparentă a spirei bobinei, în care n_0 și n_V - sunt dimensiunile pe direcție radială, respectiv axială, a secțiunii dreptunghiulare a spirei solenoidului (sunt incluse atât majorările datorate izolației conductoarelor cât și cele datorate creșterii pe ambele direcții ale bobinajului), iar N - este numărul de solenoizi conectați în paralel;

- $g^2 = 1 \cdot 10^{-6} m^2$, secțiunea spirei elementare.

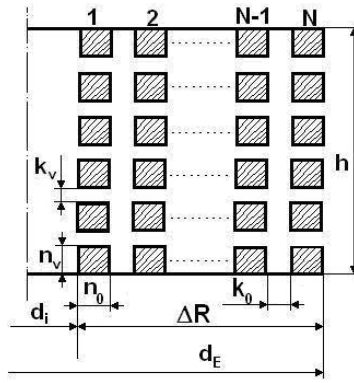


Figura 7: Notațiile folosite pentru determinarea inductivității de calcul „ L_c ” pentru bobina echivalentă

Inductivitatea acestei bobine va fi dată de relația:

$$L_B = k_f \cdot w'^2. \quad (7)$$

Din relațiile (5), (6) și (7) rezultă

$$L_B = \left(\frac{n_0 \cdot n_v \cdot N}{g^2} \right)^2 \cdot L_N. \quad (8)$$

Dacă considerăm că întreg spațiul disponibil al ferestrei bobinei „ $\Delta R \times h$ ” (inclusiv spațiile aferente canalelor de răcire și izolației conductorilor), este umplut compact cu spirele elementare de secțiune $g^2 = 1\text{mm}^2$, atunci se obține o bobină echivalentă care are inductivitatea de calcul „ L_c ” dată de relația:

$$L_c = k_f \cdot w''^2, \quad (9)$$

unde:

$$w'' = \frac{(n_0 + k_0) \cdot (n_v + k_v)}{g^2} \cdot N \cdot w_N. \quad (10)$$

Din relațiile (5), (9) și (10) rezultă expresia inductivității de calcul „ L_c ” a bobinei echivalente:

$$L_c = \left[\frac{(n_0 + k_0) \cdot (n_v + k_v)}{g^2} \cdot N \right]^2 \cdot L_N. \quad (11)$$

Combinând relațiile (8) și (11) rezultă:

$$\frac{L_c}{L_B} = \left[\frac{(n_0 + k_0) \cdot (n_v + k_v)}{n_0 \cdot n_v} \right]^2 = \left(1 + \frac{k_0}{n_0} + \frac{k_v}{n_v} + \frac{k_0 \cdot k_v}{n_0 \cdot n_v} \right)^2. \quad (12)$$

Din combinația relațiilor (8) și (12) \Rightarrow

$$L_c = \left(\frac{n_0 \cdot n_v \cdot N}{g^2} \right)^2 \cdot \left(1 + \frac{k_0}{n_0} + \frac{k_v}{n_v} + \frac{k_0 \cdot k_v}{n_0 \cdot n_v} \right)^2, \quad (13)$$

dar, $n_0 \cdot n_v \cdot N = k_M \cdot I_N / j_N$, unde $k_M = n_0 \cdot n_v / \Sigma S_c$ - este factorul de majorare al secțiunii spirei solenoidului, în care: $n_0 \cdot n_v$ - este secțiunea aparentă a spirei solenoidului (vezi formula (6)), ΣS_c este secțiunea reală a spirei solenoidului); $I_N [A]$ - este valoarea curentului nominal al bobinei, iar $j_N [A/m^2]$ - este densitatea de curent utilizată. Rezultă:

$$L_c = \left(k_M \cdot \frac{I_N}{g^2 \cdot j_N} \right)^2 \cdot \left(1 + \frac{k_0}{n_0} + \frac{k_v}{n_v} + \frac{k_0 \cdot k_v}{n_0 \cdot n_v} \right)^2 \cdot L_N \quad (14)$$

Volumul minim al înfășurărilor se obține pentru bobina echivalentă care are fereastra un pătrat cu latura „ $\Delta R = b$ ” dată de relația [3]:

$$b^5 = \frac{4\pi}{\mu_0} \cdot g^4 \cdot \frac{L_c}{25,5}; \quad (15)$$

unde $\mu_0 = 4\pi \cdot 10^{-7} [H/m]$ este permeabilitatea vidului iar $g = 1 \cdot 10^{-3} [m]$ – latura conductorului elementar cu secțiunea $g^2 = 1 \cdot 10^{-6} m^2$.

Rezultă:

$$b = 10^{-1} \cdot \left(\frac{L_c}{25,5} \right)^{\frac{1}{5}} [m]. \quad (16)$$

Dimensiunile optime ale bobinei pătrate echivalente sunt (vezi figura 7):

$$h = b; \quad d_m = 3 \cdot b; \quad d_i = 2 \cdot b; \quad d_E = 4 \cdot b. \quad (17)$$

La bobina fără miez feromagnetic executată din mai mulți

solenoidi concentrici conectați în paralel trebuie realizată egalizarea curenților pe fiecare solenoid în parte:

$$I_1 = I_2 = \dots = I_i = \dots = I_k = \dots = I_n . \quad (18)$$

Se determină impedența fiecărei căi de curent în parte cu ajutorul „Relațiilor lui Maxwell privitoare la inductivități” [4]. În ipoteza în care valorile curenților pe fiecare cale sunt identice, atunci și valorile impedențelor fiecărei căi de curent conectate în paralel trebuie să fie identice:

$$Z_1 = Z_2 = \dots = Z_i = \dots = Z_k = \dots = Z_n ; \quad (19)$$

unde $Z_i = \sqrt{R_i^2 + (\omega \cdot L_i)^2}$ iar $L_i = L_{ii} + \sum_{i \neq k=1}^n M_{ik}$.

Elementele necunoscute ale sistemului de ecuații (19) sunt constituite din numărul de spire „ w_i ” al fiecărui solenoid care aparține mulțimii celor „ n ” solenoidi conectați în paralel.

Acest sistem de ecuații poate fi rezolvat cu ajutorul unui program *software* specializat. Numărul de spire „ w_1 ” al primului solenoid (solenoidul cu diametrul cel mai mic) va rezulta cel mai mare și implicit înălțimea „ h_1 ” a acestui solenoid va fi cea mai mare. Ceilalți solenoidi vor avea un număr mai mic de spire $w_i < w_1$. Totuși, toți solenoidii vor avea înălțimile egale cu înălțimea primului solenoid! Dar cum densitatea spirelor este aceeași pentru toți solenoidii, va rezulta o zonă fără spire (determinată de diferența de spire: $w_1 - w_i$) la solenoidii $2 \div n$, care va fi centrată la jumătatea înălțimii solenoidilor. Amplasarea acestor „zone fără spire” la jumătatea înălțimii solenoidilor este justificată din motive tehnologice, dar și din motive tehnico-economice. Amplasarea „zonelor fără spire” la capetele

solenoidelor sau distribuirea uniformă a acestora pe întreaga lungime a solenoidelor sunt soluții tehnice netehnologice, care ar conduce implicit la costuri suplimentare de materiale și manopera.

3. Schimbul de căldură

Agentul de răcire la o bobină de reactanță uscată fără miez feromagnetic este aerul, care primește căldură de la înfășurare. Răcirea cea mai simplă și cea mai frecvent întâlnită este în circuit deschis, când aerul rece, intrând în bobina din mediul ambiant, este evacuat după încălzire din nou spre mediul ambiant.

Bobinele uscate se construiesc cu înfășurările cilindrice, având axa situată pe verticala locului [7].

Executarea înfășurării din solenoidi cilindrici concentrici, separați între ei prin canale de răcire, permite o răcire intensivă a înfășurărilor, datorită efectului de tiraj produs de curentul de aer încălzit.

Pentru o bobina de reactanță uscată, realizată din solenoidi concentrici, schimbul de căldură cu înfășurările se efectuează prin convecție și radiație; determinarea valorii coeficienților corespunzători de transmitere a căldurii se poate face numai pe cale experimentală.

Schimbul de căldură prin radiație joacă un rol mai mare la răcirea înfășurărilor bobinelor de reactanță uscate, comparativ cu un bobinaj amplasat într-o cuvă cu ulei. Cantitatea de căldură radiată în unitatea de timp de pe unitatea de suprafață este dată de relația [4]:

$$q_{rad} = 5,15 \cdot 10^{-12} \cdot (T^4 - T_{amb}^4), \quad (20)$$

în care T este temperatura absolută a suprafeței înfășurărilor, iar T_{amb}

este temperatura absolută a mediului ambiant (ambele exprimate în grade Kelvin).

Schimbul de căldură prin convecție are un caracter mult mai complicat, deoarece depinde de caracterul curentului de aer (curent turbionar sau laminar) și de viteza aerului, deci de mărimea și de forma secțiunii canalelor de răcire al înfășurărilor și de lungimea lor, adică de înălțimea bobinei de reactanță răcite. În formă simplificată, relația de calcul pentru cantitatea de căldură transmisă prin convecție de unitatea de suprafață în unitatea de timp este dată de formula:

$$q_{con} = \alpha_{con} \cdot (t - t_{amb}), \quad (21)$$

în care t și t_{amb} sunt temperatura suprafeței răcite și temperatura mediului ambiant, în $^{\circ}C$ iar α_{con} este coeficientul de transmitere a căldurii prin convecție.

În figura 8 se dau valorile determinate în baza măsurărilor experimentale efectuate de Hallacsy [4] ale coeficientului α_{lcon} în funcție de lungimea axială „ h_{bob} ” a bobinajului cilindric, pentru cazul particular când diferența de temperatură dintre suprafața răcită și mediul ambiant $\vartheta = 45^{\circ}C; 55^{\circ}C; 80^{\circ}C; 110^{\circ}C; 150^{\circ}C$ și $180^{\circ}C$ iar lățimea canalului de răcire al bobinajului este $\Delta = 1cm$.

Pentru cazurile în care lățimea canalului de răcire $\Delta \neq 1cm$, valorile coeficientului de cedare a căldurii se determină cu relația:

$$\alpha_{con} = k \cdot \alpha_{lcon}, \quad (21-1)$$

unde: k este un coeficient ce ține seama de lățimea „ Δ ” a canalelor de răcire și care are valorile determinate experimental [4], în conformitate cu diagrama din figura 9, iar α_{lcon} este coeficientul de transmitere a căldurii prin convecție cu valorile determinate

experimental pentru lăţimea canalului de răcire $\Delta = 1 \text{ cm}$, conforme cu diagramele prezentate în figura 8.

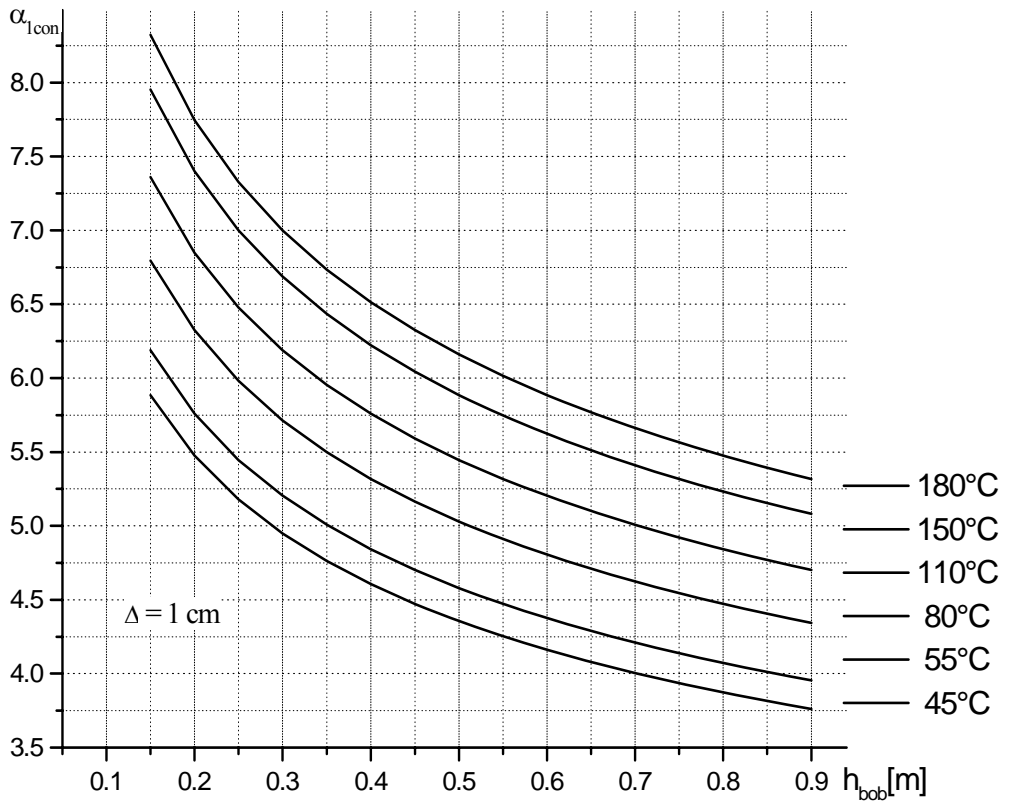


Figura 8: Coeficientul de cedare a căldurii „ α_{1con} ” în funcție de înălțimea „ h_{bob} ” a bobinei pentru o lăţime a canalelor de răcire $\Delta = 1 \text{ cm}$ [4], pentru diferite valori ale diferenței de temperatură dintre suprafața răcită și mediul ambiant ($\vartheta = 45^\circ C$; $55^\circ C$; $80^\circ C$; $110^\circ C$; $150^\circ C$ și $180^\circ C$)

Conform [12] pentru $\Delta = 1 \text{ cm}$, modelarea matematică a funcției $\alpha_{1con} = f(h_{bob})$ are expresia:

$$\alpha_{1con} = \sqrt[4]{\frac{4 \cdot \vartheta}{h_{bob}}} \quad (21-2)$$

în care, valorile mărimilor sunt exprimate în: $\alpha_{1con} [W/(m^2 \cdot \text{grad})]$, ϑ

$[^{\circ}C]$ și $h_{bob.} [m]$.

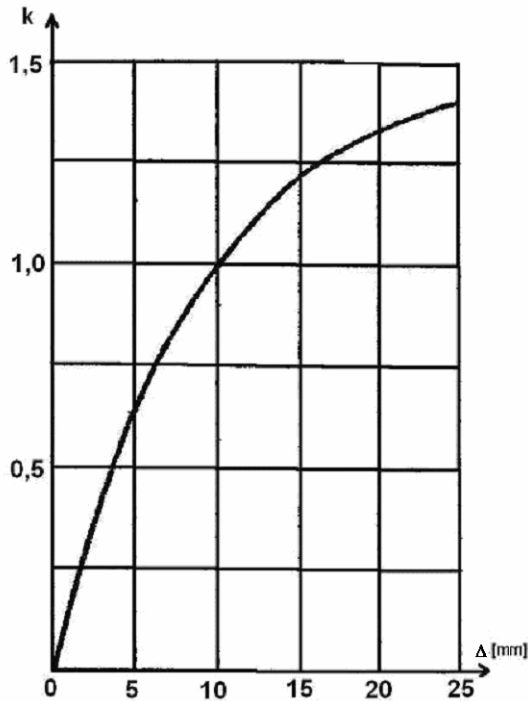


Figura 9: Coeficientul de corecție „ k ” în funcție de lățimea Δ a canalelor de răcire (determinat experimental)

Modelarea matematică a diagramei $k = f(\Delta)$ din figura 9 poate fi determinată prin interpolare iar expresia analitică obținută este dată de relația:

$$k = 5.983234428 \cdot e^{-\Delta} + 0.105493211 \cdot \Delta^3 - 4.45962512 \Delta^{1.5} + 9.137091491 \cdot \Delta - 5.98401547 \quad (21-3)$$

unde Δ este exprimat în cm și are valoarea mai mică sau egală cu 2,5 cm.

Având ca bază de referință diagramele determinate experimental de Hallacsy [4], pentru coeficienții α_{1con} și k (vezi figurile 8 și 9) se poate constata o foarte bună corespondență a acestora cu graficele funcțiilor determinate analitic cu ajutorul relațiilor matematice (21-2

și 21-3). Pentru α_{1con} abaterea maximă este $< 2\%$ - vezi figura 8.1, iar pentru factorul k abaterea maximă este $< 0,5\%$ – vezi figura 9.1.

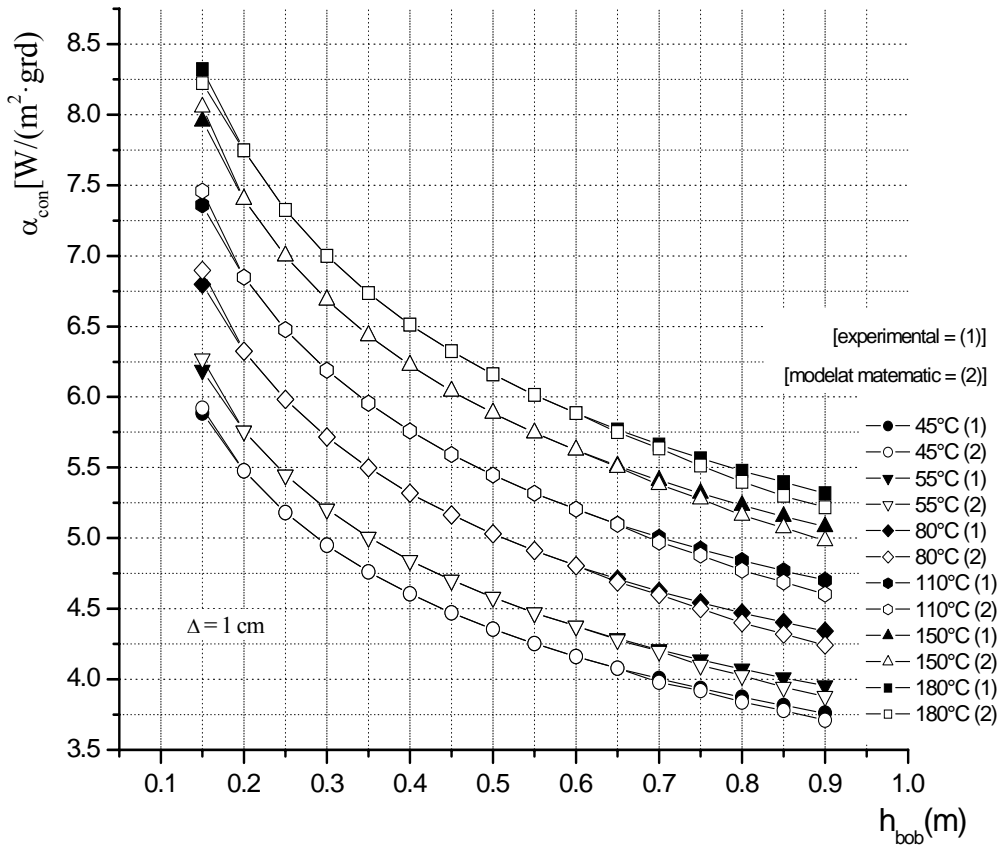


Figura 8.1: Corespondența α_{1con} modelat matematic – 1 (figură geometrică hașurată - plină), conform relației (21-2) / α_{1con} experimental – 2 (figură geometrică nehașurată – goală), pentru diferite valori ale diferenței de temperatură dintre suprafața răcită și mediul ambiant ($\vartheta = 45^{\circ}C$; $55^{\circ}C$; $80^{\circ}C$; $110^{\circ}C$; $150^{\circ}C$ și $180^{\circ}C$) și lățimea canalului de răcire $\Delta = 1$ cm (vezi [4] și [12])

Din combinația relațiilor (21-1), (21-2) și (21-3) rezultă expresia analitică a funcției $\alpha_{con} = f(h_{bob}, \Delta, \vartheta)$:

$$\alpha_{con} = \sqrt[4]{\frac{4 \cdot \vartheta}{h_{bob.}}} \cdot (5.983234428 \cdot e^{-\Delta} + 0.105493211 \cdot \Delta^3 - 4.45962512 \cdot \Delta^{1.5} + 9.137091491 \cdot \Delta - 5.98401547) \quad (21-4)$$

unde valorile mărimilor sunt date în: ϑ [$^{\circ}\text{C}$], $h_{bob.}$ [m]. și Δ [cm].

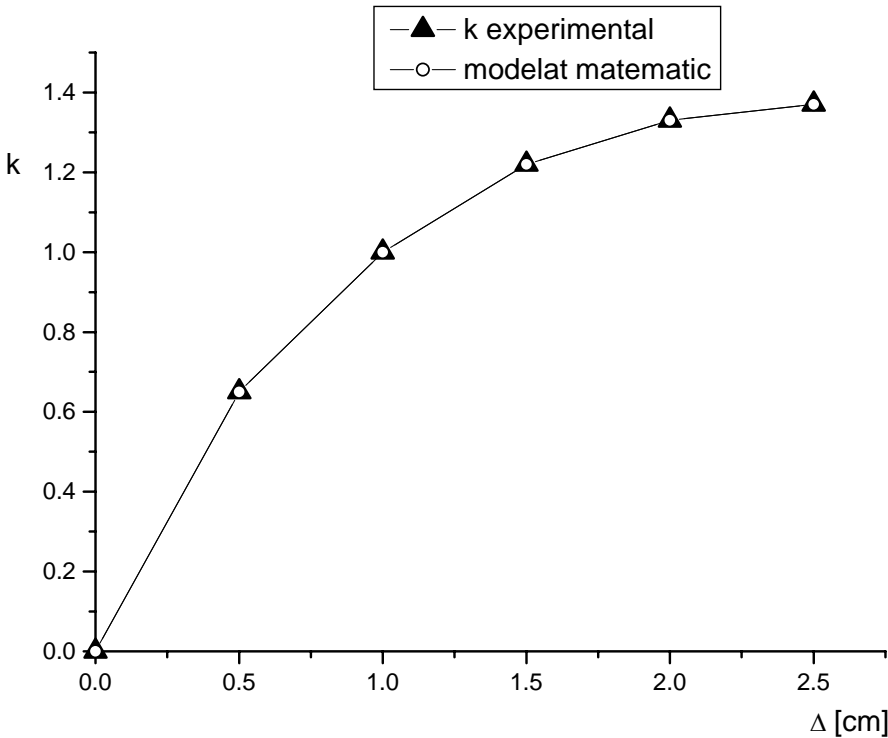


Figura 9.1: Coeficientul de corecție „ k ” în funcție de lățimea Δ a canalelor de răcire, comparație: experimental (▲) / modelat matematic (○)

4. Densitatea admisibilă de curent în înfășurările de cupru

Cunoscându-se valorile coeficienților de transmitere a căldurii, se pot stabili valorile densității admisibile de curent.

Considerăm un bobinaj cilindric cu diametrul interior d_i [m], înălțimea h_{bob} [m] și cu grosimea b [m]. Dacă pentru acest bobinaj se

folosește cuprul iar pierderile în bobina „ ΔP_{bob} ” sunt determinate la nivelul temperaturilor maxime admisibile corespunzătoare clasei de izolație, pentru o valoare maximă admisibilă a densității de curent „ j ” [A/m^2], atunci pierderile specifice „ Δp ” [$W/(m^2 \cdot ^\circ C)$] pe unitatea de suprafață și pentru un grad ($^\circ C$) de creștere a încălzirii sunt date de relațiile (vezi capitolul 7):

a) Cupru; clasa de izolație A ($\vartheta = 60\ ^\circ C$; $\theta = 100\ ^\circ C$):

$$\Delta p = 115,7 \cdot 10^{-10} \cdot k_s \cdot \frac{b \cdot j^2}{9}; \quad (22)$$

b) Cupru; clasa de izolație F ($\vartheta = 100\ ^\circ C$; $\theta = 140\ ^\circ C$):

$$\Delta p = 130,5 \cdot 10^{-10} \cdot k_s \cdot \frac{b \cdot j^2}{9}; \quad (23)$$

c) Cupru; clasa de izolație H ($\vartheta = 125\ ^\circ C$; $\theta = 165\ ^\circ C$):

$$\Delta p = 139,7033 \cdot 10^{-10} \cdot k_s \cdot \frac{b \cdot j^2}{9}; \quad (24)$$

Valorile pierderilor specifice „ Δp ” [$W/(m^2 \cdot ^\circ C)$] trebuie să fie mai mici față de valorile coeficienților de transmisie a căldurii. În cazul unui bobinaj interior, radiația poate fi neglijată; pierderile specifice admisibile sunt determinate în acest caz cu relația:

$$\Delta p \leq \alpha_{con}. \quad (25)$$

Din relațiile (22), (23) și (24) în care s-a efectuat substituția $\Delta p = \alpha_{con}$, se poate calcula încălzirea (supratemperatura) pe suprafața bobinajului:

d) Cupru; clasa de izolație A ($\vartheta = 60\ ^\circ C$):

$$\vartheta = 115,7 \cdot 10^{-10} \cdot k_s \cdot \frac{b \cdot j^2}{\alpha_{con}}; \quad (26)$$

e) Cupru; clasa de izolație F ($\vartheta = 100\ ^\circ C$):

$$\vartheta = 130,5 \cdot 10^{-10} \cdot k_s \cdot \frac{b \cdot j^2}{\alpha_{con}}; \quad (27)$$

f) Cupru; clasa de izolație H ($\vartheta = 125^\circ\text{C}$):

$$\vartheta = 139,7033 \cdot 10^{-10} \cdot k_s \cdot \frac{b \cdot j^2}{\alpha_{con}}; \quad (28)$$

sau densitatea de curent „ j ” care corespunde acestei creșteri “ ϑ ” a încălzirii:

a) Cupru – clasa de izolație A ($\vartheta = 60^\circ\text{C}$):

$$j = \sqrt{\frac{\vartheta \cdot \alpha_{con}}{115,7 \cdot 10^{-10} \cdot k_s \cdot b}}; \quad (29)$$

b) Cupru – clasa de izolație F ($\vartheta = 100^\circ\text{C}$):

$$j = \sqrt{\frac{\vartheta \cdot \alpha_{con}}{130,5 \cdot 10^{-10} \cdot k_s \cdot b}}; \quad (30)$$

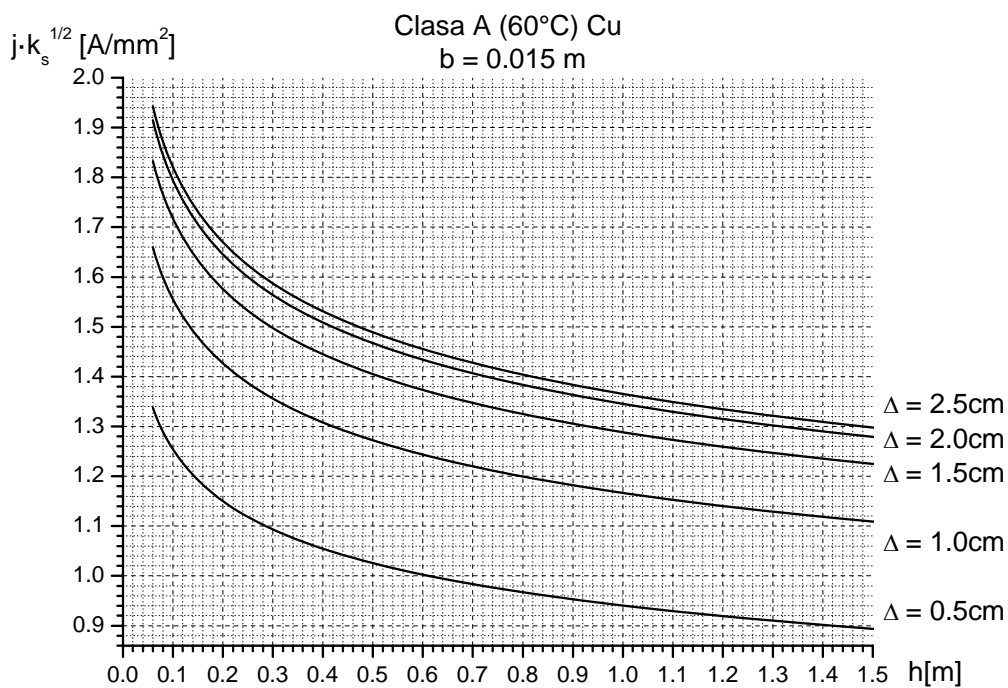
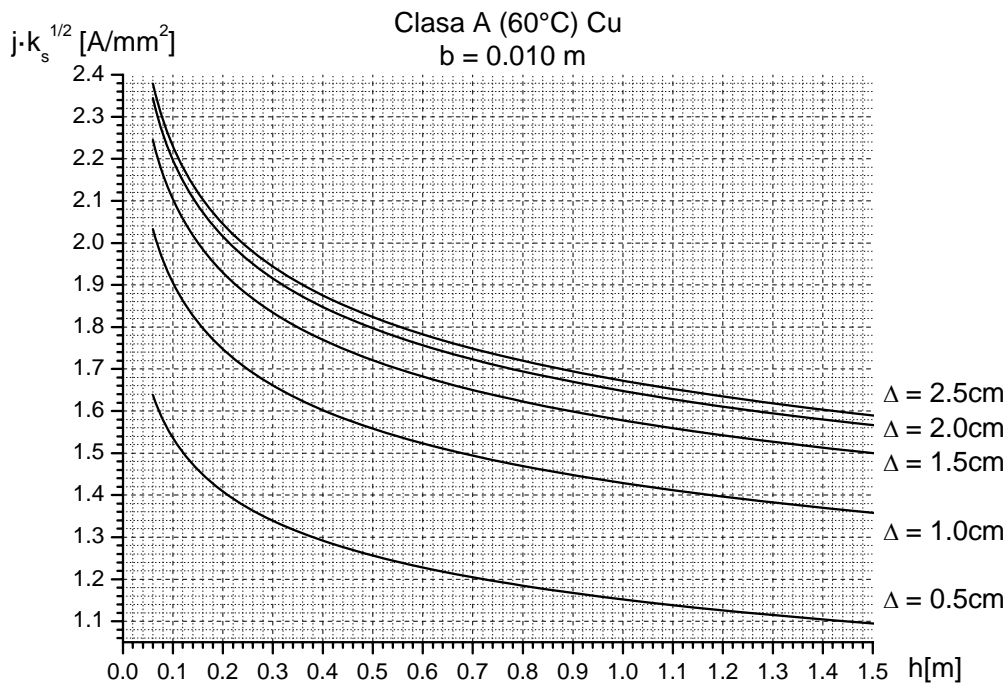
c) Cupru – clasa de izolație H ($\vartheta = 125^\circ\text{C}$):

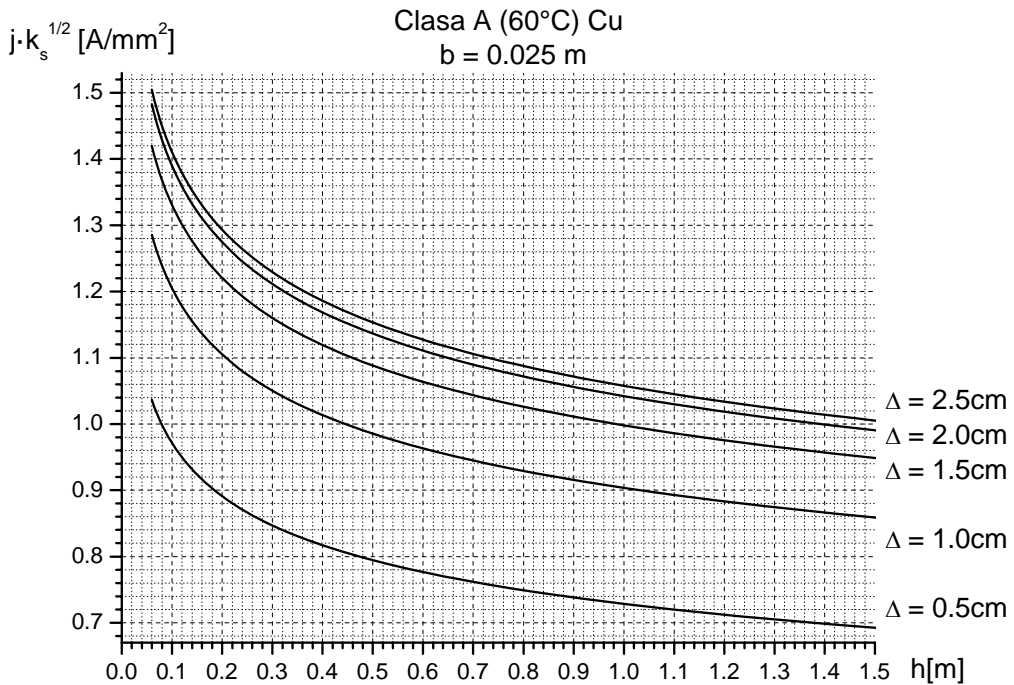
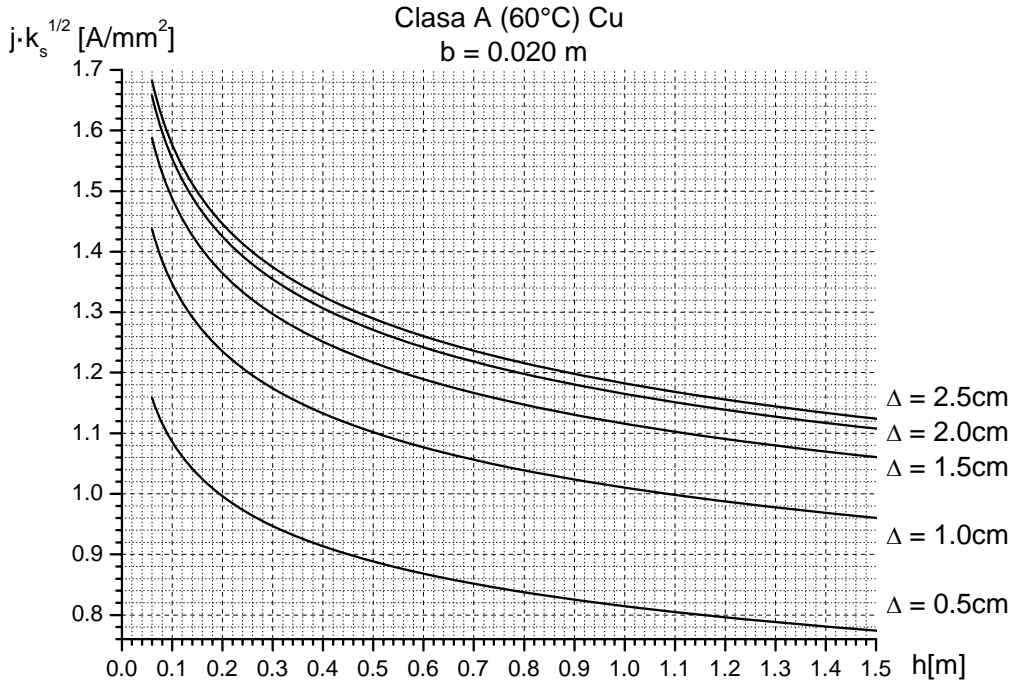
$$j = \sqrt{\frac{\vartheta \cdot \alpha_{con}}{139,7033 \cdot 10^{-10} \cdot k_s \cdot b}}; \quad (31)$$

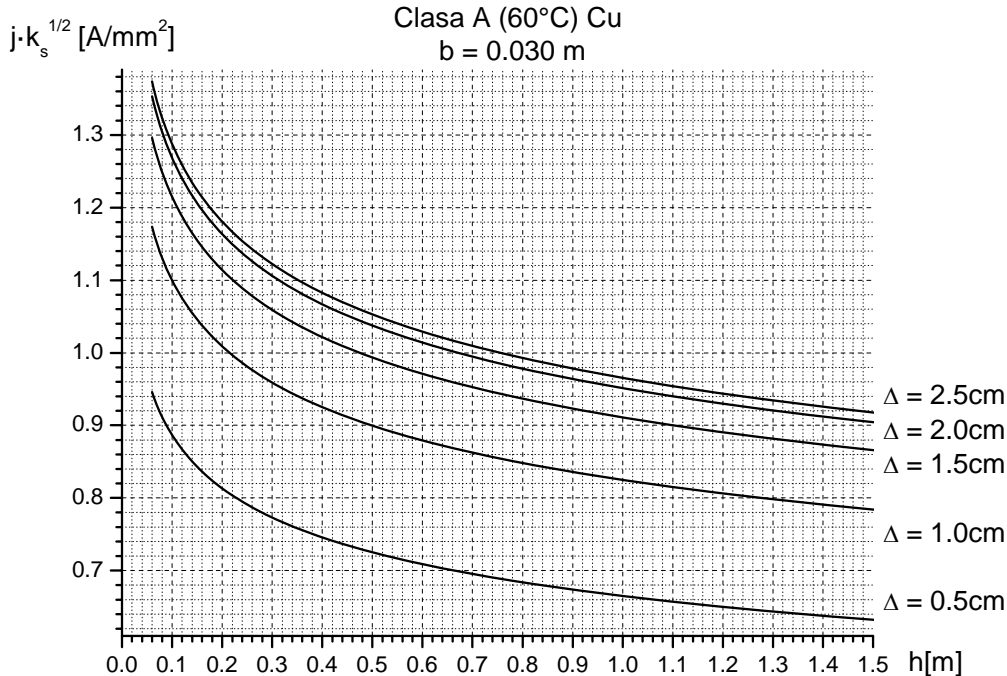
În figura 10 se dau densitățile admisibile de curent, calculate după relațiile de calcul (29)-(31) combinate cu relația (21-4), pentru bobinaje cilindrice în cupru, cu grosimea radiala $b = 0,010; 0,015; 0,020; 0,025$ și $0,030$ m, cu izolația în clasa A ($\vartheta = 60^\circ\text{C}$), F ($\vartheta = 100^\circ\text{C}$) și H ($\vartheta = 125^\circ\text{C}$) - vezi tab. 1.

a) Cupru – clasa de izolație A ($\vartheta = 60^\circ\text{C}$):

$$j \cdot \sqrt{k_s} = \sqrt{\frac{\vartheta \cdot \alpha_{con}}{115,7 \cdot 10^{-10} \cdot b}}; \quad (29)$$

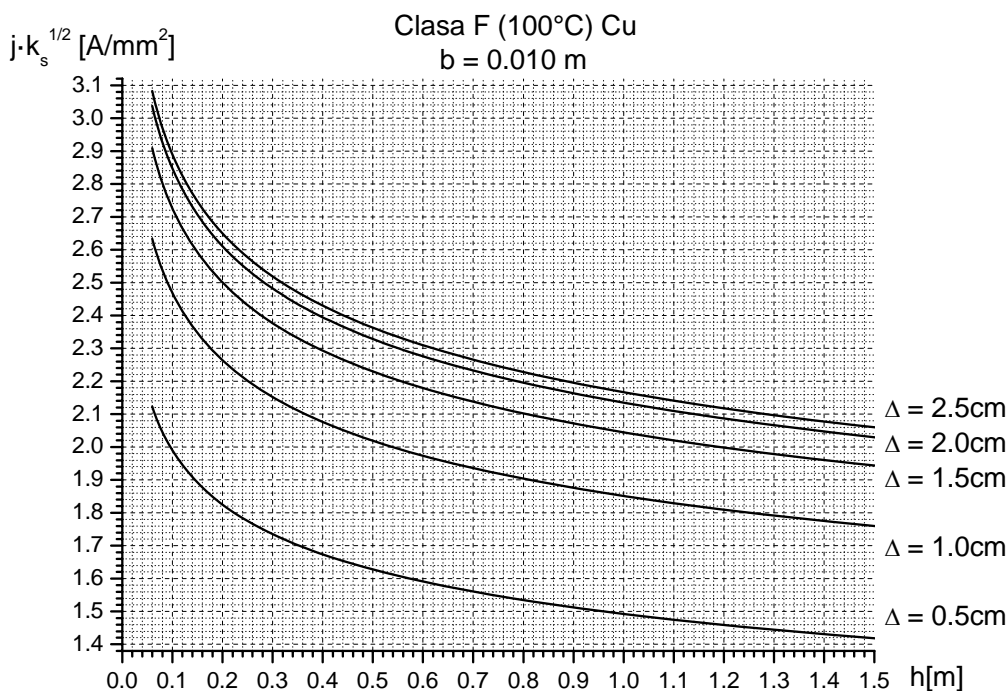


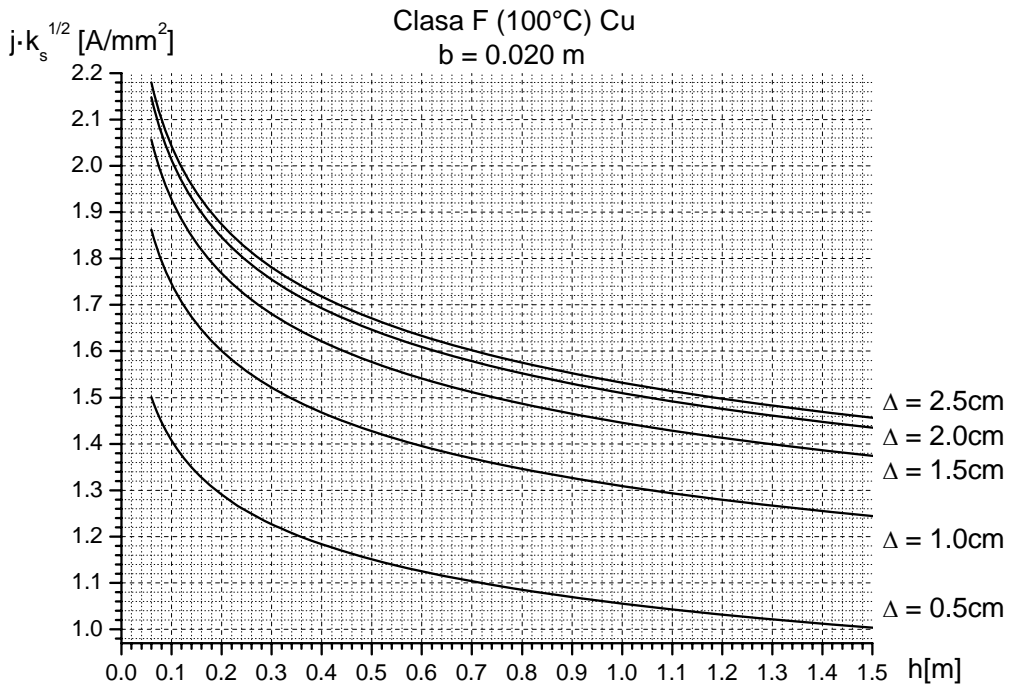
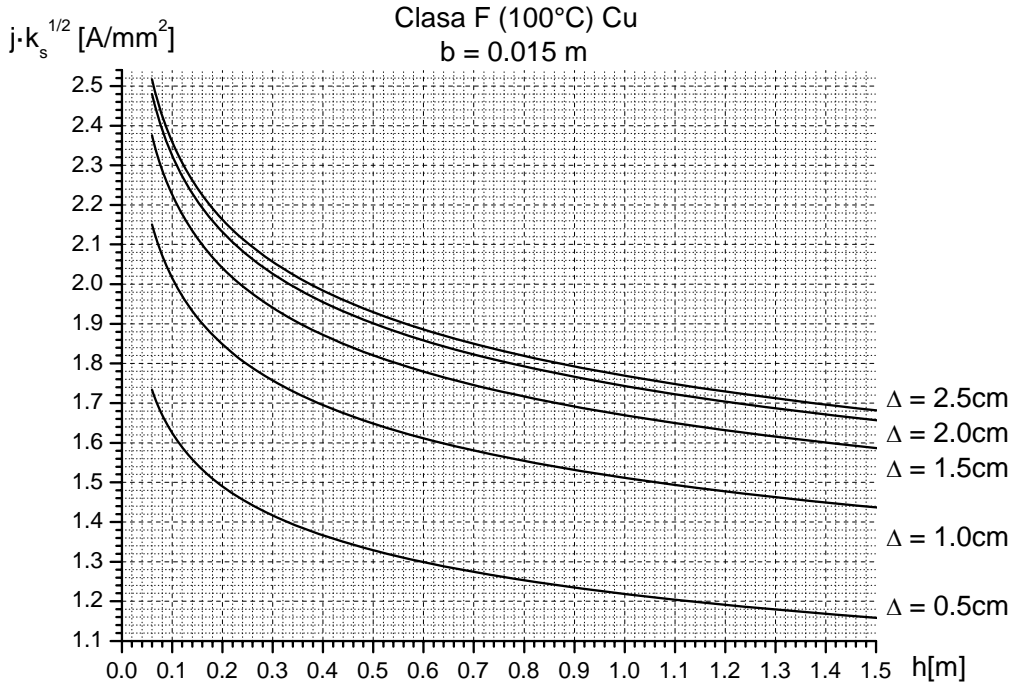


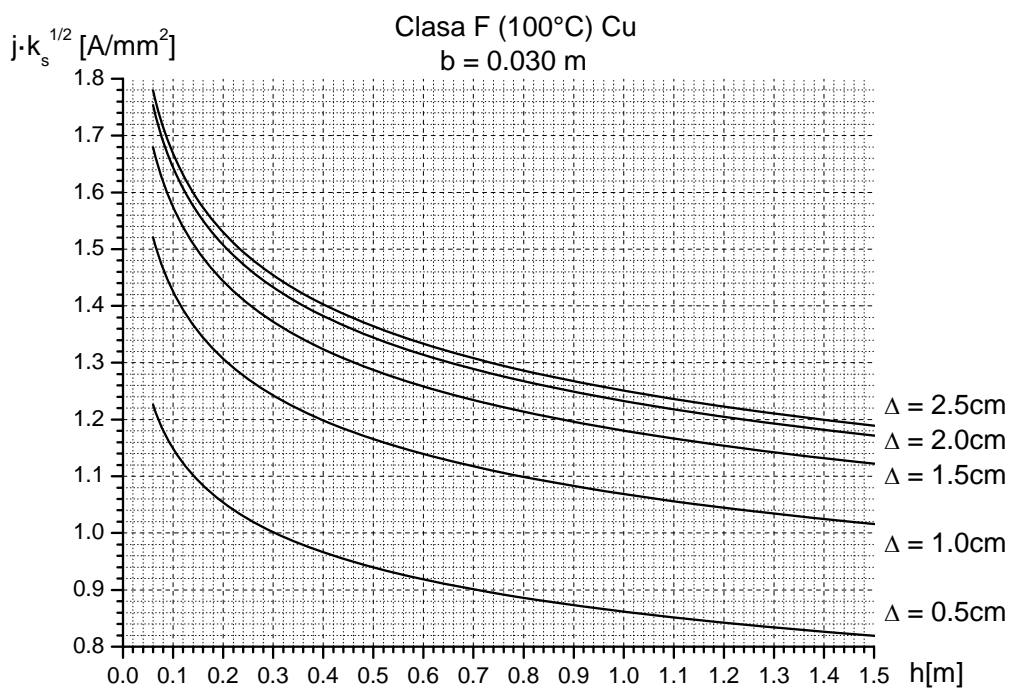
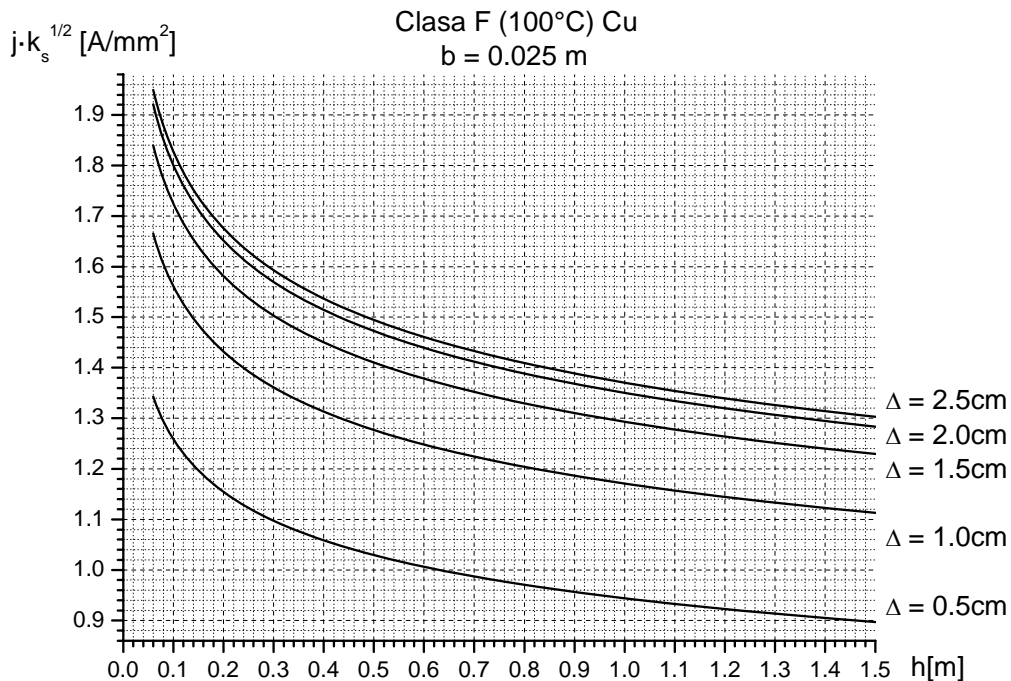


b) Cupru; clasa de izolație F ($\vartheta = 100^\circ\text{C}$):

$$j \cdot \sqrt{k_s} = \sqrt{\frac{\vartheta \cdot \alpha_{con}}{130,5 \cdot 10^{-10} \cdot b}}; \quad (30)$$

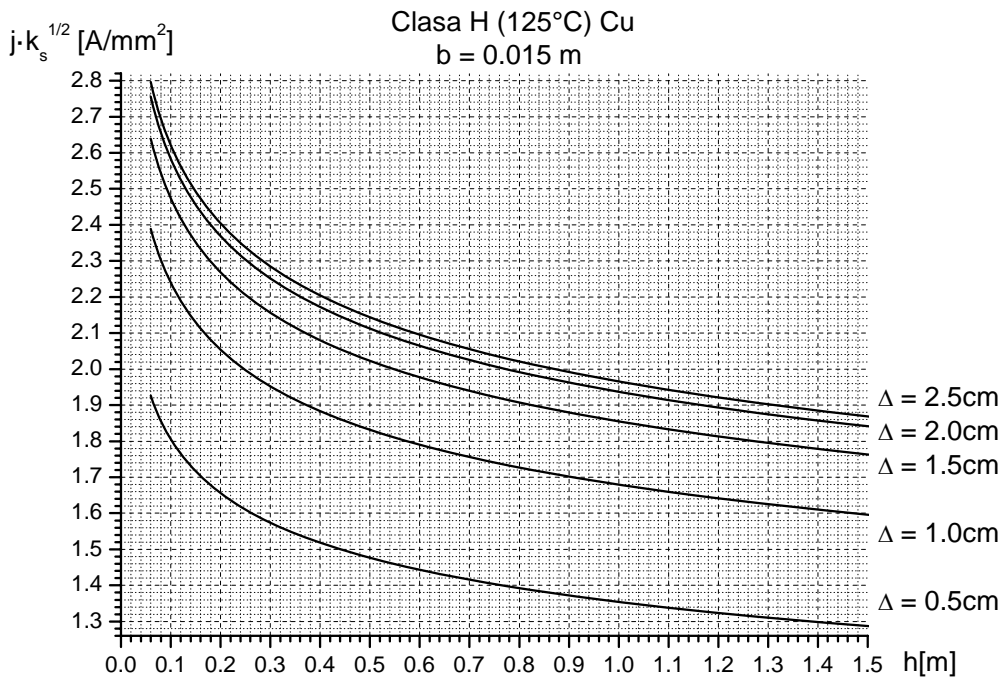
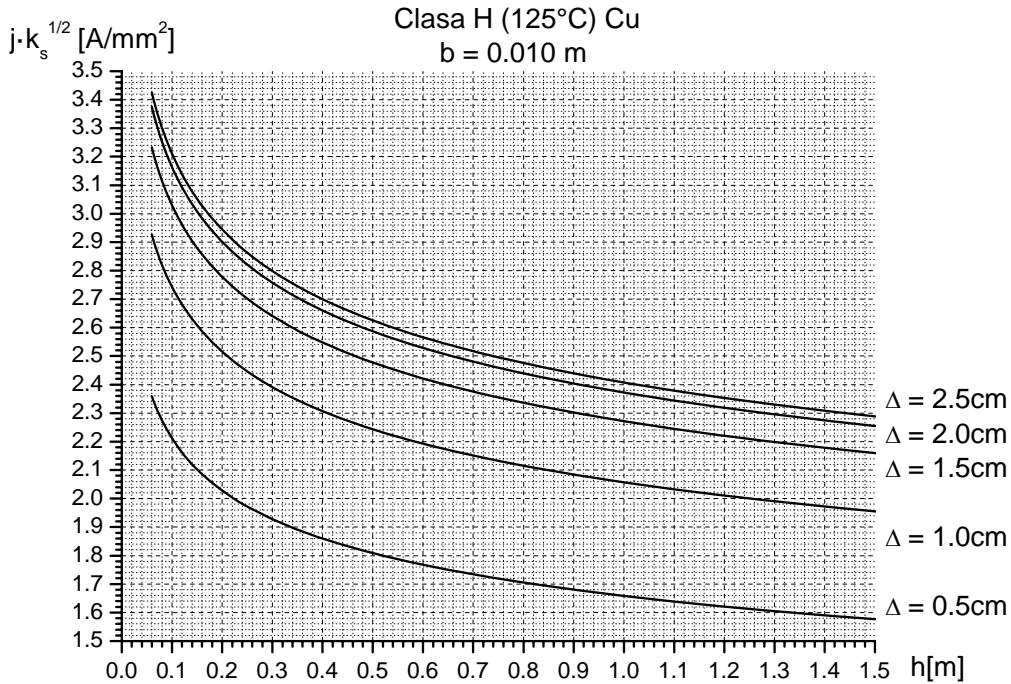


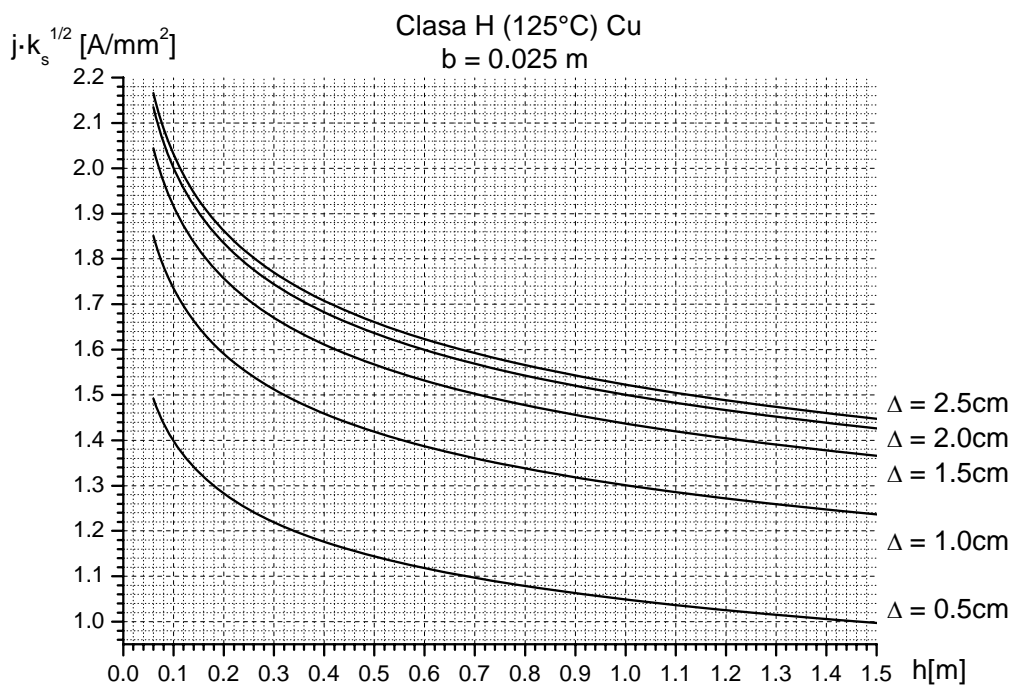
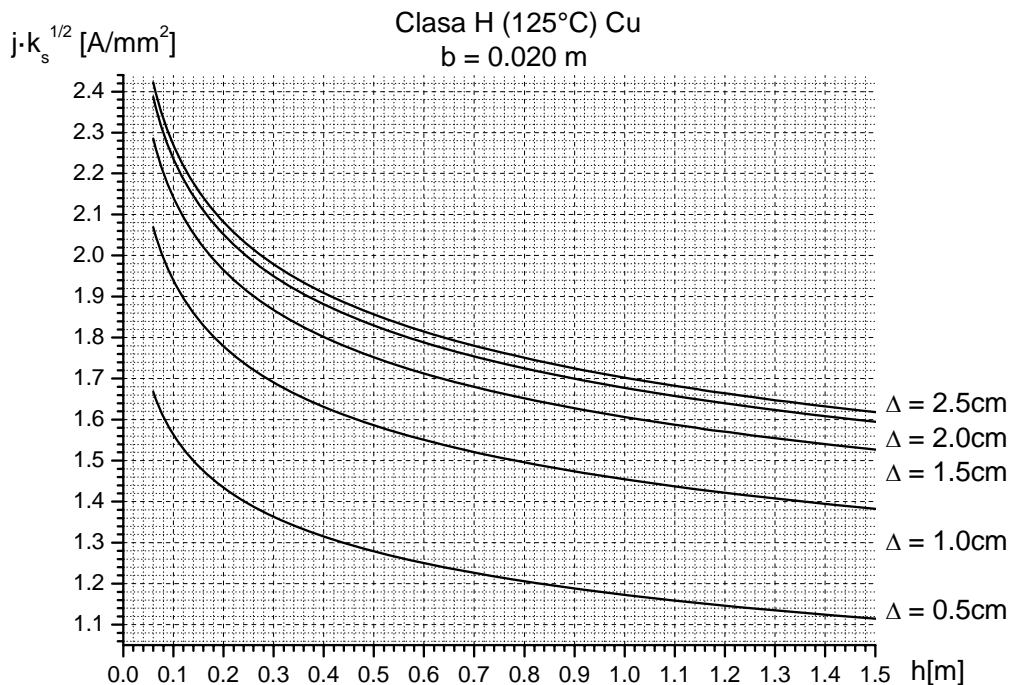




c) Cupru; clasa de izolație H ($\vartheta = 125\text{ }^{\circ}\text{C}$):

$$j \cdot \sqrt{k_s} = \sqrt{\frac{\vartheta \cdot \alpha_{con}}{139,7033 \cdot 10^{-10} \cdot b}} \quad (31)$$





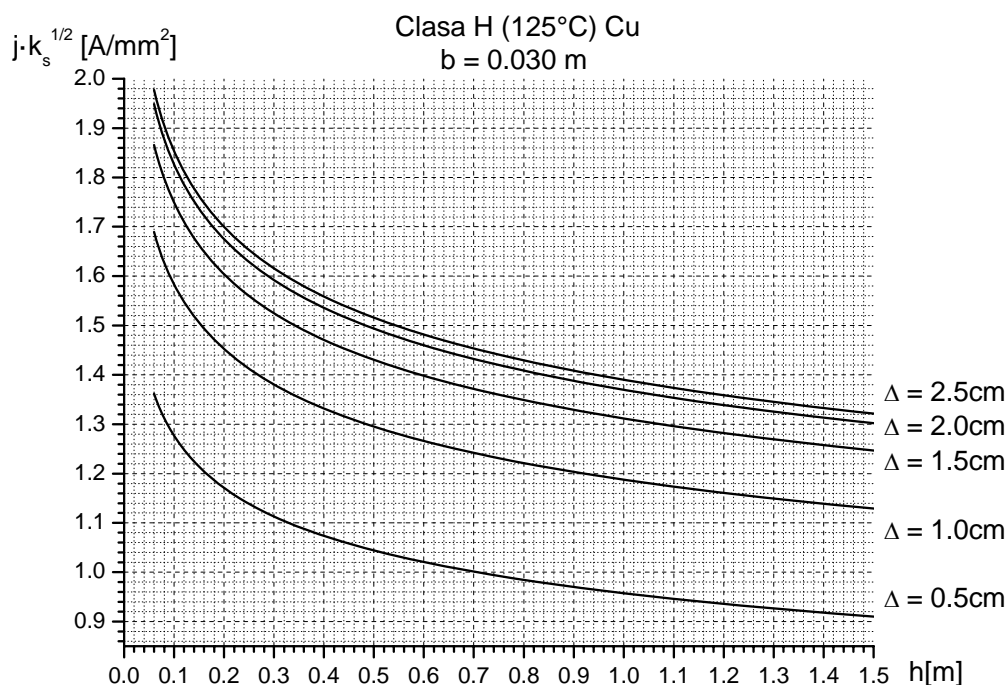


Figura 10: Densitatea admisibilă de curent în bobinajele cilindrice de cupru, de lățime: $b = 0,010; 0,015; 0,020; 0,025$ și $0,030$ m.

Folosind izolația de clasă A, densitățile de curent sunt relativ mici și nu depășesc nici chiar la bobinaje subțiri valoarea de $1,5 \div 2$ A/mm^2 ; în schimb dacă se folosește o izolație cu stabilitate termică înaltă, de clasă F sau H atunci densitățile de curent pot fi numai cu puțin mai mici față de cele aplicate la transformatoarele în ulei.

5. Densitatea admisibilă de curent în înfășurările de aluminiu

Pierderile specifice „ Δp ” [$W/(m^2 \cdot ^\circ C)$] în bobinele de reactanță realizate din conductoare de aluminiu având aceeași construcție (dimensiunile înfășurărilor cilindrice și clasele de izolație identice cu ale bobinelor prezentate la capitolul 4) sunt date de expresiile (vezi capitolul 7):

a) Aluminiu; clasa de izolație A ($\vartheta = 60^\circ\text{C}$; $\theta = 100^\circ\text{C}$):

$$\Delta p = 183,2 \cdot 10^{-10} \cdot k_s \cdot \frac{b \cdot j^2}{9} \quad (32)$$

b) Aluminiu; clasa de izolație F ($\vartheta = 100^\circ\text{C}$; $\theta = 140^\circ\text{C}$):

$$\Delta p = 205,74 \cdot 10^{-10} \cdot k_s \cdot \frac{b \cdot j^2}{9} \quad (33)$$

c) Aluminiu; clasa de izolație H ($\vartheta = 125^\circ\text{C}$; $\theta = 165^\circ\text{C}$):

$$\Delta p = 219,834 \cdot 10^{-10} \cdot k_s \cdot \frac{b \cdot j^2}{9}; \quad (34)$$

Din relațiile (32), (33) și (34) (în care s-a efectuat substituția $\Delta p = \alpha_{con}$) se poate calcula creșterea de temperatură pe suprafața bobinajului, ținând seama de valorile coeficientului α_{con} de transmitere a căldurii prin convecție, conform celor prezentate la capitolul 3:

d) Aluminiu; clasa de izolație A ($\vartheta = 60^\circ\text{C}$):

$$\vartheta = 183,2 \cdot 10^{-10} \cdot k_s \cdot \frac{b \cdot j^2}{\alpha_{con}}; \quad (35)$$

e) Aluminiu; clasa de izolație F ($\vartheta = 100^\circ\text{C}$):

$$\vartheta = 205,74 \cdot 10^{-10} \cdot k_s \cdot \frac{b \cdot j^2}{\alpha_{con}}; \quad (36)$$

f) Aluminiu; clasa de izolație H ($\vartheta = 125^\circ\text{C}$):

$$\vartheta = 219,834 \cdot 10^{-10} \cdot k_s \cdot \frac{b \cdot j^2}{\alpha_{con}}; \quad (37)$$

sau densitatea de curent “ j ” care corespunde acestei creșteri “ ϑ ” a încălzirii:

g) Aluminiu; clasa de izolație A ($\vartheta = 60^\circ\text{C}$):

$$j = \sqrt{\frac{\vartheta \cdot \alpha_{con}}{183,2 \cdot 10^{-10} \cdot k_s \cdot b}}; \quad (38)$$

h) Aluminiu; clasa de izolație F ($\vartheta = 100^\circ\text{C}$):

$$j = \sqrt{\frac{\vartheta \cdot \alpha_{con}}{205,74 \cdot 10^{-10} \cdot k_s \cdot b}}; \quad (39)$$

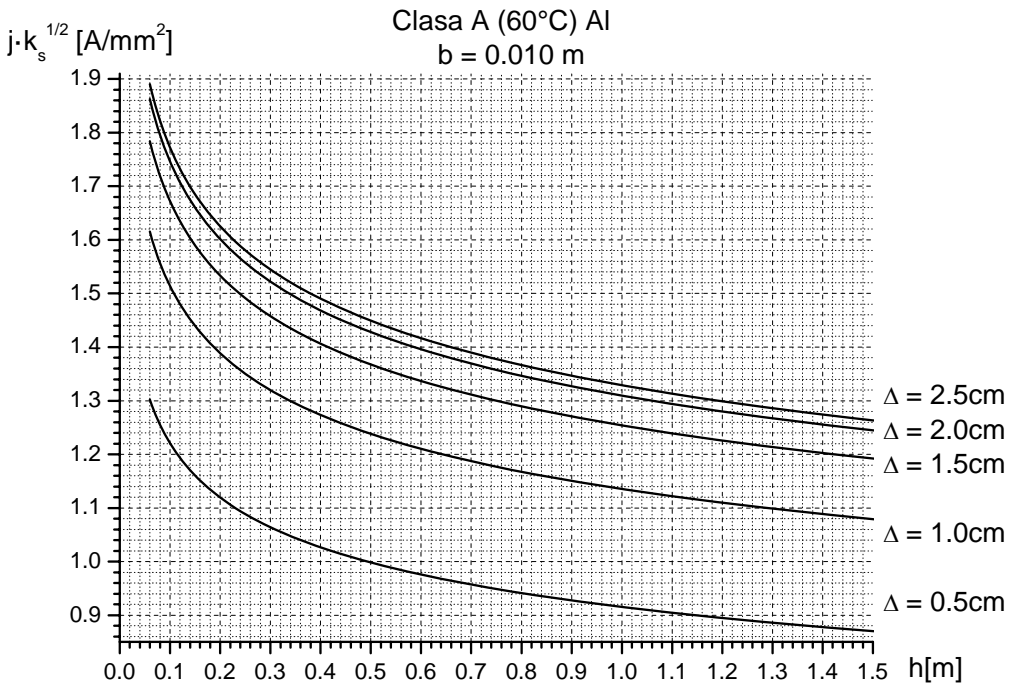
i) Aluminiiu; clasa de izolație H ($\vartheta = 125^{\circ}\text{C}$):

$$j = \sqrt{\frac{\vartheta \cdot \alpha_{con}}{219,834 \cdot 10^{-10} \cdot k_s \cdot b}}; \quad (40)$$

În figura 11 se dau densitățile admisibile de curent, calculate în baza relațiilor de calcul (38) ÷ (40) combinate cu relația (21-4), pentru un bobinaj cilindric interior de aluminiu, fără canale de răcire transversale. După cum rezultă din figura 11, valorile admisibile ale densității de curent sunt foarte mici, în medie circa $1,2 \text{ A/mm}^2$, în cazul folosirii clasei de izolație A, în schimb pentru izolația în clasa H, densitatea de curent se poate mări până la valori apropiate de cele folosite la transformatoarele în ulei.

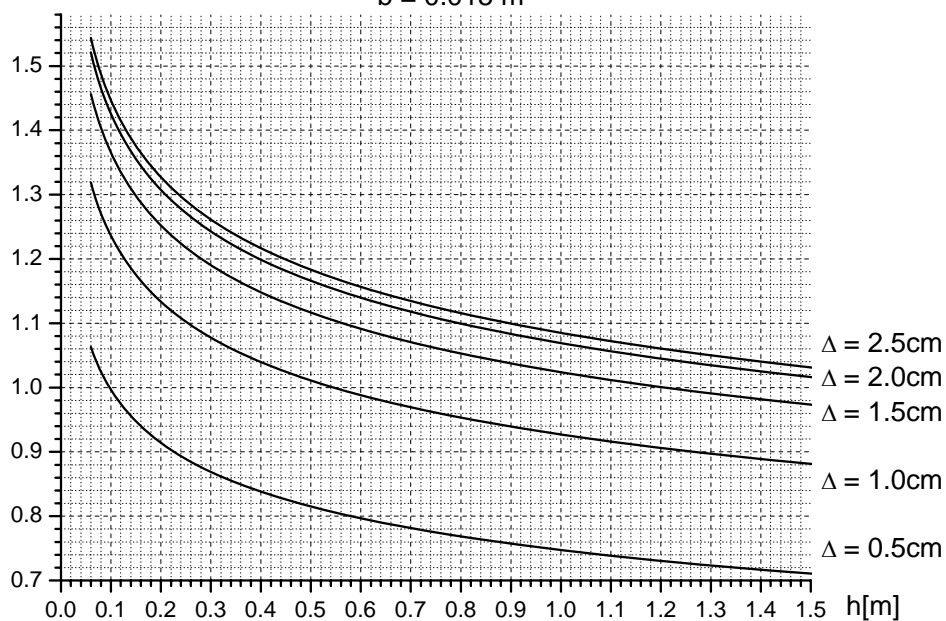
a) Aluminiiu; clasa de izolație A ($\vartheta = 60^{\circ}\text{C}$):

$$j \cdot \sqrt{k_s} = \sqrt{\frac{\vartheta \cdot \alpha_{con}}{183,2 \cdot 10^{-10} \cdot b}}; \quad (38)$$



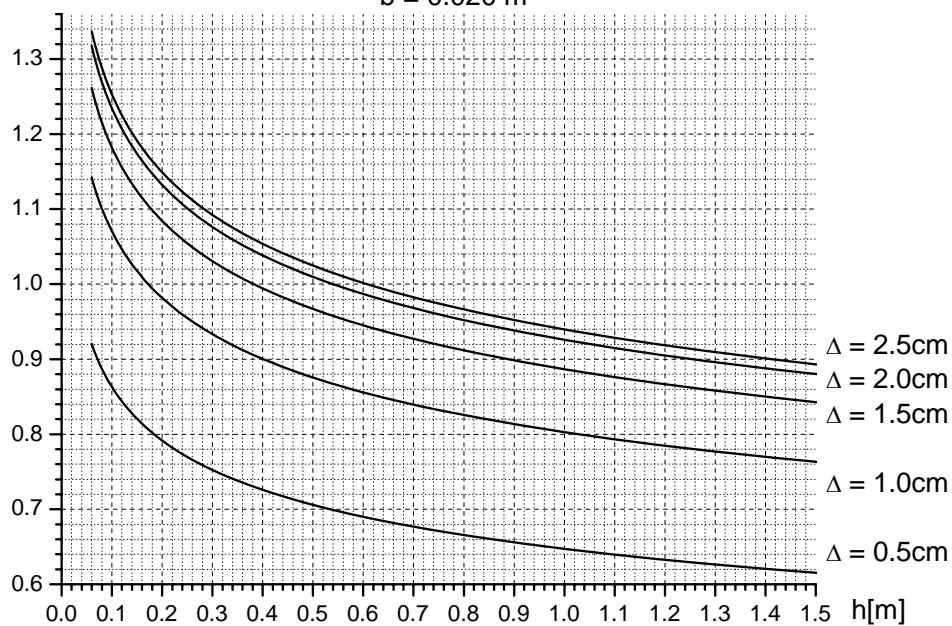
$j \cdot k_s^{1/2} \text{ [A/mm}^2\text{]}$

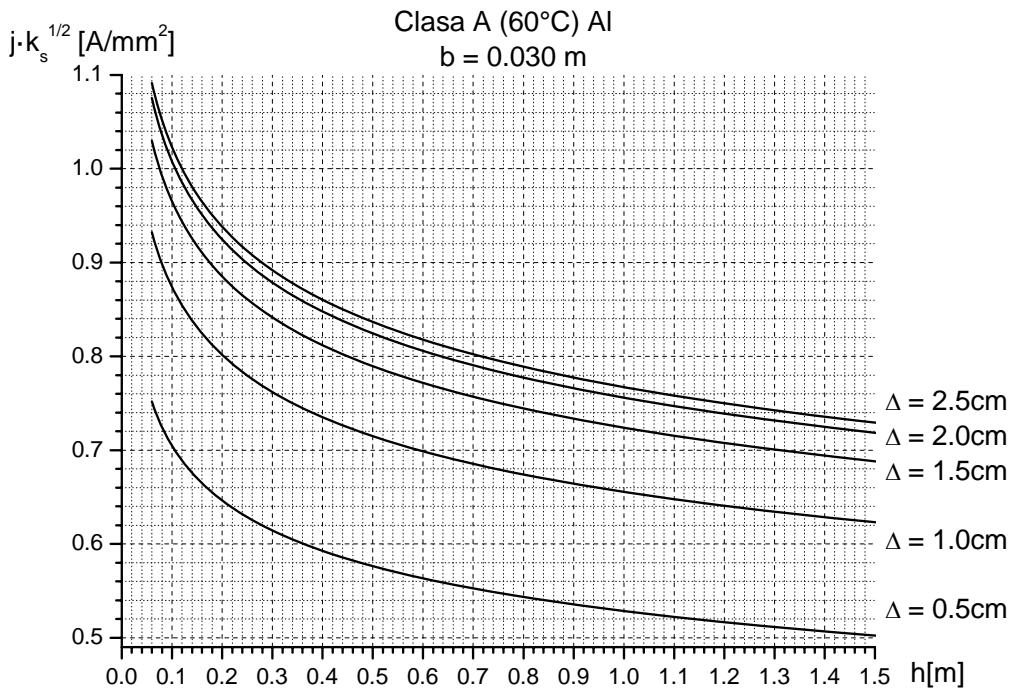
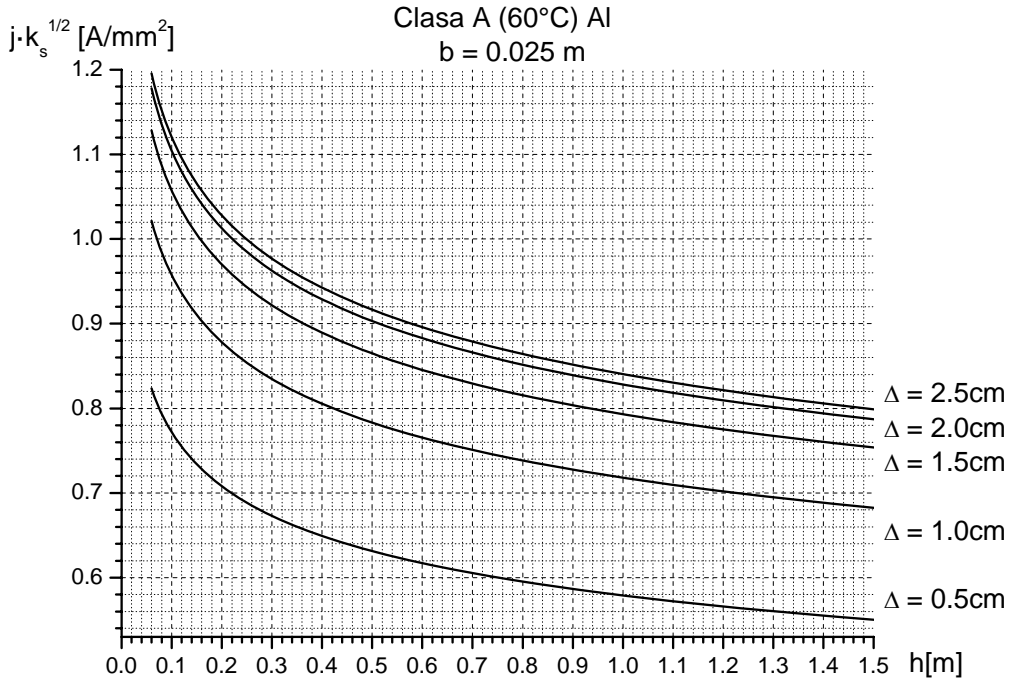
Clasa A (60°C) Al
 $b = 0.015 \text{ m}$



$j \cdot k_s^{1/2} \text{ [A/mm}^2\text{]}$

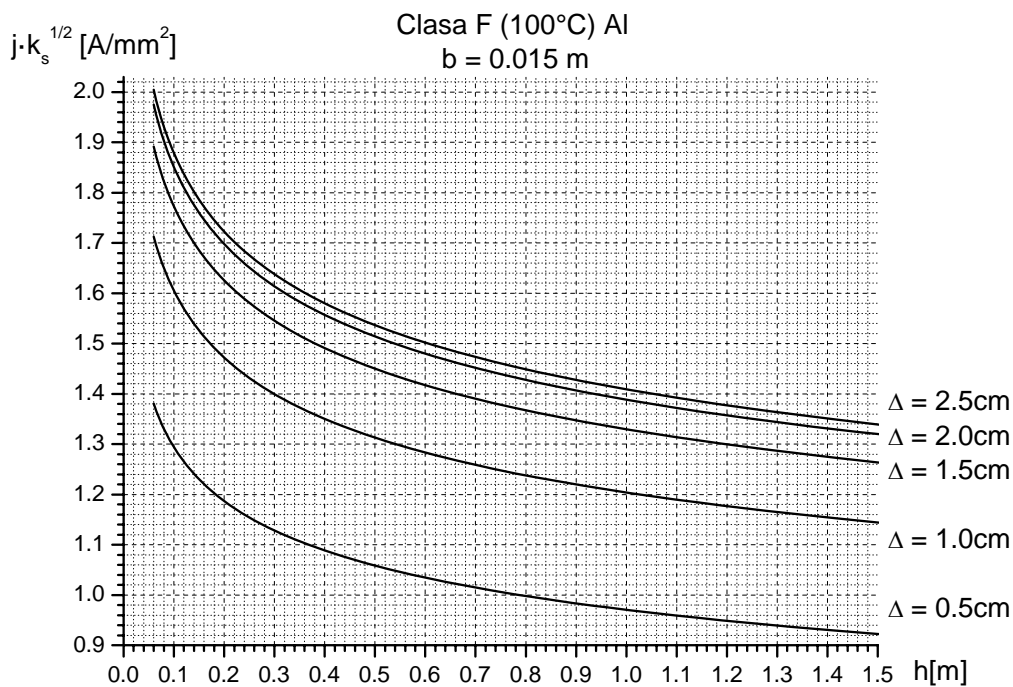
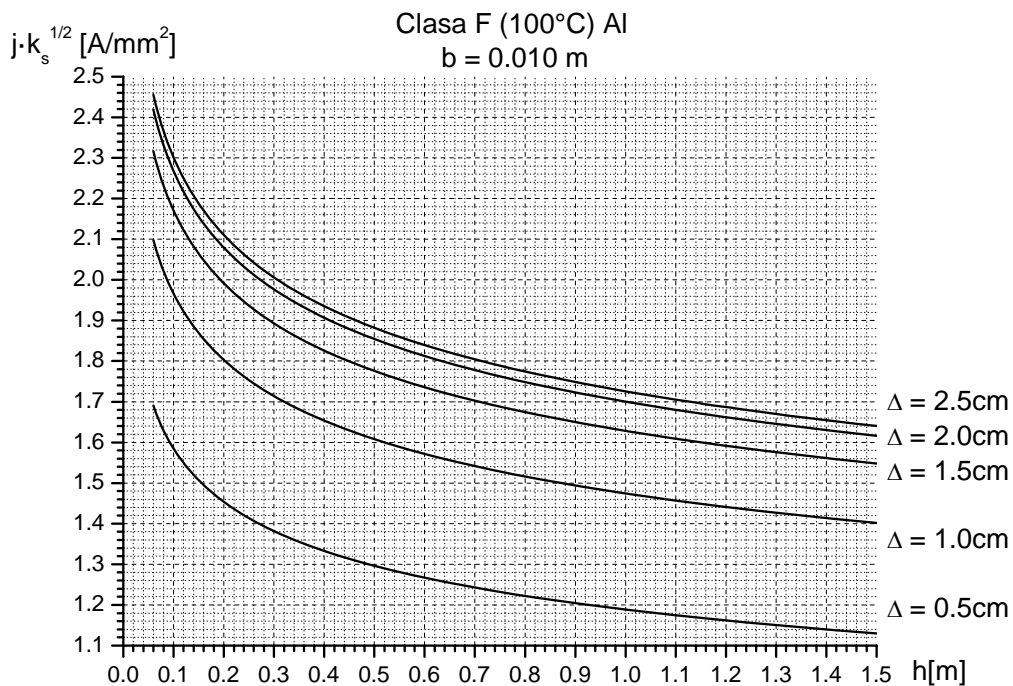
Clasa A (60°C) Al
 $b = 0.020 \text{ m}$

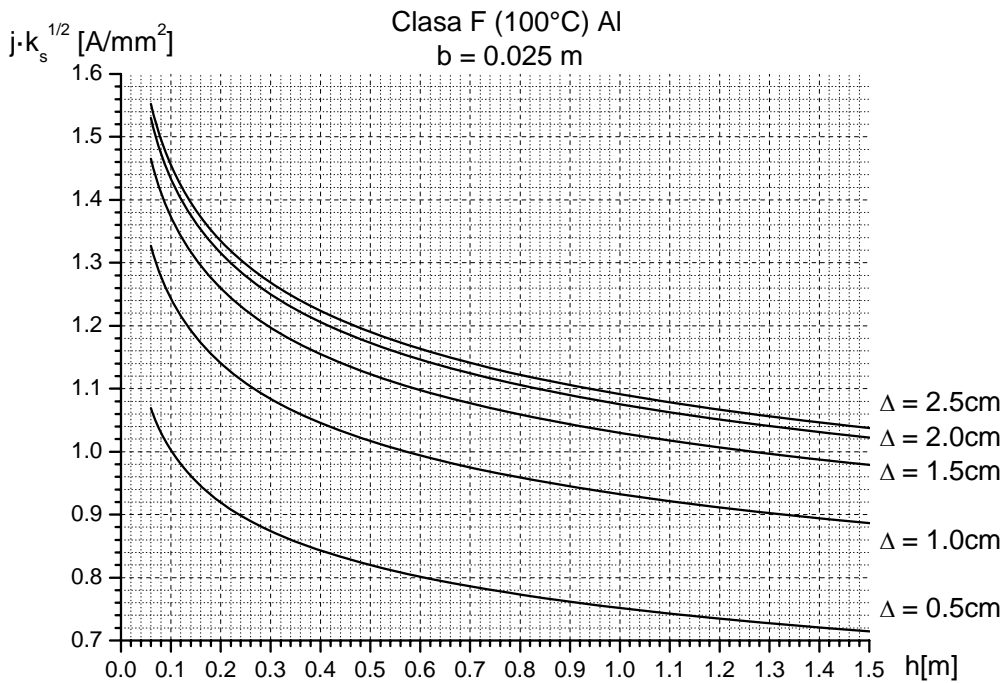
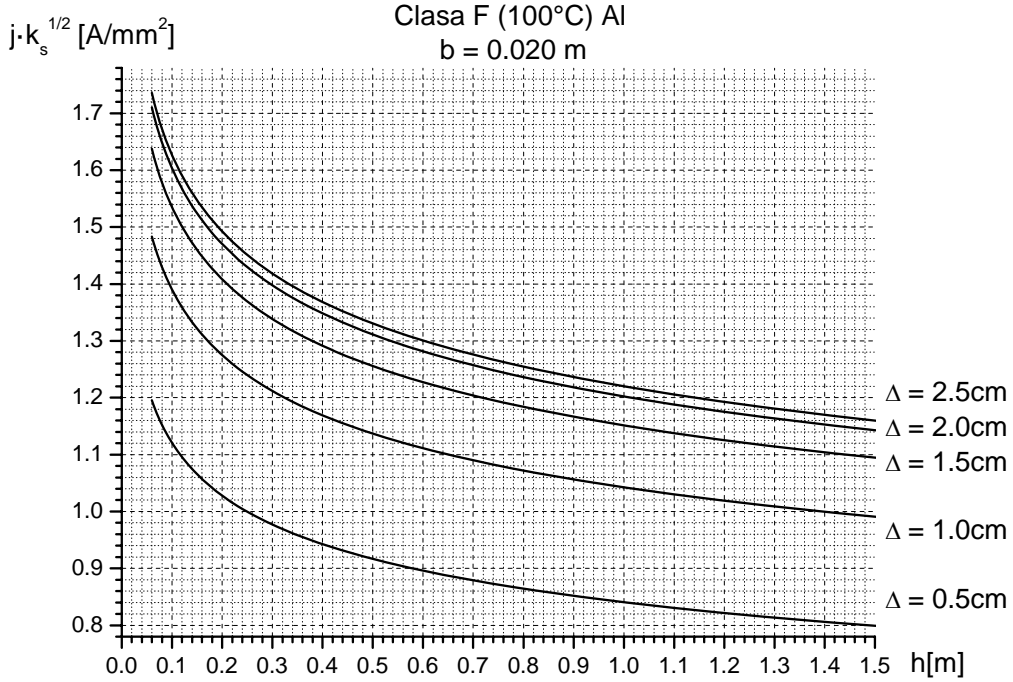




b) Aluminii; clasa de izolație F ($\vartheta = 100^\circ\text{C}$):

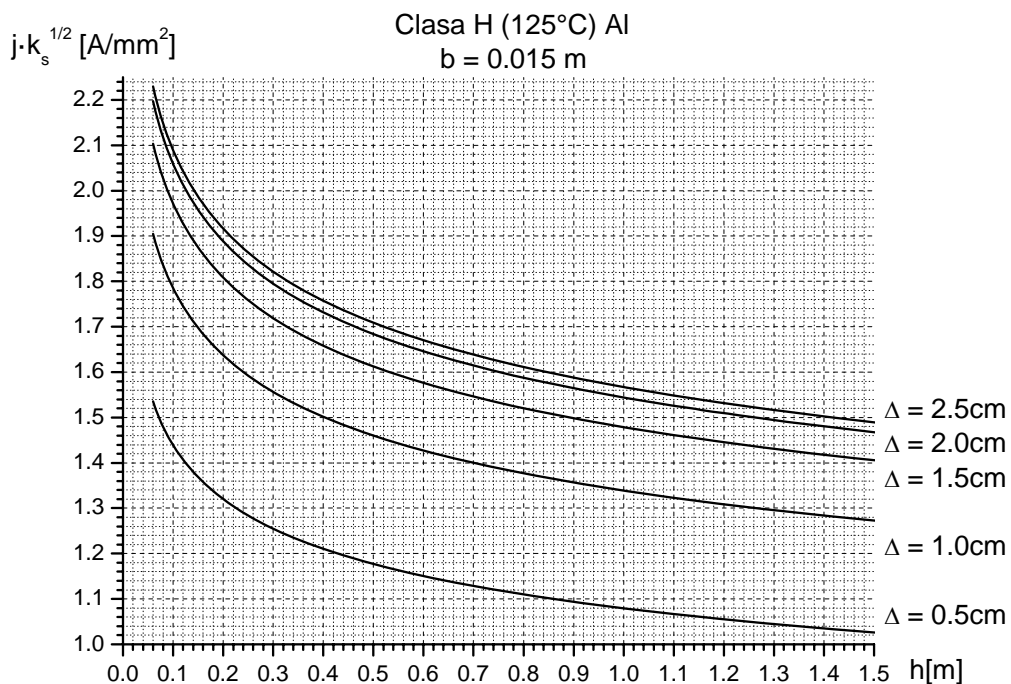
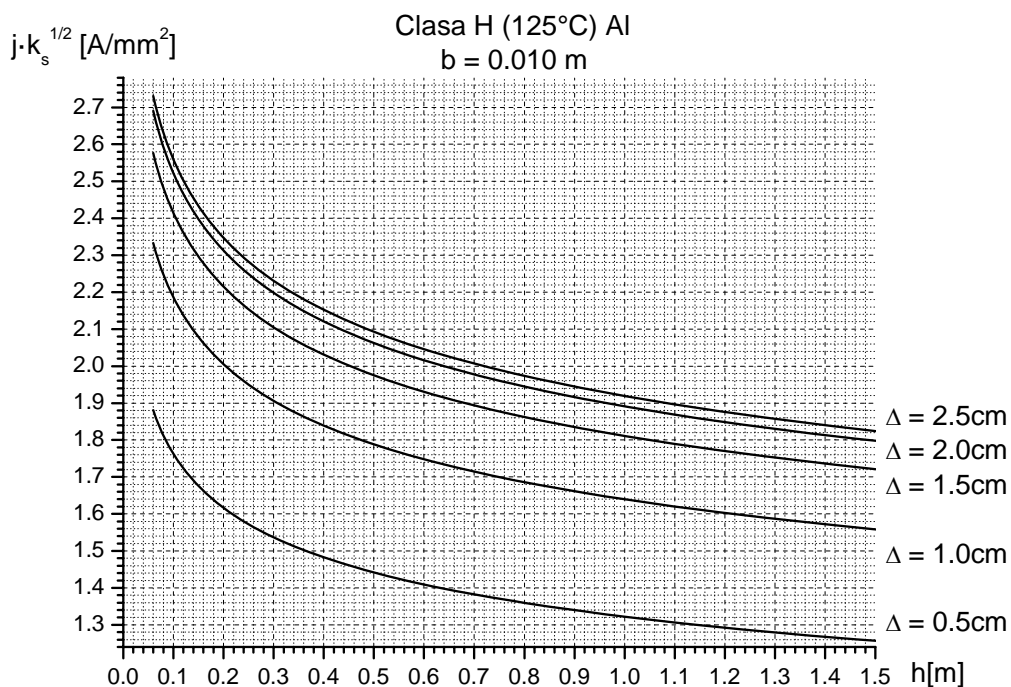
$$j \cdot \sqrt{k_s} = \sqrt{\frac{\vartheta \cdot \alpha_{con}}{205,74 \cdot 10^{-10} \cdot b}}; \quad (39)$$

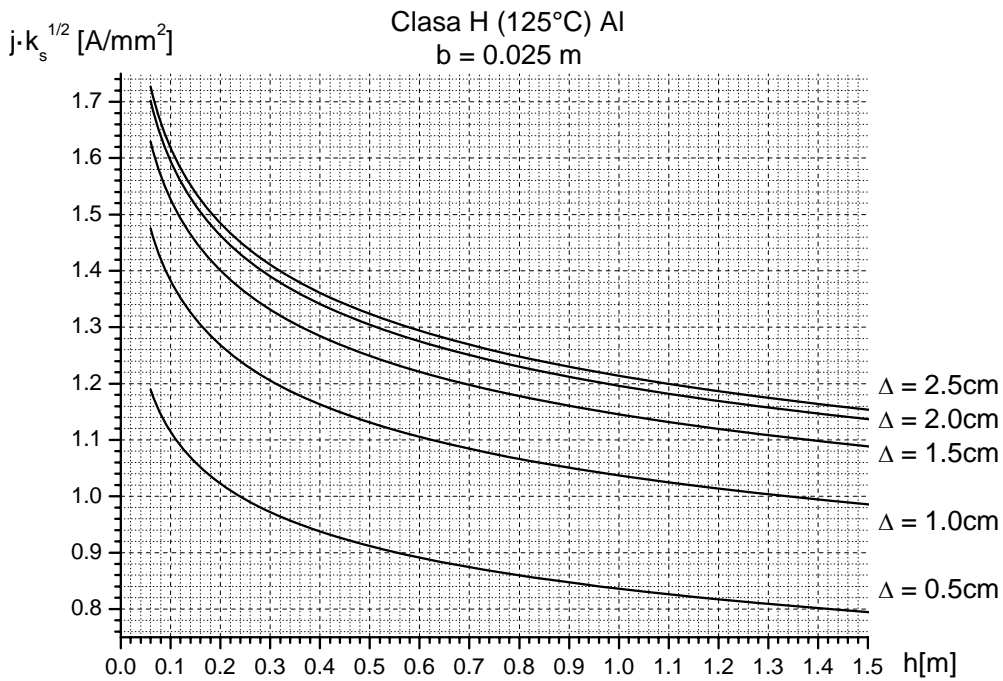
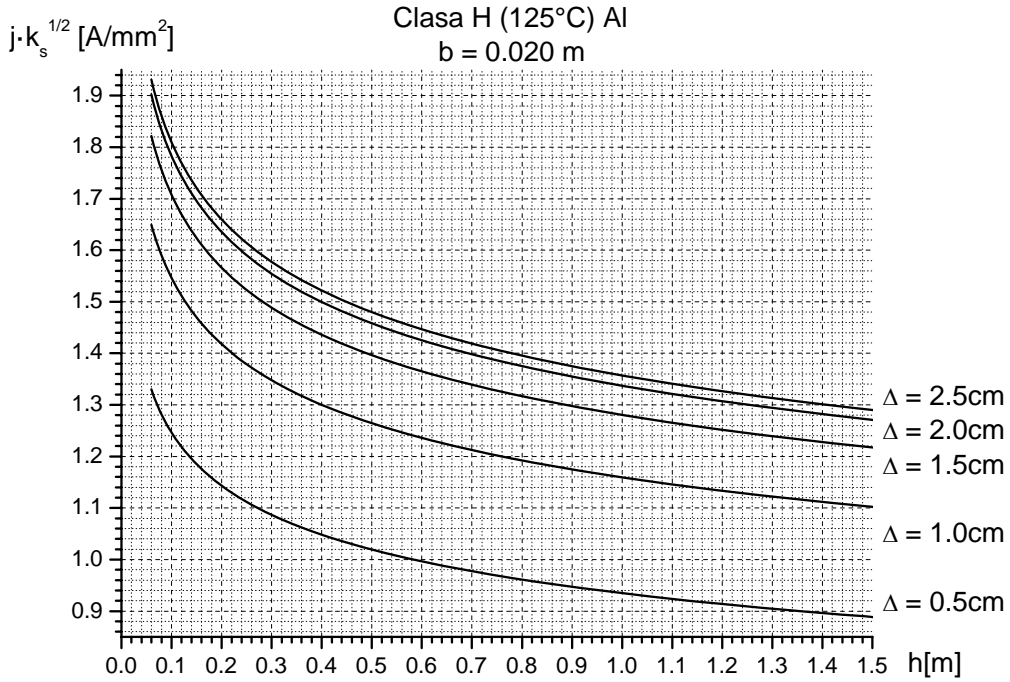




c) Aluminiu; clasa de izolație H ($\vartheta = 125^\circ\text{C}$):

$$j \cdot \sqrt{k_s} = \sqrt{\frac{\vartheta \cdot \alpha_{con}}{219,834 \cdot 10^{-10} \cdot b}}; \quad (40)$$





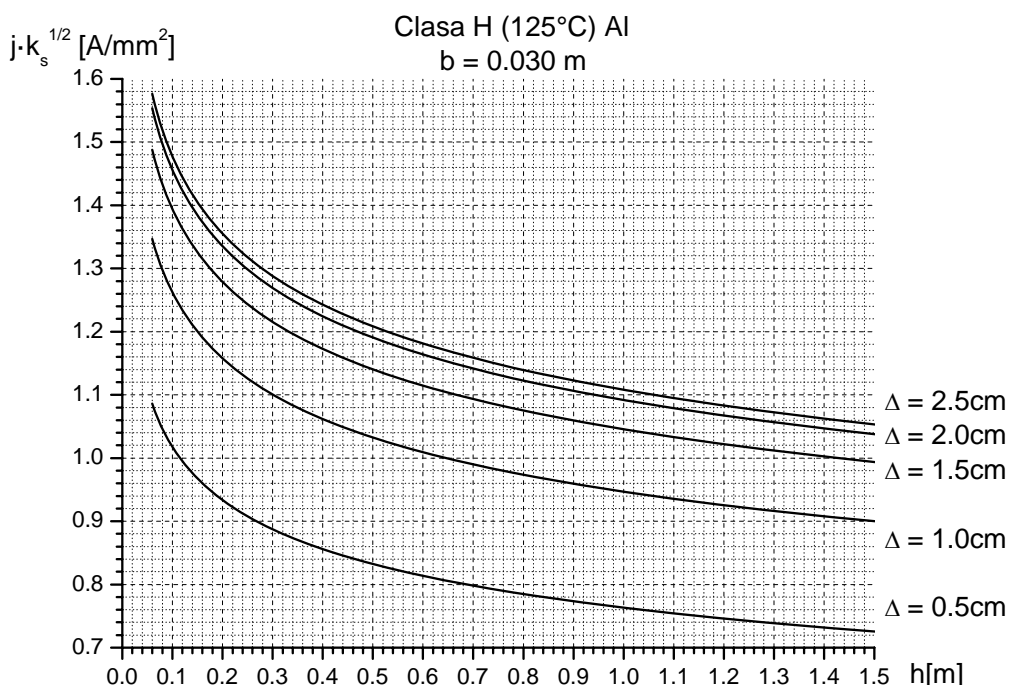


Figura 11: Densitatea admisibilă de curent în bobinajele cilindrice de aluminiu, de lăţime: $b = 0,010; 0,015; 0,020; 0,025$ şi $0,030\text{ m}$.

Din formulele (29), (30), (31) şi (38), (39) şi (40) rezultă, în ipoteza în care valorile coeficienţilor de pierderi suplimentare „ k_s ” sunt identice, raportul dintre densitatea de curent admisibilă într-un bobinaj de aluminiu şi într-unul de cupru, pentru aceeaşi construcţie (dimensiuni identice) şi aceleaşi condiţii de răcire:

j) pentru clasa A de izolaţie:

$$j_{Al} = \sqrt{\frac{115,7}{183,2}} = 0,7947 \cdot j_{Cu} \quad (41)$$

k) pentru casa F de izolaţie:

$$j_{Al} = \sqrt{\frac{130,5}{205,74}} = 0,7964 \cdot j_{Cu} \quad (42)$$

l) pentru casa H de izolaţie:

$$j_{Al} = \sqrt{\frac{139,7033}{219,834}} = 0,7972 \cdot j_{Cu} \quad (43)$$

6. Calculul pierderilor în regim permanent de funcționare

Pierderile în bobinele de reactanță fără miez feromagnetic pot fi împărțite în pierderi în înfășurările bobinei și pierderi în celelalte părți metalice ale bobinei: în armaturile izolatoarelor, în șuruburile de strângere, etc. [6]

La sarcina nominală, pierderile în înfășurările bobinei pot fi determinate cu ajutorul formulei: $P = R \cdot I^2$; în care R este rezistența activă a bobinei în curent alternativ.

După cum se știe, rezistența activă pentru bobinele de reactanță, la joasa frecvență (frecvența industrială), poate fi exprimată prin multiplicarea rezistenței ohmice „ $R_{\Omega\theta}$ ” a bobinajului la temperatura de referință „ θ ”, cu coeficientul pierderilor suplimentare „ k_s ”.

Tabelul 1: k_0 - coeficient ce depinde de forma conductorului și de dimensiunile bobinajului

$\begin{matrix} b/d_m \\ h/d_m \end{matrix}$	0.2	0.3	0.4	0.5
0.5	28.5	22.8	19.2	15.3
0.6	32.5	26.3	23.0	18.6
0.7	36.0	30.0	26.0	21.8
0.8	38.5	33.0	28.5	24.3
0.9	41.0	36.0	31.0	26.5
1.0	43.4	38.0	33.2	29.0
1.1	45.5	40.0	35.0	31.0
1.2	47.2	41.5	37.0	32.8
1.3	49.0	43.0	38.3	34.2
1.4	50.5	44.4	39.8	35.8

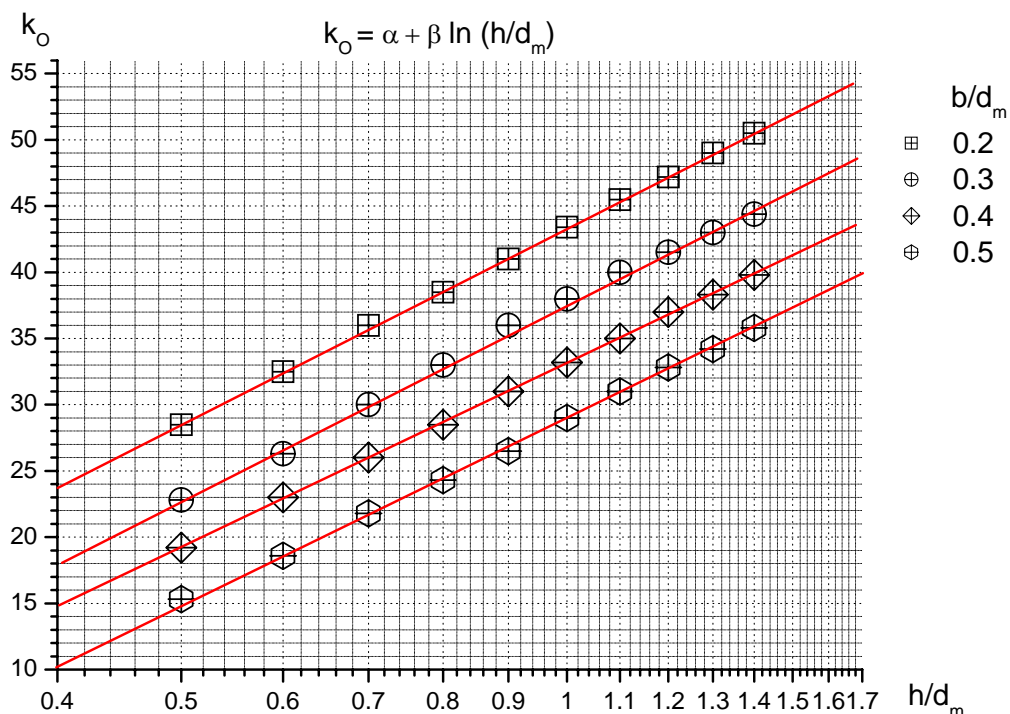


Figura 12: Valorile coeficientului „ k_0 ” din formula (45) pentru conductoare de secțiune rotundă, în funcție de rapoartele h / d_m cu valori distincte pentru rapoartele b/d_m (0.2; 0.3; 0.4; 0.5) pentru care respectiv vor corespunde perechile (α, β) : (43.37, 21.32); (37.66, 21.36); (33.13, 20.03); (28.96, 20.09)

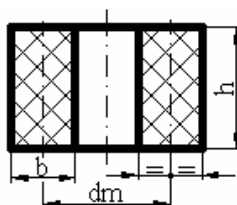


Figura 12.1: Geometria bobinei

Pierderile de putere în bobina de reactanță pot fi calculate cu relația [4]:

$$P = k_s \cdot R_{\Omega 0} \cdot I^2 = k_s \cdot \rho_{20} \cdot [1 + \alpha \cdot (\theta - 20)] \cdot \frac{M}{\gamma} \cdot j^2 \quad [Watt] \quad (44)$$

unde: ρ_{20} este rezistivitatea materialului la $20^\circ C$ [9]: pentru cupru $\rho_{20} = 1/58 \cdot 10^{-6} [\Omega \cdot m]$ iar pentru aluminiu $\rho_{20} = 1/36,2 \cdot 10^{-6} [\Omega \cdot m]$;

α – coeficientul de temperatura al rezistenței electrice [9]:

pentru cupru $\alpha = 428 \cdot 10^{-5} [1/^{\circ}\text{C}]$, iar pentru aluminiu $\alpha = 408 \cdot 10^{-5} [1/^{\circ}\text{C}]$;

θ – temperatura de referință [10]: pentru clasele de izolație A, E și B: $\theta = 75^{\circ}\text{C}$ iar pentru clasele de izolație F și H: $\theta = 115^{\circ}\text{C}$;

M – masa conductorului activ al bobinajului [kg];

γ – densitatea materialului: pentru cupru $\gamma = 8,9 \cdot 10^3 [\text{kg}/\text{m}^3]$, iar pentru aluminiu $\gamma = 2,7 \cdot 10^3 [\text{kg}/\text{m}^3]$;

j – densitatea de curent [A/m^2].

Coeficientul pierderilor suplimentare „ k_s ” se determina cu ajutorul formulei [6]:

$$k_s = 1 + k_0 \cdot k_q \cdot k_p \cdot \left(\frac{\sum_{i=1}^N W_i}{h} \right)^2 \cdot \left(\frac{f}{50} \right)^2 \cdot 10^{-3}, \quad (45)$$

în care k_0 este un coeficient care depinde de forma conductorului și de dimensiunile bobinajului [6]. În tabelul 1, respectiv în diagrama din figura 12 sunt date valorile coeficientului k_0 în funcție de rapoartele h/d_m și b/d_m , unde:

- $d_m = (d_E + d_i)/2$ este diametrul mediu al bobinajului, h este înălțimea bobinajului și $b = (d_E - d_i)/2$ este grosimea bobinajului;

- k_q este un coeficient care depinde de valoarea „ S_{sp} ” a secțiunii spirelor înfășurării; se determina cu relația $k_q = (1,15 \div 1,5) \cdot S_{sp} [\text{m}^2]$;

- k_p este un coeficient care ține seama de natura materialului din care este confecționat [6]: pentru cupru, $k_p = 1$ iar pentru aluminiu $k_p = 0,37$;

- $\sum_{i=1}^N w_i$ este suma spirelor întregului bobinaj (w_i – numărul de spire al solenoidului „ i ”, iar N numărul solenoizilor conectați în paralel);

- $h [\text{m}]$ este înălțimea bobinajului;

- $f[Hz]$ – frecvența curentului.

Înlocuind în relația (44) valorile parametrilor tehnici pentru cazul bobinajelor executate din conductori de cupru, respectiv aluminiu se obțin următoarele relații de calcul pentru pierderile la sarcina nominală de funcționare:

a) Pentru clasele de izolație: A, E și B ($\theta = 75^\circ C$):

- *cupru*:
$$P = 2,385 \cdot 10^{-12} \cdot k_s \cdot M \cdot j^2; \quad (46)$$

- *aluminiu*:
$$P = 12,53 \cdot 10^{-12} \cdot k_s \cdot M \cdot j^2; \quad (47)$$

b) Pentru clasele de izolație: F și H ($\theta = 115^\circ C$):

- *cupru*:
$$P = 2,725 \cdot 10^{-12} \cdot k_s \cdot M \cdot j^2; \quad (48)$$

- *aluminiu*:
$$P = 14,20 \cdot 10^{-12} \cdot k_s \cdot M \cdot j^2; \quad (49)$$

în care: $M [kg]$ - masa conductorului iar $j [A/m^2]$ - densitatea de curent.

7. Verificarea încălzirii în regim nominal de funcționare

Bobina de reactanță are înfășurările realizate din „N” solenoizi concentrici conectați în paralel, care au înălțimile, grosimile (dimensiunea bobinajului solenoidului pe direcție radială), pasul spirelor și lățimea canalelor de răcire identice (vezi figura 6). Numărul de spire al solenoizilor este diferit, fiind determinat astfel încât fiecare solenoid să fie parcurs de curenți cu valori egale. Primul solenoid al înfășurării, care are diametrul cel mai mic, are un număr de spire „ w_1 ” mai mare comparativ cu ceilalți solenoizi. Masa conductorului activ raportată la suprafața de disipare este un *invariant* pentru toți solenoizii. Primul solenoid are numărul de spire „ w_1 ” care sunt distribuite uniform pe întreaga înălțime a acestuia (ceilalți solenoizi prezintă la mijlocul bobinajului o „zonă fără spire”) și ca

urmare, masa conductorului activ și implicit pierderile de putere activă ale acestuia au valorile mai mari comparativ cu ale celorlalți solenoizi. Din acest motiv calculul de verificare a încălzirii în regim nominal de funcționare a bobinei se va efectua numai pentru primul solenoid, rezultatul fiind acoperitor pentru toți ceilalți solenoizi.

Valorile admisibile ale încălzirilor „ ϑ ” și a temperaturilor admisibile „ θ ”, pentru situația în care răcirea înfășurărilor bobinelor este realizată cu aer natural sau forțat, iar temperatura maximă a mediului ambiant „ θ_{amb} ” este de 40°C , sunt date în tabelul 2 [10].

Tabelul 2

Valorile admisibile ale încălzirii „ ϑ ” și ale temperaturii „ $\theta = \vartheta + 40$ ” pentru înfășurările bobinei			
Nr. crt.	Clasa de izolație	$\vartheta [^{\circ}\text{C}]$	$\theta [^{\circ}\text{C}]$
1	A	60	100
2	E	75	115
3	B	80	120
4	F	100	140
5	H	125	165

În cele ce urmează vom prezenta algoritmul de calcul al încălzirii pentru bobinele cu înfășurările executate din cupru respectiv aluminiu având clasa de izolație A ($\theta = 100^{\circ}\text{C}$; $\vartheta = 60^{\circ}\text{C}$), F ($\theta = 140^{\circ}\text{C}$; $\vartheta = 100^{\circ}\text{C}$) și H ($\theta = 165^{\circ}\text{C}$; $\vartheta = 125^{\circ}\text{C}$).

Se determină pierderile în sarcină ale primului solenoid, la temperatura admisibilă de funcționare corespunzătoare clasei de izolație [10] (vezi tabelul 2) cu ajutorul următoarelor relații de calcul derivate din formula (44):

a) Cupru; clasa de izolație A ($\theta = 100^{\circ}\text{C}$):

$$\begin{aligned}
P &= k_s \cdot \rho_{20} \cdot [1 + \alpha \cdot (\theta - 20)] \cdot 1/\gamma \cdot M_1 \cdot j^2 = \\
&= 1/58 \cdot 10^{-6} (1 + 428 \cdot 10^{-5} \cdot 80) \cdot 1/(8,9 \cdot 10^3) k_s \cdot M_1 \cdot j^2 = \\
&= 2,60 \cdot 10^{-12} \cdot k_s \cdot M_1 \cdot j^2 [Watt];
\end{aligned} \tag{50}$$

b) Cupru; clasa de izolație F ($\theta = 140^\circ C$):

$$\begin{aligned}
P &= k_s \cdot \rho_{20} \cdot [1 + \alpha \cdot (\theta - 20)] \cdot 1/\gamma \cdot M_1 \cdot j^2 = \\
&= 1/58 \cdot 10^{-6} (1 + 428 \cdot 10^{-5} \cdot 120) \cdot 1/(8,9 \cdot 10^3) k_s \cdot M_1 \cdot j^2 = \\
&= 2,9322 \cdot 10^{-12} \cdot k_s \cdot M_1 \cdot j^2 [W];
\end{aligned} \tag{51}$$

c) Cupru; clasa de izolație H ($\theta = 165^\circ C$):

$$\begin{aligned}
P &= k_s \cdot \rho_{20} \cdot [1 + \alpha \cdot (\theta - 20)] \cdot 1/\gamma \cdot M_1 \cdot j^2 = \\
&= 1/58 \cdot 10^{-6} (1 + 428 \cdot 10^{-5} \cdot 145) \cdot 1/(8,9 \cdot 10^3) k_s \cdot M_1 \cdot j^2 = \\
&= 3,1394 \cdot 10^{-12} \cdot k_s \cdot M_1 \cdot j^2 [W];
\end{aligned} \tag{52}$$

d) Aluminiu; clasa de izolație A ($\theta = 100^\circ C$):

$$\begin{aligned}
P &= k_s \cdot \rho_{20} \cdot [1 + \alpha \cdot (\theta - 20)] \cdot 1/\gamma \cdot M_1 \cdot j^2 = \\
&= 1/36,2 \cdot 10^{-6} (1 + 408 \cdot 10^{-5} \cdot 80) \cdot 1 / (2,7 \cdot 10^3) k_s \cdot M_1 \cdot j^2 = \\
&= 13,570 \cdot 10^{-12} \cdot k_s \cdot M_1 \cdot j^2 [W];
\end{aligned} \tag{53}$$

e) Aluminiu; clasa de izolație F ($\theta = 140^\circ C$):

$$\begin{aligned}
P &= k_s \cdot \rho_{20} \cdot [1 + \alpha \cdot (\theta - 20)] \cdot 1/\gamma \cdot M_1 \cdot j^2 = \\
&= 1/36,2 \cdot 10^{-6} (1 + 408 \cdot 10^{-5} \cdot 120) \cdot 1/(2,7 \cdot 10^3) \cdot k_s \cdot M_1 \cdot j^2 = \\
&= 15,240 \cdot 10^{-12} \cdot k_s \cdot M_1 \cdot j^2 [W];
\end{aligned} \tag{54}$$

f) Aluminiu; clasa de izolație H ($\theta = 165^\circ C$):

$$\begin{aligned}
P &= k_s \cdot \rho_{20} \cdot [1 + \alpha \cdot (\theta - 20)] \cdot 1/\gamma \cdot M_1 \cdot j^2 = \\
&= 1/36,2 \cdot 10^{-6} (1 + 408 \cdot 10^{-5} \cdot 145) \cdot 1/(2,7 \cdot 10^3) \cdot k_s \cdot M_1 \cdot j^2 = \\
&= 16,284 \cdot 10^{-12} \cdot k_s \cdot M_1 \cdot j^2 [W];
\end{aligned} \tag{55}$$

unde: k_s - coeficientul pierderilor suplimentare, calculat cu relația

(45), iar M_1 [kg] - masa netă a bobinajului primului solenoid.

Pentru un bobinaj cilindric fără canale de răcire transversale cu diametrul interior d_i , cu înălțimea h și cu grosimea b , masa „ M_1 ” poate fi calculată cu relația:

$$M_1 = \gamma \cdot \pi \cdot (d_i + b) \cdot b \cdot h \quad [\text{kg}]; \quad (56)$$

unde: γ [kg/m^3] este densitatea de material: pentru cupru, $\gamma = 8,9 \cdot 10^3$ [kg/m^3], iar pentru aluminiu $\gamma = 2,7 \cdot 10^3$ [kg/m^3].

Suprafața de disipare a căldurii pentru primul solenoid este dată de relația:

$$S_1 = 2 \cdot \pi \cdot (d_i + b) \cdot h \quad [\text{m}^2]. \quad (57)$$

Pierderile specifice „ Δp ” pe unitatea de suprafață și pentru un $^{\circ}\text{C}$ de creștere a încălzirii sunt date de relația:

$$\Delta p = \frac{P_1}{S_1 \cdot \vartheta}; \quad (58)$$

- unde:
- P_1 [W] - valoarea pierderilor totale ale primului solenoid;
 - S_1 [m^2], suprafața de disipare calculată cu formula (57);
 - $\vartheta = (\theta - \theta_{amb})$ – încălzirea admisibilă corespunzătoare clasei de izolație (vezi tabelul 2);
 - α_{con} – coeficientul de transmisie a căldurii prin convecție, determinat experimental (vezi capitolul 3).

Din relația (58), combinată cu relațiile (50)÷(55) \Rightarrow pierderile specifice „ Δp ”, pentru următoarele categorii de bobinaje:

a) Cupru; clasa de izolație A ($\vartheta = 60^{\circ}\text{C}$):

$$\Delta p = 2,60 \cdot 10^{-12} \cdot \frac{8,9 \cdot 10^3}{2} \cdot k_s \cdot \frac{b \cdot j^2}{9} = 115,7 \cdot 10^{-10} \cdot k_s \cdot \frac{b \cdot j^2}{9} =$$

$$= 115,7 \cdot 10^{-10} \cdot k_s \cdot \frac{b \cdot j^2}{60} = 1,93 \cdot 10^{-10} \cdot k_s \cdot b \cdot j^2 \left[\frac{W}{m^2 \cdot ^\circ C} \right]; \quad (59)$$

b) Cupru; clasa de izolație F ($\vartheta = 100^\circ C$):

$$\begin{aligned} \Delta p &= 2,9322 \cdot 10^{-12} \cdot \frac{8,9 \cdot 10^3}{2} \cdot k_s \cdot \frac{b \cdot j^2}{9} = 130,5 \cdot 10^{-10} \cdot k_s \cdot \frac{b \cdot j^2}{9} = \\ &= 130,5 \cdot 10^{-10} \cdot k_s \cdot \frac{b \cdot j^2}{100} = 1,305 \cdot 10^{-10} \cdot k_s \cdot b \cdot j^2 \left[\frac{W}{m^2 \cdot ^\circ C} \right]; \quad (60) \end{aligned}$$

c) Cupru; clasa de izolație H ($\vartheta = 125^\circ C$):

$$\begin{aligned} \Delta p &= 3,1394 \cdot 10^{-12} \cdot \frac{8,9 \cdot 10^3}{2} \cdot k_s \cdot \frac{b \cdot j^2}{9} = 139,7033 \cdot 10^{-10} \cdot k_s \cdot \frac{b \cdot j^2}{9} = \\ &= 139,7033 \cdot 10^{-10} \cdot k_s \cdot \frac{b \cdot j^2}{125} = 1,1176 \cdot 10^{-10} \cdot k_s \cdot b \cdot j^2 \left[\frac{W}{m^2 \cdot ^\circ C} \right]; \quad (61) \end{aligned}$$

d) Aluminiiu; clasa de izolație A ($\vartheta = 60^\circ C$):

$$\begin{aligned} \Delta p &= 13,570 \cdot 10^{-12} \cdot \frac{2,7 \cdot 10^3}{2} \cdot k_s \cdot \frac{b \cdot j^2}{9} = 183,2 \cdot 10^{-10} \cdot k_s \cdot \frac{b \cdot j^2}{9} = \\ &= 183,2 \cdot 10^{-10} \cdot k_s \cdot \frac{b \cdot j^2}{60} = 3,053 \cdot 10^{-10} \cdot k_s \cdot b \cdot j^2 \left[\frac{W}{m^2 \cdot ^\circ C} \right]; \quad (62) \end{aligned}$$

e) Aluminiiu; clasa de izolație F ($\vartheta = 100^\circ C$):

$$\begin{aligned} \Delta p &= 15,240 \cdot 10^{-12} \cdot \frac{2,7 \cdot 10^3}{2} \cdot k_s \cdot \frac{b \cdot j^2}{9} = 205,74 \cdot 10^{-10} \cdot k_s \cdot \frac{b \cdot j^2}{9} = \\ &= 205,74 \cdot 10^{-10} \cdot k_s \cdot \frac{b \cdot j^2}{100} = 2,0574 \cdot 10^{-10} \cdot k_s \cdot b \cdot j^2 \left[\frac{W}{m^2 \cdot ^\circ C} \right]; \quad (63) \end{aligned}$$

f) Aluminiiu; clasa de izolație H ($\vartheta = 125^\circ C$):

$$\begin{aligned} \Delta p &= 16,284 \cdot 10^{-12} \cdot \frac{2,7 \cdot 10^3}{2} \cdot k_s \cdot \frac{b \cdot j^2}{9} = 219,834 \cdot 10^{-10} \cdot k_s \cdot \frac{b \cdot j^2}{9} = \\ &= 219,834 \cdot 10^{-10} \cdot k_s \cdot \frac{b \cdot j^2}{125} = 1,7587 \cdot 10^{-10} \cdot k_s \cdot b \cdot j^2 \left[\frac{W}{m^2 \cdot ^\circ C} \right]; \quad (64) \end{aligned}$$

Se verifică dacă valorile pierderilor specifice „ Δp ” calculate conform relațiilor (59)÷(64) satisfac inecuația:

$$\Delta p \leq \Delta p_{adm} = k \cdot \alpha_{1con}; \quad (65)$$

unde: k - este un coeficient care tine seama de lățimea „ Δ ” a canalelor de răcire cu valorile determinate experimental, conforme cu diagrama din figura 9, iar α_{1con} este coeficientul admisibil de transmisie a căldurii prin convecție cu valorile determinate

experimental, conforme cu diagramele prezentate în figura 8. Aceste valori pot fi determinate si analitic cu ajutorul formulelor (21-2) și (21-3).

Daca inecuația (65) nu este satisfăcută, se va micșora valoarea densității de curent „ j ” (se majorează secțiunea spirelor înfășurării) și se reia calculul de dimensionare al bobinei de reactanță.

8. Funcționarea la curentul nominal de scurtă durată (curentul de scurtcircuit brusc)

Verificarea bunei funcționari a bobinei de reactanță la curentul nominal de scurtă durată „ I_{sc} ”, se poate efectua prin două metode de calcul:

a) Se aplică formula prevăzută în normele internaționale [10]:

$$T_1 = \theta + a \cdot j_{sc}^2 \cdot t \cdot 10^{-3} [^{\circ}\text{C}], \quad (66)$$

în care: - $\theta [^{\circ}\text{C}]$ - este temperatura inițială maximă admisibilă a înfășurării normată în funcție de clasa de izolație; valorile normate sunt date în tabelul 1;

- a este un coeficient dat în tabelul 3, în funcție de parametrul $\frac{1}{2} (\theta + T_2)$;

(θ – este temperatura normată mai sus menționată, T_2 este temperatura standardizată maximă admisibilă a înfășurării în funcție de natura materialului și de clasa de izolație a înfășurării; valorile normate sunt date în tabelul 3)

- $j_{sc} [\text{A/mm}]$ este valoarea densității curentului nominal de scurtă durată;

- t este durata în secunde a curentului nominal de scurtă durată; conform normelor internaționale [10], durata normată “ t_N ”

este 2 (două) secunde dacă valoarea curentului nominal de scurtă durată este mai mare de 20 de ori ca valoarea curentului nominal de lungă durată, respectiv 3 (trei) secunde dacă valoarea curentului nominal de scurtă durată este mai mică sau egală cu de 20 ori valoarea curentului nominal de lungă durată.

Funcționarea bobinei de reactanță la curentul nominal de scurtă durată „ I_{sc} ” este corespunzătoare dacă este îndeplinită inecuația:

$$T_1 \leq T_2 ; \quad (67)$$

unde T_1 este valoarea temperaturii calculată cu relația (66), iar T_2 este valoarea standardizată a temperaturii medii maxime admisibile, dată în tabelul 4.

Tabelul 3

$\frac{1}{2} (\theta + T_2)$	Valoarea factorului „a” în funcție de parametrul „ $\frac{1}{2} (\theta + T_2)$ ”	
	Înfășurarea din Cu	Înfășurarea din Al
140	7,14	16,3
160	7,80	17,4
180	8,20	18,3
200	8,59	-
220	8,99	-
240	9,38	-

Tabelul 4

Clasa de izolație	Valoarea temperaturii medii maxime admisibile „ T_2 ” a înfășurării	
	Înfășurarea din Cu	Înfășurarea din Al
A	180	180
E	250	200
B, F sau H	350	200

Dacă inecuația nu este îndeplinită, atunci se va determina valoarea maximă admisibilă a densității de curent „ j_{scadm} ” (implicit secțiunea minimă admisibilă a spirelor bobinajului) din ecuația (66), în care se înlocuiesc valorile: $T_1 = T_2$ și $t = t_N$; apoi se reia calculul de dimensionare al bobinei de reactanță.

b) Se aplică formula pentru stabilitatea termica a aparatelor electrice [6]:

$$j_{sc}^2 \cdot t = \frac{c_0 \cdot \gamma}{k_s \cdot \alpha \cdot \rho_0} \cdot \ln \frac{1 + \alpha \cdot T_2}{1 + \alpha \cdot \theta} , \quad (68)$$

în care:

- $j_{sc} [A/m^2]$ - este valoarea densității curentului nominal de scurtă durată;

- t – este durata în secunde a curentului nominal de scurtă durată;

- c_0 – căldura specifică a materialului: pentru cupru $c_0 = 890 \text{ W} \cdot s / (kg \cdot \text{grd.})$, iar pentru aluminiu $c_0 = 387 \text{ W} \cdot s / (kg \cdot \text{grd.})$;

- γ – densitatea materialului: pentru cupru $\gamma = 8,9 \cdot 10^3 [kg/m^3]$, iar pentru aluminiu $\gamma = 2,7 \cdot 10^3 [kg/m^3]$;

- k_s – coeficientul pierderilor suplimentare determinat conform relației (45);

- α – coeficientul de temperatură al rezistenței electrice: pentru cupru $\alpha = 428 \cdot 10^{-5} [1/^\circ C]$, iar pentru aluminiu $\alpha = 408 \cdot 10^{-5} [1/^\circ C]$;

- ρ_0 – este rezistivitatea materialului la temperatura de $0^\circ C$: pentru cupru $\rho_0 = 1/63,43 \cdot 10^{-6} [\Omega \cdot m]$, iar pentru aluminiu $\rho_0 = 1/39,416 \cdot 10^{-6} [\Omega \cdot m]$;

- T_2 – este temperatura standardizată maximă admisibilă a înfășurării în funcție de natura materialului și de clasa de izolație a înfășurării; valorile normate sunt date în tabelul 4;

- $\theta [^\circ C]$ - este temperatura inițială standardizată maximă admisibilă a înfășurării în funcție de clasa de izolație; valorile normate sunt date în tabelul 1;

Funcționarea bobinei de reactanță la curentul nominal de scurtă durată „ I_{sc} ” este corespunzătoare dacă este îndeplinită inecuația:

$$t \geq t_N; \quad (69)$$

unde t este durata în secunde a curentului nominal de scurtă durată calculată cu relația (68), iar t_N este durata normată, mai sus menționată, a curentului nominal de scurta durată.

Dacă inecuația (69) nu este îndeplinită, atunci se va determina valoarea maximă admisibilă a densității de curent „ j_{scadm} ” (implicit secțiunea minimă admisibilă a spirelor bobinajului) din ecuația (68), în care se înlocuiește $t = t_N$; apoi se reia calculul de dimensionare a bobinei de reactanță.

9. Verificarea funcționării bobinei la forțele electrodinamice

9.1 Relații generale pentru calculul forțelor

La bobinele fără miez feromagnetic, utilizate pentru limitarea curenților în circuitele electrice, calculul forțelor electrodinamice, care se produc la valoarea maximă de vârf a curentului nominal de scurtă durată, este necesar la dimensionarea sistemului mecanic de consolidare a conductoarelor înfășurării.

Forțele rezultante care acționează după anumite coordonate asupra unui sistem de conductoare se pot determina prin aplicarea teoremei forțelor generalizate în funcție de energia magnetică a sistemului exprimată în raport cu acele coordonate. Forțele locale care acționează asupra conductoarelor se pot determina în funcție de valoarea inducției magnetice prin elementul de conductor parcurs de curent.

Energia magnetică în câmpul bobinei este:

$$W_m = \frac{1}{2} L \cdot i^2 \quad (70)$$

Asupra bobinei se produc forte axiale de compresie, care se

determină prin aplicarea teoremei forțelor generalizate [8]:

$$F_a = \left(\frac{\partial W_m}{\partial h} \right)_{i=const} = \frac{1}{2} \cdot i^2 \cdot \frac{\partial L}{\partial h}; \quad (71)$$

precum și forțe radiale date de relația:

$$F_r = \left(\frac{\partial W_m}{\partial b} \right)_{i=const} = \frac{1}{2} \cdot i^2 \cdot \frac{\partial L}{\partial b}; \quad (72)$$

pentru aplicarea în calcule a acestor relații, este necesar să se cunoască funcțiile $\frac{\partial L}{\partial h}$, respectiv $\frac{\partial L}{\partial b}$, în care L este inductivitatea bobinei, iar h și b sunt dimensiunile bobinei (axiala, respectiv radială).

Forța locală asupra unui element de conductor filiform de lungime \vec{dl} , parcurs de curentul „ i ” și aflat în câmpul magnetic \vec{B} este:

$$\vec{dF} = i \cdot [\vec{dl} \times \vec{B}]; \quad (73)$$

Pentru aplicarea în calcule a acestei relații este necesar să se cunoască vectorul inducției magnetice.

Câmpul magnetic se poate descompune în doua componente:

$$\vec{B} = \vec{B}_r + \vec{B}_h, \quad (74)$$

În care \vec{B}_r este componenta radiala, iar \vec{B}_h - componenta axială; cu aceasta elementul de forță devine:

$$\vec{dF} = i \cdot [\vec{dl} \times \vec{B}_r] + i \cdot [\vec{dl} \times \vec{B}_h] \quad (75)$$

9.2 Forțele electromagnetice în bobinele cilindrice

Forțele electrodinamice care acționează asupra unui sistem electromagnetic sunt întotdeauna dirijate astfel încât să mărească inductanța sistemului în ansamblu și de aceea, în interiorul unei bobine de reactanță monofazate, la trecerea prin bobină a curentului, eforturile electrodinamice tind să comprime bobina în toate direcțiile

și să mărească diametrul acesteia (vezi figura 13.1) [6], [8]. În funcție de locul unde se află situată spira în câmpul magnetic al bobinei, aceste forțe au valori și sensuri diferite. Ca urmare, tensiunile mecanice care apar în diferite locuri ale bobinei nu sunt identice între ele.

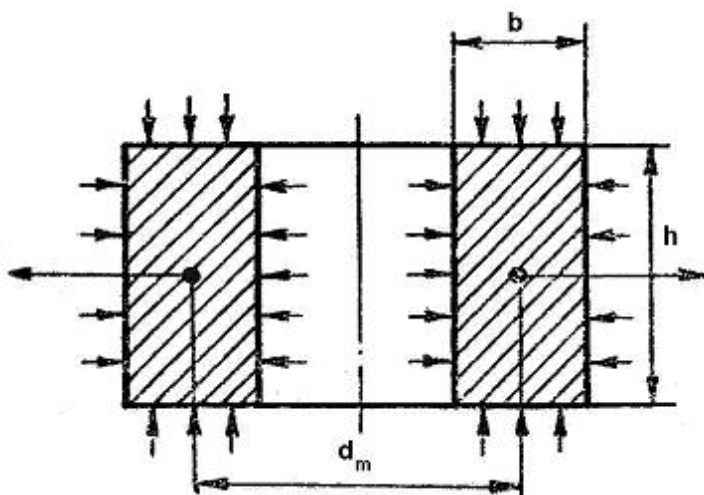


Figura 13.1: Direcțiile și sensul forțelor electrodinamice

La acțiunea electrodinamică asupra spirelor, fiecare dintre forțele care acționează asupra unității de lungime a spirei poate fi considerată ca suma a doua forțe: forța radială, F_r , și forța axială, F_h , create corespunzător de către câmpul longitudinal și câmpul transversal al bobinei. În figura 13.2 este reprezentată aproximativ variația câmpului longitudinal pe diametrul bobinei, precum și variația câmpului transversal pe înălțimea bobinei; de asemenea este reprezentată descompunerea câmpului rezultat al bobinei (într-un punct oarecare K), în componenta longitudinală H_h și transversala H_r , și sunt arătate forțele F_r și F_h corespunzătoare acestor câmpuri. După cum se observă din figura 13, forțele radiale maxime pe unitatea de

lungime a conductorului sunt situate pe stratul (solenoidul) interior al bobinajului, fiind create de componenta longitudinală a câmpului. Punctul maxim se afla situat la mijlocul înălțimii solenoidului din interiorul bobinajului (punctul A din figura 13.2).

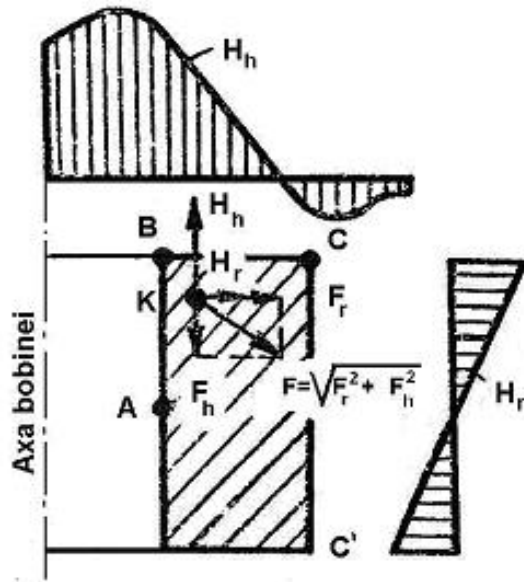


Figura 13.2: Câmpul magnetic pe direcția longitudinală (axială) și transversală (radială) și forțele electrodinamice corespunzătoare acestora

În continuare vor fi prezentate formulele de calcul obținute experimental, referitor la valorile câmpurilor (forțelor) longitudinale și transversale ale bobinelor, formule care permit determinarea eforturilor ce acționează pe unitatea de lungime a spirei, în trei puncte caracteristice: A, B și C, ale bobinajelor (vezi figura 13.2) [6]:

$$F_A \approx 7,57 \cdot 10^{-7} \cdot \frac{1}{b \cdot N} \cdot \sum_1^N w_i \cdot (I_d)^2 \cdot A_{h/2} \quad [N/m]; \quad (76)$$

$$F_B \approx 9,083 \cdot 10^{-7} \cdot \frac{1}{b \cdot N} \cdot \sum_1^N w_i \cdot (I_d)^2 \cdot A_h \quad [N/m]; \quad (77)$$

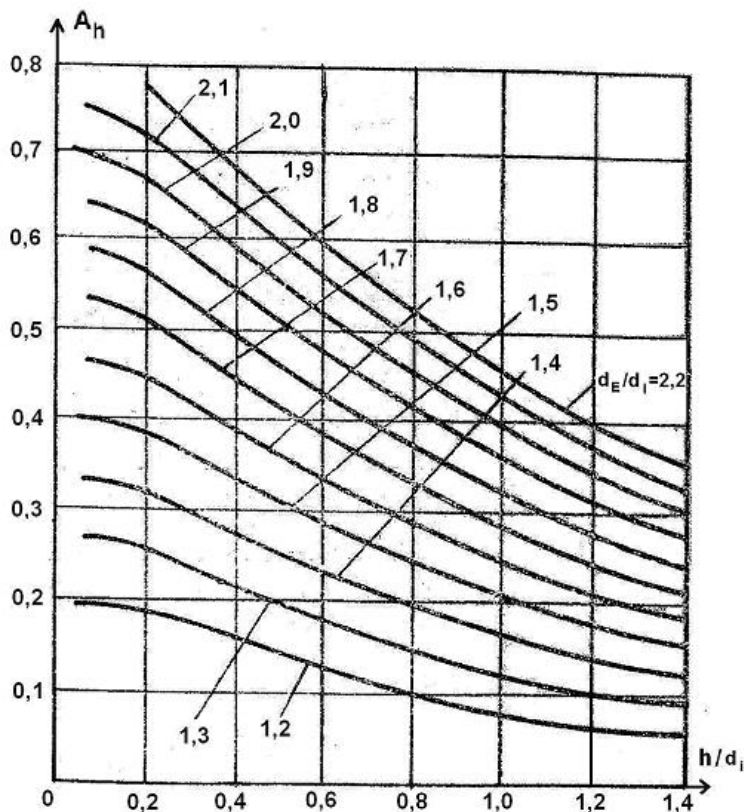
$$F_C \approx 4,24 \cdot 10^{-7} \cdot \frac{1}{b \cdot N} \cdot \sum_1^N w_i \cdot (I_d)^2 \cdot A_h \quad [N/m]; \quad (78)$$

unde: - $b = (d_E - d_i)/2$ [m] este lățimea bobinajului;

- $w = 1/N \cdot \sum_{i=1}^N w_i$ este numărul mediu de spire al bobinei realizate

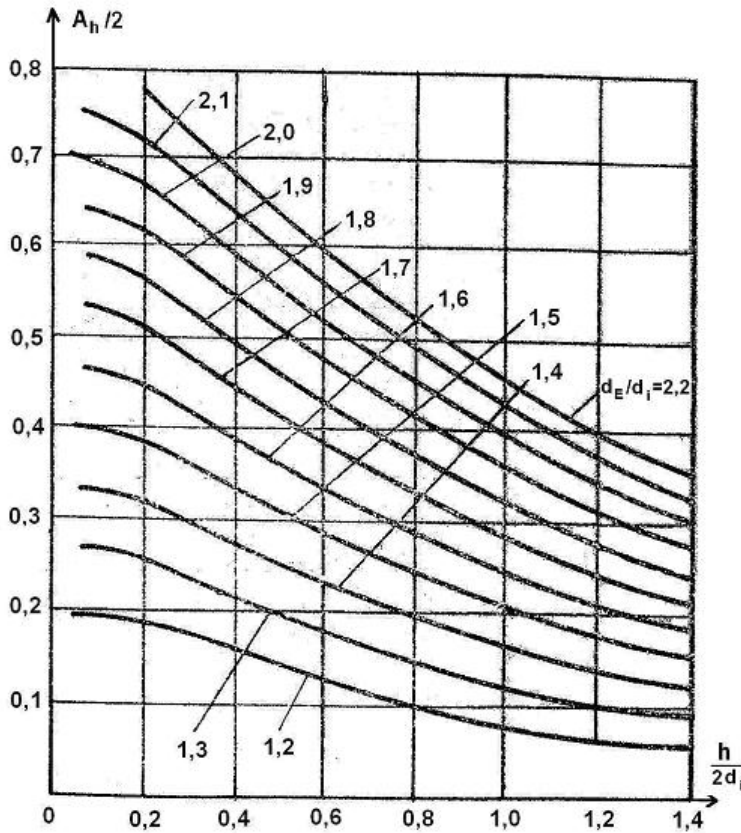
din „N” solenoizi conectați în paralel;

- $I_d = 1,8 \cdot \sqrt{2} \cdot I_{sc}$ [A] este valoarea de vârf a curentului nominal de scurtă durată (vezi paragraful 9.4);



Figurile 14: Diagramele coeficienților A_h funcție de raportul h/d_i

A_h și $A_{h/2}$ sunt coeficienți care depind de forma bobinei și se determină cu ajutorul nomogramelor din figurile 14, respectiv 15.



Figurile 15: Diagramele coeficienților $A_h/2$ funcție de $h/(2d_i)$

Cu toate că forțele maxime care acționează asupra unității de lungime a spirei revin spirelor medii interioare (punctul A din figura 13.2), efortul mecanic este maxim la spirele de capăt, situate la exteriorul înfășurării (punctele C și C' din figura 13.2). Forța maximă în punctul A acționează numai în sens radial, tinzând să rupă spira, iar această forță este compensată de reacția sistemului mecanic de consolidare al întregii înfășurări și, ca urmare, pericolul este în general redus. În punctele C și C', există forțe axiale maxime care solicită spira la încovoiere (vezi figura 16). Totodată, din punct de vedere constructiv, pe spirele situate la exteriorul bobinajului se

obține deschiderea maximă „ l_d ” a conductorilor spirei. În punctele C și C' se obțin tensiuni maxime și, ca urmare, este necesară verificarea prin calcul a rezistenței mecanice a conductorilor spirelor situate în aceste zone.

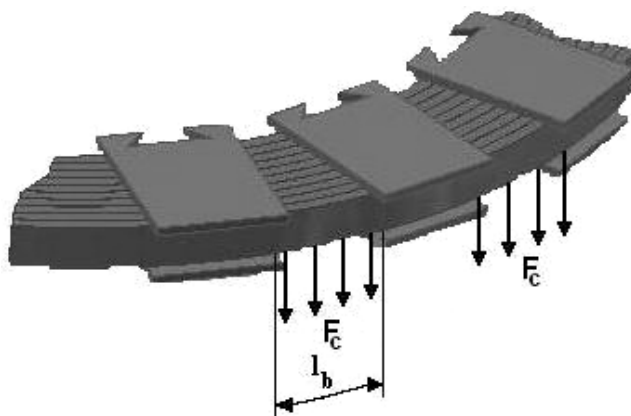


Figura 16: Forțele care solicită la încovoiere spira „de capăt” situată la exteriorul bobinajului

La determinarea eforturilor și deformațiilor conductorilor, solicitarea electrodinamică poate fi considerată ca fiind aplicată instantaneu, iar conductorul spirei poate fi considerat ca un fir flexibil (în majoritatea cazurilor spirele înfășurării sunt realizate din mai multe conductoare elementare, care au o anumită elasticitate).

Săgeata de încovoiere a conductoarelor, pe baza teoriei firelor flexibile, poate fi calculată cu relația:

$$f = \frac{2 \cdot F_C \cdot l_d^2}{8 \cdot F_t} \quad [m] \quad (79)$$

în care: - F_C este forța care acționează pe unitatea de lungime, calculată cu formula (78);

- l_d [m] este lungimea deschiderii conductoarelor încastrate la capete prin intermediul distanțoarelor consecutive adiacente spirei exterioare a înfășurării;

- F_t [N] este forța de întindere a conductoarelor;

- 2 este un coeficient care tine seama de faptul că solicitarea nu este statica, ci este aplicata instantaneu.

Forța de întindere a conductoarelor poate fi calculată cu relația:

$$F_t = \frac{8}{3} \cdot E \cdot \frac{f^2}{l_d^2} \cdot \Sigma s_c \quad [N] \quad (80)$$

unde E [N/m^2] este modulul de elasticitate al materialului din care sunt confecționate conductoarele: pentru cupru $E = 12,753 \cdot 10^{11} \text{ N/m}^2$, iar pentru aluminiu $E = 7,063 \cdot 10^{11} \text{ N/m}^2$ [9], iar Σs_c [m^2] - este secțiunea conductoarelor spirei.

Din combinația relațiilor (79) și (80), rezultă „săgeata”, f , a conductorului:

$$f = \sqrt[3]{\frac{6 \cdot F_c \cdot l_d^4}{64 \cdot E \cdot \Sigma s_c}} \quad [m] \quad (81)$$

Efortul unitar în conductoare va fi:

$$\sigma = \frac{F_t}{\Sigma s_c} = \frac{8}{3} \cdot E \cdot \frac{f^2}{l_d^2} \quad [N/m^2] \quad (82)$$

Din combinația relațiilor (81) și (82) \Rightarrow

$$\sigma = \sqrt[3]{\frac{F_c^2 \cdot l_d^2 \cdot E}{6 \cdot (\Sigma s_c)^2}} \quad [N/m^2] \quad (83)$$

Cu relația (83) se pot determina eforturile mecanice specifice care apar în conductoare, atunci când se cunosc forțele F_c care acționează pe unitatea de lungime a conductoarelor.

Comportarea conductoarelor la efortul electrodinamic este corespunzătoare dacă este satisfăcută inecuația:

$$\sigma \leq \sigma_{adm} , \quad (84)$$

unde σ_{adm} - este tensiunea admisibilă la tracțiune a materialului:

pentru cupru $\sigma_{adm} = 20 \cdot 10^7 \text{ N/m}^2$, iar pentru aluminiu $\sigma_{adm} = 15 \cdot 10^7 \text{ N/m}^2$ [11].

Dacă tensiunea mecanică „ σ ” determinată cu formula (83) este mai mare decât tensiunea admisibilă la tracțiune a materialului conductorului „ σ_{adm} ”, atunci se va proceda la micșorarea lungimii „ l_d ”, prin majorarea adecvată a numărului de distanțoare distribuite uniform pe circumferința spirei.

Forța admisibilă F_{adm} pe unitatea de lungime, în cazul unei secțiuni uniforme a conductoarelor spirei (dacă se consideră conductoarele ca o grindă cu capetele încastrate), poate fi determinată cu relația:

$$F_{adm} = 12 \cdot W \cdot \frac{\sigma_{adm}}{l_d^2} \quad [N/m], \quad (85)$$

în care: - $W [m^3]$ este modulul de rezistență al conductoarelor spirei;
 - $\sigma_{adm} [N/m^2]$ tensiunea admisibilă la tracțiune a materialului conductoarelor;
 - $l_d [m]$ – lungimea conductoarelor, considerate ca o grindă încastrată la ambele capete.

Dacă conductoarele care alcătuiesc secțiunea spirei nu satisfac întru totul proprietățile firelor flexibile, atunci forța admisibilă „ F_{adm} ” pe unitatea de lungime a conductoarelor (cablului) poate fi determinată cu relația:

$$F_{adm} = \frac{\Sigma s_c}{l_d} \cdot \sqrt{\frac{24 \cdot \sigma_{adm}^3}{E}} \quad [N] \quad (86)$$

în care: - $\Sigma s_c [m^2]$ este secțiunea conductoarelor spirei;
 - $E [N/m^2]$ – modulul de elasticitate al materialului.

Forța „ F_l ” exercitată pe unitatea de lungime a conductoarelor

spirelor de capăt situate la exteriorul înfășurării bobinei poate fi determinată cu relația de calcul [6]:

$$F_l = 10^{-7} \cdot \frac{\sum_1^N w_i}{h} \cdot \left(\frac{I_d}{N} \right)^2 \cdot \beta \quad [N/m] \quad (87)$$

în care: - $\sum_1^N w_i$ este suma spirelor celor „N” solenoizi conectați în paralel (numărul total al spirelor înfășurării a căror secțiune este străbătută de curentul cu valoarea I_d / N [A]);

- h [m] este înălțimea bobinajului (dimensiunea pe direcția axială);

- $I_d = 1,8 \cdot \sqrt{2} \cdot I_{sc}$ [A] este valoarea de vârf a curentului nominal de scurtă durată (vezi paragraful 9.4);

- N - este numărul solenoizilor conectați în paralel;

- $\beta = \beta\left(\frac{h}{d_m}, \frac{b}{d_m}\right)$ este un coeficient care depinde de geometria

bobinei, iar valorile sunt date în tabelul 5.

Comportarea conductoarelor la efortul electrodinamic este corespunzătoare dacă este satisfăcută inecuația:

$$F_l \leq F_{adm} \quad (88)$$

Tabelul 5: Valorile coeficientului β pentru calculul solicitărilor în spirală, conform relației (87)

h/d_m	b/d_m								
	0,2	0,22	0,24	0,26	0,28	0,30	0,32	0,34	0,36
0,6	3,35	3,18	3,0	2,84	2,70	2,56	2,42	2,30	2,20
0,8	3,58	3,40	3,23	3,07	2,90	2,76	2,62	2,50	2,39
1,0	3,70	3,54	3,38	3,23	3,07	2,92	2,78	2,64	2,51
2,0	3,90	3,70	3,52	3,36	3,20	3,05	2,90	2,77	2,64

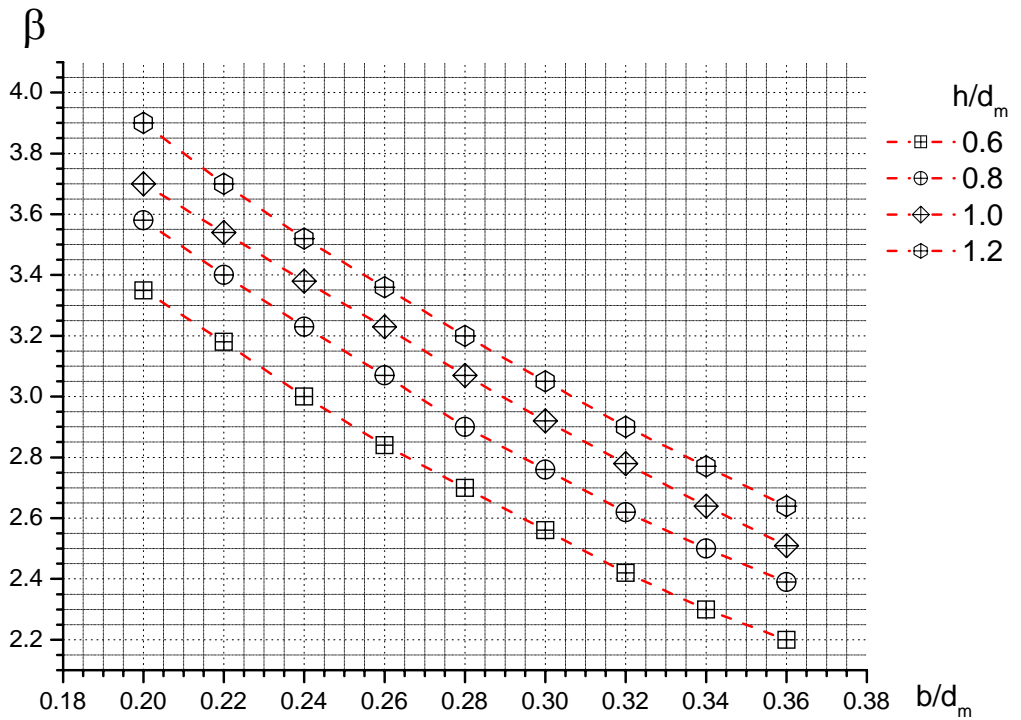


Figura 16.1: Coeficientul β exprimat în funcție b/d_m la valori h/d_m distincte

9.3 Forțele dintre două bobine cilindrice identice coaxiale

Energia magnetică corespunzătoare câmpului magnetic mutual este:

$$W_{m12} = i_1 \cdot i_2 \cdot L_{12} \quad (89)$$

Forța axială rezultantă, de interacțiune dintre cele două bobine cilindrice coaxiale identice este [8]:

$$F_{a12} = \left(\frac{\partial W_m}{\partial z_0} \right)_{i_1, i_2 = \text{const}} = i_1 \cdot i_2 \cdot \frac{\partial L_{12}}{\partial z_0} = i_1 \cdot i_2 \cdot w^2 \cdot \varphi_a, \quad (90)$$

în care: $z_0 - h = S$ este distanța dintre bobine (z_0 - este distanța dintre centrele bobinelor, iar h este înălțimea bobinei – vezi figura

17);

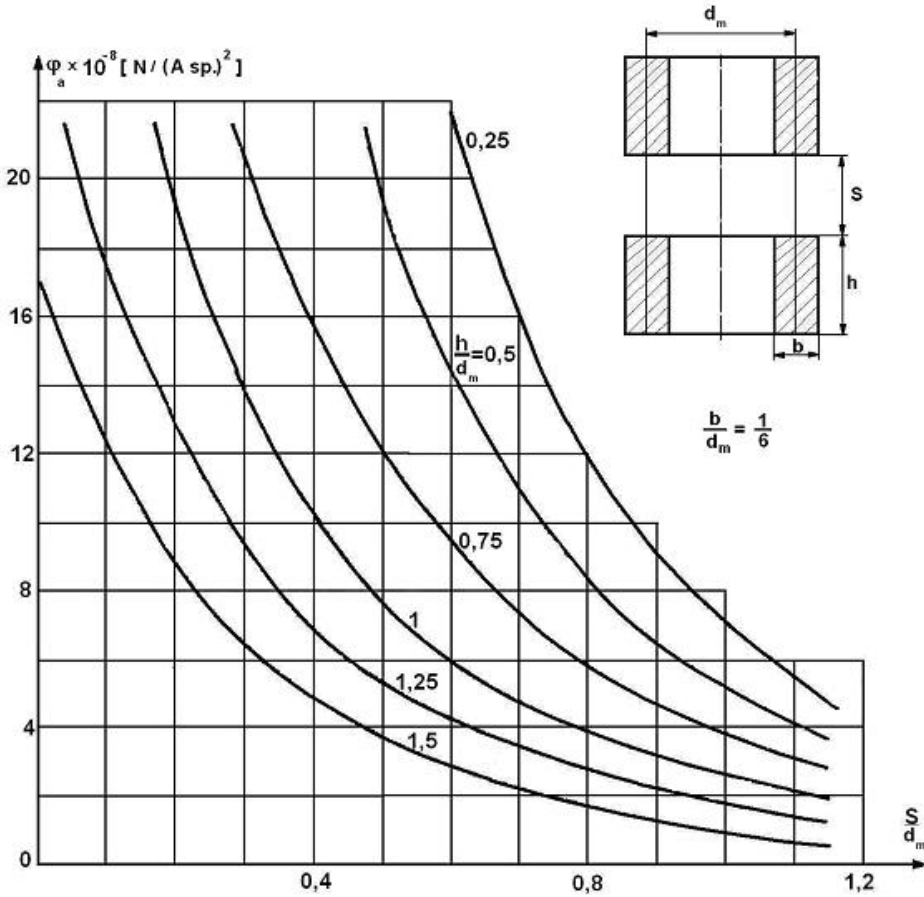


Figura 17: Forțele electrodinamice specifice „ φ_a ” care acționează între două bobine identice montate suprapus (pe aceeași verticală) în funcție de raportul S/d_m (S = distanța dintre axele bobinelor; d_m = diametrul mediu al bobinajului) și de geometria bobinei (rapoartele $h/d_m = 0,5 \div 1,5$ și $b/d_m = 1/6$)

w – este numărul de spire al bobinei;

$\varphi_a = \varphi_a\left(\frac{b}{d_m}, \frac{h}{d_m}, \frac{S}{d_m}\right)$ - este o funcție care caracterizează

valoarea forței de interacțiune pe un amper-spiră ($i_1 = i_2 = 1A$ și $w = 1$), în funcție de dimensiunile geometrice ale bobinelor (b/d_m , h/d_m) și raportul dintre distanței „ S ” dintre înfășurări și diametrul lor mediu S/d_m .

În figura 17 sunt reprezentate nomogramele forțelor specifice axiale rezultante între două bobine identice coaxiale, montate suprapus pe aceeași verticală a locului (este reprezentat graficul funcției φ_a în funcție de raportul S/d_m , pentru diferite rapoarte h/d_m , în cazul particular când raportul dintre diametrul mediu al bobinajului și grosimea acestuia are valoarea: $d_m/b = 6$).

9.4 Forțele între două bobine cilindrice identice cu axe paralele așezate la aceeași cotă¹

Forțele rezultante care se exercită radial în planul perpendicular pe axe bobinelor se determină cu relația:

$$F_r = \left(\frac{\partial W_m}{\partial S} \right)_{i_1, i_2 = \text{const}} = i_1 \cdot i_2 \cdot \frac{\partial L}{\partial S} = i_1 \cdot i_2 \cdot w^2 \cdot \varphi_r, \quad (91)$$

în care: - S este distanța între axe bobinelor (vezi figura 18);

- w este numărul de spire al bobinei;

- $\varphi_r = \varphi_r\left(\frac{b}{d_m}, \frac{h}{d_m}, \frac{S}{d_m}\right)$ este o funcție care caracterizează

valoarea forței de interacțiune pe un amper-spira ($i_1 = i_2 = 1A$ și $w = 1$), în funcție de dimensiunile geometrice ale bobinelor: $(b/d_m, h/d_m)$ și raportul distanței dintre axe bobinelor și diametrul lor mediu: S/d_m .

În figura 18 s-au reprezentat nomogramele forțelor specifice radiale rezultante care se exercită între două bobine identice cu axe paralele (graficul funcției φ_r), în funcție de raportul S/d_m , pentru diferite rapoarte h/d_m , în cazul particular când raportul dintre diametrul mediu al bobinajului și grosimea acestuia are valoarea: $d_m/b = 6$.

¹ ($z_0 = 0$)

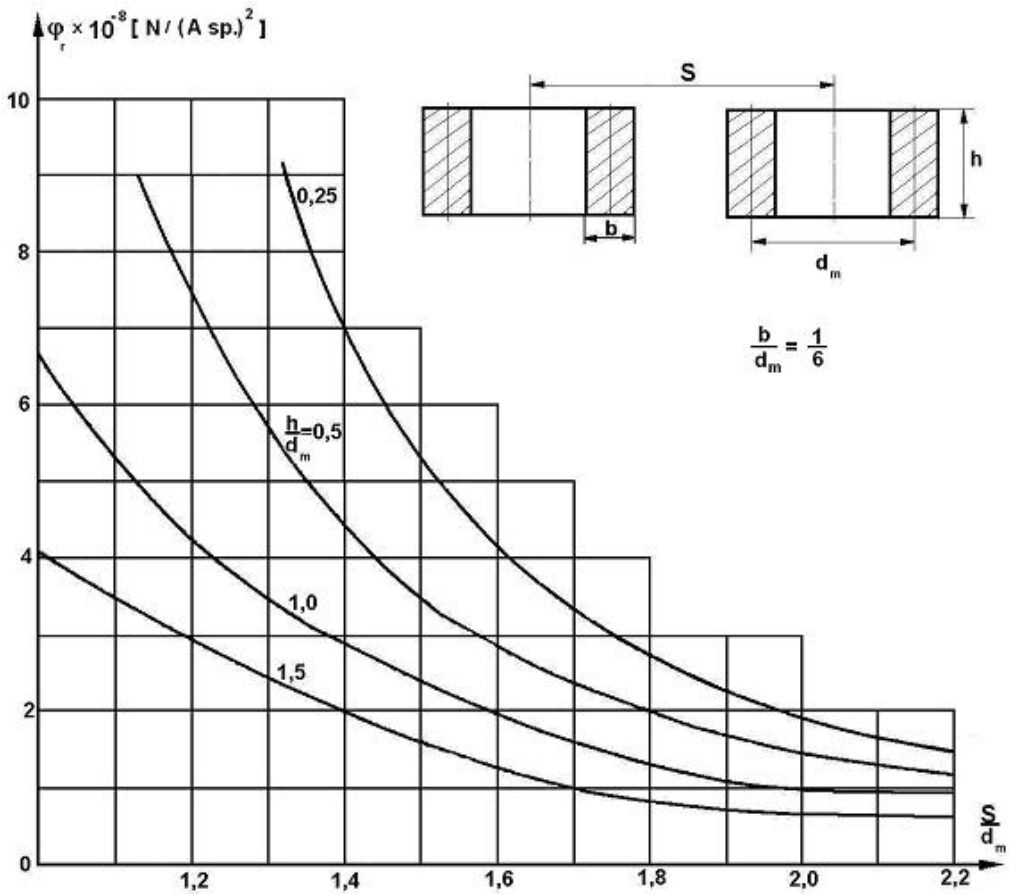


Figura 18: Forțele electrodinamice ϕ_r , care acționează între două bobine identice montate alăturat în funcție de raportul S/d_m (S este distanța dintre axe bobinelor; d_m – diametrul mediu al bobinajului) și de geometria bobinei (rapoartele $h/d_m = 0,5 \div 1,5$ și $b/d_m = 1/6$)

Forțele axiale rezultante, de deplasare a celor două bobine cilindrice așezate la aceeași cotă ($z_0 = 0$), sunt nule [8].

Pentru calculul forțelor electrodinamice trebuie determinate valorile curentului nominal de scurtă durată „ I_{sc} ” și valoarea de vârf a acestuia „ I_d ”. În ipoteza în care toate rezistențele ohmice ale circuitului sunt neglijate iar bobina de reactanță rămâne ca unic consumator de

energie electrică în circuit și, totodată, considerând că tensiunea rețelei nu variază în timpul scurtcircuitului, valorile maxime posibile ale acestor curenți pot fi determinate cu relațiile:

$$I_{sc} = \frac{U_N}{\sqrt{3} \cdot X_N} = \frac{U_N}{\sqrt{3} \cdot 2\pi \cdot f \cdot L_N} \quad [A] \quad (92)$$

în care: - $U_N [V]$ este tensiunea nominală a rețelei electrice;

- $f [Hz]$ este frecvența curentului;

- $L_N [H]$ este inductivitatea nominală a bobinei de reactanță.

$$I_d = 1,8 \cdot \sqrt{2} \cdot I_{sc} \quad [A] \quad (93)$$

În cazul scurtcircuitului simetric trifazat, valorile produsului curenților a două faze „ $i_1 \cdot i_2$ ” variază între limitele: $-\frac{3}{4} \cdot I_d^2 \div \frac{1}{4} \cdot I_d^2$. Valorile maxime ale produsului „ $i_1 \cdot i_2$ ” (negative și pozitive) dau valorile maxime ale forțelor de atracție și de respingere ale bobinelor. Astfel, în cursul unei singure perioade a curentului alternativ, forțele care se exercită între fazele adiacente au două valori maxime negative și două valori maxime pozitive.

În situația în care cele trei bobine monofazate sunt identice și sunt montate suprapus (pe aceeași verticală a locului) se calculează:

a) forțele maxime de respingere „ F_{resp} ”, care se exercită între fazele adiacente:

$$F_{resp} = \frac{3}{4} \cdot I_d^2 \cdot w^2 \cdot \varphi_a \quad [N], \quad (94)$$

unde I_d se calculează cu relația (93), $w = \frac{1}{N} \cdot \sum_1^N w_i$ - este valoarea medie a numărului de spire al bobinei realizate din „ N ” solenoizi conectați în paralel iar valorile $\varphi_a \left[\frac{N}{(A.sp.)^2} \right]$ se iau din nomogramele din

figura 17.

b) forțele maxime de atracție „ F_{atr} “, care se exercită între fazele adiacente:

$$F_{atr} = \frac{1}{4} \cdot I_d^2 \cdot w^2 \cdot \Phi_a \quad [N], \quad (95)$$

Din combinația relațiilor (79) și (80) rezultă:

$$F_{resp} = 3 \cdot F_{atr}; \quad (96)$$

adică, în cazul montajului suprapus (pe aceeași verticală a locului) a unui set de trei bobine monofazate identice, forțele de respingere care se manifestă între faze sunt de trei ori mai mari față de cele de atracție și, ca urmare, este util ca izolatoarele dintre faze să fie izolatoare compozite care au o rezistență remarcabilă la tracțiune.

Valorile acestor forțe pot fi inversate dacă bobina monofazată, amplasată la mijloc (faza centrală) are sensul înfășurărilor inversat față de sensul înfășurărilor celorlalte două bobine monofazate, sau dacă în faza centrală se realizează schimbarea sensului curentului prin inversarea bornelor de alimentare cu energie electrică. În acest caz forțele de respingere vor fi:

$$F_{resp} = \frac{1}{3} \cdot F_{atr}; \quad (97)$$

În acest ultim caz consolidarea mecanică între bobine poate fi realizată cu ajutorul izolatoarelor din porțelan care rezistă mai bine la eforturi de compresiune față de tracțiune.

În situația în care cele trei bobine monofazate sunt identice și sunt montate alăturat (pe o linie orizontală – vezi figura 18), sensul forțelor maxime nu are un rol prea mare, deoarece izolatoarele

suport sunt solicitate la încovoiere. Numai în situația în care sunt utilizate ca distanțoare între faze izolatoarele suport din porțelan, este mai avantajos ca forțele maxime de interacțiune între bobine să fie forțele de atracție.

Amplasarea pe orizontală a bobinelor este folosită fie în cazul unor forte electrodinamice mari, fie în cazul unor înălțimi mici ale spațiului disponibil.

Formulele de calcul ale forțelor de respingere și de atracție sunt similare cu relațiile de calcul (94) și (95), cu precizarea ca funcția „ φ_a ” se înlocuiește cu funcția „ φ_r ”:

$$F_{resp} = \frac{3}{4} \cdot I_d^2 \cdot w^2 \cdot \varphi_r \quad [N]; \quad (98)$$

$$F_{atr} = \frac{1}{4} \cdot I_d^2 \cdot w^2 \cdot \varphi_r \quad [N]; \quad (99)$$

unde I_d se calculează cu relația (93), iar valorile $\varphi_r[N/(A \cdot sp)^2]$ se determină din nomogramele prezentate în figura 18.

ANEXA A.1: Alegerea bobinelor de reactanță limitatoare de curent pentru protecția circuitelor electrice. Exemplul numeric

Cunoscându-se configurația circuitului electric (vezi figura 19) unde urmează a fi instalată bobina de reactanță, inclusiv partea de scurtcircuit în amonte Sk_1 [MVA], respectiv în aval Sk_2 [MVA] de bobină, reactanța nominală necesară pentru bobină se calculează cu relația (100):

$$X_n[\Omega] = U_n^2[kV] \left[\frac{1}{S_{k2}[MVA]} - \frac{1}{S_{k1}[MVA]} \right] \quad (100)$$

Exemplu: Cunoscând schema monofilară indicată în figura 19, se calculează puterea de scurtcircuit "Sk₁" în amonte de bobină, cu relația (101)

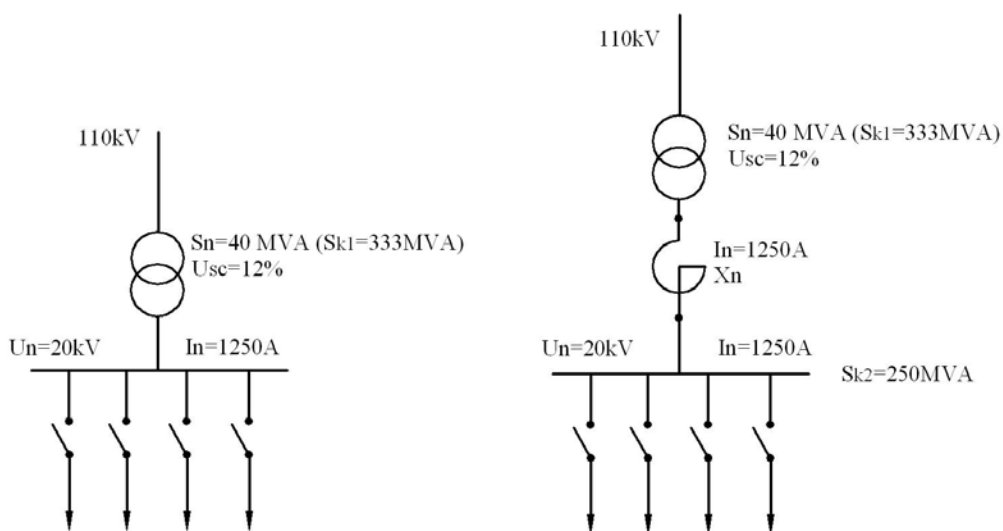


Figura 19: Schema monofilară a circuitului electric unde urmează a fi înseriată bobina de reactanță

$$S_{k1} = \frac{S_n}{U_{sc} \%} = \frac{40}{12/100} = \frac{4000}{12} = 333 MVA. \quad (101)$$

Puterea de scurtcircuit (S_{k2}) în aval de bobină este impusă, fiind egală cu puterea de rupere a întreruptoarelor de medie tensiune:

$$S_{k2} = 250 MVA$$

Valoarea reactanței nominale " X_n " necesară pentru bobina de reactanță ce urmează a fi înseriată în circuit, astfel încât puterea de scurtcircuit în aval (pe partea de medie tensiune) să fie limitată la $S_{k2}=250$ MVA, rezultă din relația (100):

$$X_n [\Omega] = U^2 [kV] \left[\frac{1}{S_{k2} [MVA]} - \frac{1}{S_{k1} [MVA]} \right] = 20^2 \left[\frac{1}{250} - \frac{1}{333} \right] = 0,4 \Omega$$

Reactanța procentuală " x_p " necesară pentru bobină se calculează cu relația (102):

$$x_p = \frac{X_n \cdot I_n}{U_n / \sqrt{3}} \cdot 100 = \frac{0,4 \cdot 1250}{20000 / \sqrt{3}} \cdot 100 = 4,33\% \quad (102)$$

Se rotunjește la întreg $x_p = 5\%$

Bobina de reactanță necesară va avea parametrii nominali:
 $U_n = 20$ kV; $I_n = 1250$ A și $x_p = 5\%$.

ANEXA A.2: Bobina de reactanță ”BR-6000-2500-5”, uscată, fără miez feromagnetic, de tip serie definită în CEI 60076-6: 2007. Exemplul numeric: calculul de dimensionare

A.2.1. Date nominale:

- tensiunea nominală: $U_N = 6000 \text{ V}$;
- curentul nominal: $I_N = 2500 \text{ A}$;
- reactanța procentuală: $x_p = 5/100$
- frecvența nominală: $f_N = 50 \text{ Hz}$
- conductoarele înfășurării: aluminiu
- clasa de izolație: F ($\vartheta = 100 \text{ }^\circ\text{C}$; $\theta = 140 \text{ }^\circ\text{C}$)
- diametrul maxim al înfășurării: $d_{adm} = 1500 \text{ mm}$
- înălțimea maximă a înfășurării: $h_{adm} = 450 \text{ mm}$

A.2.1.2. Reactanța nominală:

$$X_N = \frac{U_N}{\sqrt{3} \cdot I_N} \cdot x_p = \frac{6000}{\sqrt{3} \cdot 2500} \cdot \frac{5}{100} \approx 0,0693 \Omega$$

(toleranța admisă: 0%, +20% \Leftrightarrow vezi CEI 60076-6: 2007).

A.2.1.3. Inductivitatea nominală:

$$L_N = \frac{X_N}{2 \cdot \pi \cdot f_N} = 0,220 \cdot 10^{-3} \text{ H}$$

(toleranța admisă: 0%, +20% \Leftrightarrow pentru calculul de predimensionare, valoarea inductanței se majorează cu 10% , și ca urmare se va considera: $L_N = 0,242 \cdot 10^{-3} \text{ H}$)

A.2.1.4. Curentul nominal de scurta durată:

$$I_{sc} = \frac{U_N}{\sqrt{3} \cdot X_N} = \frac{I_N}{x_p} = \frac{2500}{5/100} = 50\,000 \text{ A} ;$$

$$t = 3 \text{ s} \Leftrightarrow (I_{sc} \leq 20 \cdot I_N \Rightarrow t = 3 \text{ sec, conform CEI 60076-6: 2007}).$$

A.2.1.5. Valoarea de vârf a curentului nominal de scurtă durată:

$$I_d = 1,8 \cdot \sqrt{2} \cdot I_{sc} \approx 125\,000 \text{ A}.$$

A.2.2. Calculul de predimensionare

Conform nomogramelor din figura 11, pentru un solenoid din aluminiu clasa F de izolație, cu grosimea bobinajului $n_0 = b = 10 \div 15 \text{ mm}$ și cu înălțimea $h \approx 1000 \text{ mm} \Rightarrow$ densitatea de curent $j \approx 1,35 \text{ A/mm}^2$.

Spira solenoidului este realizată din $n = 10$ conductoare de aluminiu cu secțiunea dreptunghiulară $2 \times 10,5$ ($s_c = 20,6 \text{ mm}^2$) conectate în paralel (dispunerea conductoarelor: 5 pe direcția radială și 2 pe direcția axială); \Rightarrow secțiunea spirei solenoidului: $\Sigma s_c = 10 \cdot 20,6 = 206 \text{ mm}^2$.

În ipoteza în care se admite o creștere a bobinajului de cca. 2,5% atât pe direcție radială cât și pe direcție axială, iar grosimea izolației “ Δ_{iz} ” însumată pentru ambele laturi ale conductorului este de cca. 0,5 mm, rezulta:

$$- n_0 = 1,025 \cdot (2 + 0,5) \cdot 5 = 12,8125 \approx 13 \text{ mm};$$

$$- n_v = 1,025 \cdot (10,5 + 0,5) \cdot 2 = 22,55 \text{ mm};$$

$$- k_M = \frac{n_0 \cdot n_v}{n \cdot s_c} = \frac{12,8125 \cdot 22,55}{10 \cdot 20,6} = 1,4025$$

$$\text{Din relația: } n_0 \cdot n_v \cdot N = k_M \cdot \frac{I_N}{j_N} \Rightarrow N = 1,4025 \cdot \frac{2500}{12,8125 \cdot 22,05 \cdot 1,35} = 8,989;$$

Se adopta $N = 9$ (numărul solenoizilor conectați în paralel);

$$\text{Se recalculează } j_N = \frac{I_N}{N \cdot \Sigma s_c} = \frac{2500}{9 \cdot 206} = 1,3484 \text{ A/mm}^2$$

Din motive de răcire a bobinajului, respectiv a izolației între spire

se adopta:

- $k_0 = 14 \text{ mm}$ (lățimea canalelor de răcire);
- $k_v = 2 \text{ mm}$ (grosimea distanțoarelor dintre două spire consecutive).

Pasul înfășurării:

- pe direcție axială: $p_v = n_v + k_v = 22,55 + 2 = 24,55 \text{ mm}$
 - pe direcție radială : $p_0 = n_0 + k_0 = 12,8125 + 14 = 26,8125 \text{ mm}$;
- valorile diametrelor medii al solenoizilor formează o progresie aritmetica cu rația $r = 2 \cdot p_0 = 2 \cdot 26,8125 = 53,625 \text{ mm}$.

Inductivitatea „ L_c ” a bobinei echivalente se determina cu relația (14):

$$L_c = \left(1,4025 \cdot \frac{2500}{1^2 \cdot 1,3484} \right)^2 \left(1 + \frac{14}{12,8125} + \frac{2}{22,55} + \frac{14 \cdot 2}{12,8125 \cdot 22,55} \right)^2 \cdot 0,242 \cdot 10^{-3} =$$

$$= 8493,377 \text{ H}$$

Valoarea optima “ b ” a ferestrei bobinei pătrate se determină cu formula (16);

$$b = 10^{-1} \cdot \left(\frac{8493,377}{25,5} \right)^{\frac{1}{5}} = 0,320 \text{ m} = 320 \text{ mm}$$

Valoarea optima a diametrului mediu „ d_m ” al bobinei se determina cu relația (17):

$$d_m = 3 \cdot b = 3 \cdot 320 = 960 \text{ mm}$$

(coincide cu diametrul mediu al solenoidului nr. 5, din cei 9 solenoizi conectați în paralel);

Diametrul mediu „ d_1 ” al primului solenoid (solenoidul cu diametrul cel mai mic) rezulta:

$$d_1 = d_m - \frac{N-1}{2} \cdot r = 960 - \frac{9-1}{2} \cdot 53,625 = 745,5 \text{ mm}$$

Diametrul mediu al solenoidului d_9 (solenoidul cu diametrul cel

mai mare) este:

$$d_9 = d_m + \frac{N-1}{2} \cdot r = 960 + \frac{9-1}{2} \cdot 53,625 = 1174,5 \text{ mm}$$

Se determina numărul de spire pentru fiecare solenoid în parte cu ajutorul „Relațiilor lui Maxwell privitoare la inductivități” (19), astfel încât sa fie realizata egalizarea curenților pe fiecare cale de curent. Sistemul de ecuații (19) este rezolvat cu ajutorul unui program *software* specializat.

În tabelul A1 sunt prezentate centralizat numărul diferențiat de spire pentru bobina realizata din $N = 9$ solenoizi conectați în paralel.

Tabelul A1:

Bobina \ $Z = 0,076 \ \Omega$ \ $d1 \div d9 = 0,7455 \div 1,1745 \text{ m}$ \ $p = 0,02455 \text{ m}$ \ $b = 0,02205 \text{ m}$ \ $c = 0,0123125 \text{ m}$ \ $\rho = 4,45797395569085 \text{E-}8 \ \Omega \cdot \text{m}$; $k_M = 1,318$

1) $2 \times w(1) =$ $= 2 \times 13,2$	$2 \times a(1) =$ $= 2 \times 0,3240 \text{ m}$	$L(1) = 0,0021868961 \text{ H}$	$z(1) = 0,687052 \ \Omega$
2) $2 \times w(2) =$ $= 2 \times 11,6$	$2 \times a(2) =$ $= 2 \times 0,2847 \text{ m}$	$L(2) = 0,0021777842 \text{ H}$	$z(2) = 0,684187 \ \Omega$
3) $2 \times w(3) =$ $= 2 \times 10,5$	$2 \times a(3) =$ $= 2 \times 0,25777 \text{ m}$	$L(3) = 0,0021746037 \text{ H}$	$z(3) = 0,683187 \ \Omega$
4) $2 \times w(4) =$ $= 2 \times 9,8$	$2 \times a(4) =$ $= 2 \times 0,2405 \text{ m}$	$L(4) = 0,0021891455 \text{ H}$	$z(4) = 0,687755 \ \Omega$
5) $2 \times w(5) =$ $= 2 \times 9,2$	$2 \times a(5) =$ $= 2 \times 0,2258 \text{ m}$	$L(5) = 0,0021733138 \text{ H}$	$z(5) = 0,682782 \ \Omega$
6) $2 \times w(6) =$ $= 2 \times 8,9$	$2 \times a(6) =$ $= 2 \times 0,21849 \text{ m}$	$L(6) = 0,0021835956 \text{ H}$	$z(6) = 0,686012 \ \Omega$
7) $2 \times w(7) =$ $= 2 \times 8,7$	$2 \times a(7) =$ $= 2 \times 0,21358 \text{ m}$	$L(7) = 0,0021774680 \text{ H}$	$z(7) = 0,684088 \ \Omega$
8) $2 \times w(8) =$ $= 2 \times 8,7$	$2 \times a(8) =$ $= 2 \times 0,21358 \text{ m}$	$L(8) = 0,0021800533 \text{ H}$	$z(8) = 0,684902 \ \Omega$
9) $2 \times w(9) =$ $= 2 \times 8,9$	$2 \times a(9) =$ $= 2 \times 0,21849 \text{ m}$	$L(9) = 0,0021856502 \text{ H}$	$z(9) = 0,686663 \ \Omega$

Unde: $2 \times w(i)$ = numărul de spire al solenoidului “i” ; $a(i)$ = înălțimea solenoidului “i” constituit din $w(i)$ spire.

$L(i)$ și $Z(i)$ = inductivitatea, respectiv impedanța solenoidului “i” constituit din $2 \times w(i)$ spire; p = pasul spirelor solenoizilor; $b \times c$ = dimensiunile secțiunii dreptunghiulare a spirelor solenoizilor (secțiunea conductorului blank echivalent: b - pe direcția axială și c - pe direcția radiala); k_M = factorul de majorare a secțiunii spirei.

$Z_{\text{calculat}} = 0,0761308327283162 \text{ (ohm)}$

$Eroarea (dZ) = 0,0001308 \Omega$; $Eroarea \text{ relativă procentuală } (100 \cdot dZ/Z) = 0,17 \%$.

Înălțimea bobinajului este dată de înălțimea primului solenoid: $h = 648 \text{ mm} > h_{adm} = 450 \text{ mm}$.

Pentru a diminua înălțimea bobinajului se reia calculul de predimensionare al bobinei cu un număr majorat de solenoizi conectați în paralel determinat, cu relația:

$$N = 1 + \frac{b}{p_0} = 1 + \frac{320}{26,8125} = 12,93 \approx 13;$$

Se recalculează secțiunea spirei : $\Sigma s_c = n \cdot s_c = I_N / (N \cdot j) = 2500 / 13 / 1,35 = 142,45 \text{ mm}^2$; pentru $n = 10 \Rightarrow s_c = 14,245 \text{ mm}^2$; se alege valoarea standardizată: $s_c = 14,6 \text{ mm}^2 \Leftrightarrow$ conductorul de aluminiu cu secțiunea dreptunghiulară $2 \times 7,5$.

Se recalculează mărimile:

- densitatea de curent: $j = 2500 / 13 / 146 = 1,317 \text{ A/mm}^2$

- $n_v = 1,025 \cdot (7,5 + 0,5) \cdot 2 = 16,4 \text{ mm}$;

- $p_v = 16,4 + 2 = 18,4 \text{ mm}$;

- $k_M = 12,8125 \cdot 16,4 / 146 = 1,439$;

- $L_c = \left(1,439 \cdot \frac{2500}{1^2 \cdot 1,317} \right)^2 \cdot \left(1 + \frac{14}{12,8125} + \frac{2}{16,4} + \frac{14 \cdot 2}{12,8125 \cdot 16,4} \right)^2 \cdot 0,242 \cdot 10^{-3} =$
 $= 9954,0 \text{ H}$

- $b = 10^{-1} \cdot \left(\frac{9954,0}{25,5} \right)^{1/5} = 0,330 \text{ m} = 330 \text{ mm}$

- $d_m = d_6 = 3 \cdot b = 3 \cdot 330 = 990 \text{ mm}$

- $d_1 = d_m - \frac{N-1}{2} \cdot r = 990 - \frac{13-1}{2} \cdot 53,625 = 668,25 \text{ mm} \approx 670 \text{ mm}$

- $d_{13} = d_m + \frac{N-1}{2} \cdot r = 990 + \frac{13-1}{2} \cdot 53,625 = 1311,75 \text{ mm} \approx 1312 \text{ mm}$

Dimensiunile bobinajului și numărul de spire al celor 13 solenoizi conectați în paralel sunt prezentate centralizat în tabelul A2.

Tabelul A2

Solenoid \ $Z = 0,076 \Omega$ \ $d1 \div d13 = 0,66825 \div 1,3135 \text{ m}$ \ $p = 0,0184 \text{ m}$ \ $b = 0,0159 \text{ m}$ \ $c = 0,0123125 \text{ m}$ \ $\rho = 4,53536276002029\text{E-}8 \Omega \cdot \text{m}$; $k_M = 1,318$

1) $2 \times w(1) =$ $= 2 \times 15,5$	$2 \times a(1) =$ $= 2 \times 0,2852 \text{ (m)}$	$L(1) = 0,0031522065 \text{ (H)}$	$z(1) = 0,9903237 \text{ (}\Omega\text{)}.$
2) $2 \times w(2) =$ $= 2 \times 13,4$	$2 \times a(2) =$ $= 2 \times 0,2465 \text{ (m)}$	$L(2) = 0,0031380855 \text{ (H)}$	$z(2) = 0,985884 \text{ (}\Omega\text{)}.$
3) $2 \times w(3) =$ $= 2 \times 12$	$2 \times a(3) =$ $= 2 \times 0,2208 \text{ (m)}$	$L(3) = 0,0031515845 \text{ (H)}$	$z(3) = 0,990122 \text{ (}\Omega\text{)}.$
4) $2 \times w(4) =$ $= 2 \times 10,9$	$2 \times a(4) =$ $= 2 \times 0,2005 \text{ (m)}$	$L(4) = 0,0031431096 \text{ (H)}$	$z(4) = 0,987459 \text{ (}\Omega\text{)}.$
5) $2 \times w(5) =$ $= 2 \times 10,1$	$2 \times a(5) =$ $= 2 \times 0,1858 \text{ (m)}$	$L(5) = 0,0031428951 \text{ (H)}$	$z(5) = 0,987391 \text{ (}\Omega\text{)}.$
6) $2 \times w(6) =$ $= 2 \times 9,5$	$2 \times a(6) =$ $= 2 \times 0,1748 \text{ (m)}$	$L(6) = 0,0031440739 \text{ (H)}$	$z(6) = 0,987761 \text{ (}\Omega\text{)}.$
7) $2 \times w(7) =$ $= 2 \times 9,1$	$2 \times a(7) =$ $= 2 \times 0,1674 \text{ (m)}$	$L(7) = 0,0031629828 \text{ (H)}$	$z(7) = 0,993702 \text{ (}\Omega\text{)}.$
8) $2 \times w(8) =$ $= 2 \times 8,7$	$2 \times a(8) =$ $= 2 \times 0,1600 \text{ (m)}$	$L(8) = 0,0031387246 \text{ (H)}$	$z(8) = 0,986082 \text{ (}\Omega\text{)}.$
9) $2 \times w(9) =$ $= 2 \times 8,5$	$2 \times a(9) =$ $= 2 \times 0,1564 \text{ (m)}$	$L(9) = 0,0031487925 \text{ (H)}$	$z(9) = 0,989246 \text{ (}\Omega\text{)}.$
10) $2 \times w(10) =$ $= 2 \times 8,4$	$2 \times a(10) =$ $= 2 \times 0,1545 \text{ (m)}$	$L(10) = 0,003160000 \text{ (H)}$	$z(10) = 0,99276 \text{ (}\Omega\text{)}.$
11) $2 \times w(11) =$ $= 2 \times 8,3$	$2 \times a(11) =$ $= 2 \times 0,1527 \text{ (m)}$	$L(11) = 0,003132788 \text{ (H)}$	$z(11) = 0,98422 \text{ (}\Omega\text{)}.$
12) $2 \times w(12) =$ $= 2 \times 8,4$	$2 \times a(12) =$ $= 2 \times 0,1545 \text{ (m)}$	$L(12) = 0,003140301 \text{ (H)}$	$z(12) = 0,98658 \text{ (}\Omega\text{)}.$
13) $2 \times w(13) =$ $= 2 \times 8,6$	$2 \times a(13) =$ $= 2 \times 0,1582 \text{ (m)}$	$L(13) = 0,003134652 \text{ (H)}$	$z(13) = 0,98481 \text{ (}\Omega\text{)}.$

$Z_{\text{calculat}} = 0,0760133834 \Omega$

Eroarea (dZ) = $1,33834\text{E-}5 \Omega$; Eroarea relativă procentuală ($100 \cdot dZ/Z$) = $0,017 \%$.

Înălțimea bobinajului realizat din 13 solenoizi conectați în paralel este (vezi tabelul A2): $h = 570 \text{ mm} > h_{adm} = 450 \text{ mm}$.

Reducerea în continuare a înălțimii bobinajului, în ipoteza în care se menține aceeași densitate de curent (secțiunea spirelor rămâne nemodificată), poate fi realizată prin majorarea diametrului bobinei.

În tabelul A3 sunt prezentate centralizat principalele elemente

constructive ale bobinajului (N , w_i și h) calculate cu ajutorul programului *software* specializat, pentru următoarele trei tipovariante de bobine:

- a) “Bob:9/1380” $\Leftrightarrow N = 9$; $d_E \approx 1380 \text{ mm} \Rightarrow h = 480 \text{ mm} > h_{adm} = 450$
 b) “Bob:9/1500” $\Leftrightarrow N = 9$; $d_E \approx 1500 \text{ mm} \Rightarrow h = 422 \text{ mm} < h_{adm} = 450$
 c) “Bob:13/1500” $\Leftrightarrow N = 13$; $d_E \approx 1500 \text{ mm} \Rightarrow h = 420 \text{ mm} < h_{adm} = 450$

Numai variantele constructive b) și c) satisfac cerințele tehnice privind dimensiunile de gabarit impuse și ca urmare vor fi analizate în paralel în paragrafele următoare.

Tabelul A3

Bobina \ $Z = 0,076 \Omega \setminus d1 \div d9 = 0,94 \div 1,369 \text{ m} \setminus p = 0,02455 \text{ m} \setminus b = 0,02205 \text{ m} \setminus c = 0,0123125 \text{ m} \setminus \rho = 4,45797395569085E-8 \Omega \cdot m \setminus k_M = 1,318$

1) $2 \times w(1) = 2 \times 9,8$	$2 \times a(1) = 2 \times 0,24059 \text{ m}$	$L(1) = 0,0021791480 \text{ H}$	$z(1) = 0,6846160 \Omega.$
2) $2 \times w(2) = 2 \times 8,9$	$2 \times a(2) = 2 \times 0,21849 \text{ m}$	$L(2) = 0,0021891598 \text{ H}$	$z(2) = 0,6877600 \Omega.$
3) $2 \times w(3) = 2 \times 8,2$	$2 \times a(3) = 2 \times 0,20131 \text{ m}$	$L(3) = 0,0021777506 \text{ H}$	$z(3) = 0,6841749 \Omega.$
4) $2 \times w(4) = 2 \times 7,8$	$2 \times a(4) = 2 \times 0,19149 \text{ m}$	$L(4) = 0,0021951902 \text{ H}$	$z(4) = 0,6896536 \Omega.$
5) $2 \times w(5) = 2 \times 7,4$	$2 \times a(5) = 2 \times 0,18167 \text{ m}$	$L(5) = 0,0021687648 \text{ H}$	$z(5) = 0,6813519 \Omega.$
6) $2 \times w(6) = 2 \times 7,2$	$2 \times a(6) = 2 \times 0,17676 \text{ m}$	$L(6) = 0,0021658009 \text{ H}$	$z(6) = 0,6804213 \Omega.$
7) $2 \times w(7) = 2 \times 7,2$	$2 \times a(7) = 2 \times 0,17676 \text{ m}$	$L(7) = 0,0021919016 \text{ H}$	$z(7) = 0,6886223 \Omega.$
8) $2 \times w(8) = 2 \times 7,2$	$2 \times a(8) = 2 \times 0,17676 \text{ m}$	$L(8) = 0,0021824236 \text{ H}$	$z(8) = 0,6856461 \Omega.$
9) $2 \times w(9) = 2 \times 7,3$	$2 \times a(9) = 2 \times 0,17921 \text{ m}$	$L(9) = 0,0021645111 \text{ H}$	$z(9) = 0,6800209 \Omega.$

$Z_{\text{calculat}} = 0,0760755387 \Omega$

Eroarea (dZ) = $7,55387E-5 \Omega$; Eroarea relativă procentuala ($100 \cdot dZ/Z$) = 0,099 %.

Bobina \ $Z = 0,076 \Omega \setminus d1 \div d9 = 1,0645 \div 1,4935 \text{ m} \setminus p = 0,02455 \text{ m} \setminus b = 0,02205 \text{ m} \setminus c = 0,0123125 \text{ m} \setminus \rho = 4,45797395569085E-8 \Omega \cdot m$

Ajustare

1) $2 \times w(1) = 2 \times 8,6$	$2 \times a(1) = 2 \times 0,21113 \text{ m}$	$L(1) = 0,002187028 \text{ H}$	$z(1) = 0,6870915 \Omega.$
-----------------------------------	----------------------------------------------	--------------------------------	----------------------------

2) $2 \times w(2) = 2 \times 7,8$	$2 \times a(2) = 2 \times 0,19149 \text{ m}$	$L(2) = 0,002173042 \text{ H}$	$z(2) = 0,6826964 \Omega$
3) $2 \times w(3) = 2 \times 7,3$	$2 \times a(3) = 2 \times 0,179215 \text{ m}$	$L(3) = 0,002179534 \text{ H}$	$z(3) = 0,6847352 \Omega$
4) $2 \times w(4) = 2 \times 6,9$	$2 \times a(4) = 2 \times 0,169395 \text{ m}$	$L(4) = 0,002167648 \text{ H}$	$z(4) = 0,6810007 \Omega$
5) $2 \times w(5) = 2 \times 6,7$	$2 \times a(5) = 2 \times 0,164485 \text{ m}$	$L(5) = 0,002182955 \text{ H}$	$z(5) = 0,6858101 \Omega$
6) $2 \times w(6) = 2 \times 6,6$	$2 \times a(6) = 2 \times 0,16203 \text{ m}$	$L(6) = 0,002199372 \text{ H}$	$z(6) = 0,6909682 \Omega$
7) $2 \times w(7) = 2 \times 6,5$	$2 \times a(7) = 2 \times 0,159575 \text{ m}$	$L(7) = 0,002183229 \text{ H}$	$z(7) = 0,6858976 \Omega$
8) $2 \times w(8) = 2 \times 6,5$	$2 \times a(8) = 2 \times 0,159575 \text{ m}$	$L(8) = 0,002168992 \text{ H}$	$z(8) = 0,6814263 \Omega$
9) $2 \times w(9) = 2 \times 6,7$	$2 \times a(9) = 2 \times 0,164485 \text{ m}$	$L(9) = 0,002186326 \text{ H}$	$z(9) = 0,6868741 \Omega$

$Z_{\text{calculat}} = 0,07612821709 \Omega$

Eroarea (dZ) = $0,000128217099 \Omega$; Eroarea relativa procentuala ($100 \cdot dZ/Z$) = $0,1687 \%$.

Bobina \ $Z = 0,076 \Omega$ \ $d1 \div d13 = 0,85 \div 1,4935 \text{ m}$ \ $p = 0,0184 \text{ m}$ \ $b = 0,0159 \text{ m}$
 $c = 0,0123125 \text{ m}$ \ $\rho = 4,53576864535769 \text{E-}8 \Omega \cdot \text{m}$:

Ajustare

1) $2 \times w(1) = 2 \times 11,4$	$2 \times a(1) = 2 \times 0,20976 \text{ m}$	$L(1) = 0,00315128 \text{ H}$	$z(1) = 0,990029 \Omega$
2) $2 \times w(2) = 2 \times 10,1$	$2 \times a(2) = 2 \times 0,18584 \text{ m}$	$L(2) = 0,00312740 \text{ H}$	$z(2) = 0,982524 \Omega$
3) $2 \times w(3) = 2 \times 9,3$	$2 \times a(3) = 2 \times 0,17112 \text{ m}$	$L(3) = 0,00315500 \text{ H}$	$z(3) = 0,991194 \Omega$
4) $2 \times w(4) = 2 \times 8,6$	$2 \times a(4) = 2 \times 0,15824 \text{ m}$	$L(4) = 0,00313879 \text{ H}$	$z(4) = 0,986102 \Omega$
5) $2 \times w(5) = 2 \times 8,1$	$2 \times a(5) = 2 \times 0,14904 \text{ m}$	$L(5) = 0,00313677 \text{ H}$	$z(5) = 0,985466 \Omega$
6) $2 \times w(6) = 2 \times 7,7$	$2 \times a(6) = 2 \times 0,14168 \text{ m}$	$L(6) = 0,00312667 \text{ H}$	$z(6) = 0,982294 \Omega$
7) $2 \times w(7) = 2 \times 7,5$	$2 \times a(7) = 2 \times 0,13800 \text{ m}$	$L(7) = 0,00316270 \text{ H}$	$z(7) = 0,993613 \Omega$
8) $2 \times w(8) = 2 \times 7,2$	$2 \times a(8) = 2 \times 0,13248 \text{ m}$	$L(8) = 0,00311977 \text{ H}$	$z(8) = 0,980127 \Omega$
9) $2 \times w(9) = 2 \times 7,1$	$2 \times a(9) = 2 \times 0,13064 \text{ m}$	$L(9) = 0,00313504 \text{ H}$	$z(9) = 0,984926 \Omega$
10) $2 \times w(10) = 2 \times 7,1$	$2 \times a(10) = 2 \times 0,13064 \text{ m}$	$L(10) = 0,0031659 \text{ H}$	$z(10) = 0,99463 \Omega$
11) $2 \times w(11) = 2 \times 7,1$	$2 \times a(11) = 2 \times 0,13064 \text{ m}$	$L(11) = 0,0031639 \text{ H}$	$z(11) = 0,99400 \Omega$
12) $2 \times w(12) = 2 \times 7,1$	$2 \times a(12) = 2 \times 0,13064 \text{ m}$	$L(12) = 0,0031253 \text{ H}$	$z(12) = 0,98189 \Omega$

$13) 2 \times w(13) =$ $= 2 \times 7,3$	$2 \times a(13) =$ $= 2 \times 0,13432 \text{ m}$	$L(13) = 0,0031352 \text{ H}$	$z(13) = 0,98499 \Omega$
--------------------------------------------	------------------------------------------------------	-------------------------------	--------------------------

$Z_{\text{calculat}} = 0,0759260211536363 \Omega$

Eroarea (dZ) = $7,39788463636898E-5 \Omega$; Eroarea relativă procentuală ($100 \cdot dZ/Z$) = $0,0973405873206445 \%$.

A.2.3. Calculul pierderilor în regim permanent de funcționare

Pentru bobinajul realizat din conductori de aluminiu clasa F de izolație, valoarea pierderilor se determină la temperatura de referință:

$\theta = 115^\circ\text{C}$. Se aplica formula(49)

$$P = 14,20 \cdot 10^{-12} \cdot k_s \cdot M \cdot j^2;$$

unde:

$$k_s = 1 + k_0 \cdot k_q \cdot k_p \cdot \left(\frac{\sum_{i=1}^N W_i}{h} \right)^2 \cdot \left(\frac{f}{50} \right)^2 \cdot 10^{-3} \text{ [vezi formula (45)]},$$

iar masa netă „ M ” se determină cu relația:

$$M = \rho \cdot \pi \cdot \left(\sum_{i=1}^9 d_i \cdot w_i \right) \cdot n \cdot s_c.$$

Pentru Bobina 9/1500 \Rightarrow

$$k_s = 1 + 18,8 \cdot 272,95 \cdot 10^{-6} \cdot 0,37 \cdot [(17,2 + 15,6 + 14,6 + 13,8 + 13,4 + 13,2 + 13 + 13 + 13,4) / 0,422]^2 \cdot 10^{-3} = 1 + 0,1725 = 1,1725;$$

$$M = 2,7 \cdot \pi \cdot (1064,5 \cdot 17,2 + 1118,125 \cdot 15,6 + 1171,75 \cdot 14,6 + 1225,375 \cdot 13,8 + 1279 \cdot 13,4 + 1332,625 \cdot 13,2 + 1386,25 \cdot 13 + 1439,875 \cdot 13 + 1493,5 \cdot 13,4) \cdot 10 \cdot 20,6 \cdot 10^{-6} \approx 282 \text{ kg};$$

$$j = 1,3484 \cdot 10^6 \text{ A/m}^2;$$

$$P = 14,20 \cdot 10^{-12} \cdot 1,1725 \cdot 282 \cdot (1,3484 \cdot 10^6)^2 = 8536,65 \text{ W}$$

Pentru Bobina 13/1500 \Rightarrow

$$k_s = 1 + 19 \cdot 193,45 \cdot 10^{-6} \cdot 0,37 \cdot [(22,8 + 20,2 + 18,6 + 17,2 + 16,2 + 15,4 + 15 + 14,4 + 14,2 + 14,2 + 14,2 + 14,2 + 14,6) / 0,420]^2 \cdot 10^{-3} = 1 + 0,34388 \approx 1,344.$$

$$M = 2,7 \cdot \pi \cdot (850 \cdot 22,8 + 903,625 \cdot 20,2 + 957,25 \cdot 18,6 + 1010,875 \cdot 17,2 + 1064,5 \cdot 16,2 + 1118,125 \cdot 15,4 + 1171,75 \cdot 15 + 1225,375 \cdot 14,4 + 1279 \cdot 14,2 + 1332,625 \cdot 14,2 + 1386,25 \cdot 14,2 +$$

$$+1439,875 \cdot 14,2 + 1493,5 \cdot 14,6) \cdot 10 \cdot 14,6 \cdot 10^{-6} = 299,11 \text{ kg};$$

$$j = 1,317 \cdot 10^6 \text{ A/m}^2;$$

$$P = 14,20 \cdot 10^{-12} \cdot 1,344 \cdot 299,11 \cdot (1,317 \cdot 10^6)^2 = 9901,25 \text{ W}$$

Observație: valoarea pierderilor în regim permanent a bobinei 9/1500 este mai mică cu 1364 W comparativ cu bobina 13/1500 și ca urmare varianta constructivă "Bob:9/1500" se impune a fi adoptată.

A.2.4. Verificarea încălzirii în regim nominal de funcționare

Pentru calculul pierderilor specifice se aplică formula (63):

$$\Delta p = 2,0574 \cdot 10^{-10} \cdot k_s \cdot b \cdot j^2 \left[\frac{W}{m^2 \cdot ^\circ C} \right];$$

Încălzirea este corespunzătoare dacă este îndeplinită inecuația (65):

$$\Delta p \leq \Delta p_{adm} = k \cdot \alpha_{1con}.$$

Mărimile α_{1con} și k se determină din diagramele din figura 8 și 9 sau analitic cu ajutorul formulelor (21-2) și (21-3), în funcție de înălțimea bobinajului ($h_{bob} \approx 0,450 \text{ m}$), de lățimea canalelor de răcire ($k_0 = \Delta = 1,4 \text{ cm}$) și de încălzirea $\vartheta = 100 \text{ }^\circ\text{C}$ (corespunzătoare pentru clasa F de izolație) \Rightarrow

$$\Delta p_{adm} = k \cdot \alpha_{1con} = 1,185 \cdot 5,460 = 6,470 \frac{W}{m^2 \cdot ^\circ C}$$

Pentru Bobina 9/1500 \Rightarrow

$$h \approx 450 \text{ mm}$$

$$\begin{aligned} \Delta p &= 2,0574 \cdot 10^{-10} \cdot 1,175 \cdot 13 \cdot 10^{-3} (1,3484 \cdot 10^6)^2 = 5,70 \leq \Delta p_{adm} = \\ &= 6,470 \frac{W}{m^2 \cdot ^\circ C} \end{aligned}$$

Pentru Bobina 13/1500 \Rightarrow

$$\begin{aligned} \Delta p &= 2,0574 \cdot 10^{-10} \cdot 1,344 \cdot 13 \cdot 10^{-3} (1,317 \cdot 10^6)^2 = 6,235 \leq \\ &\leq \Delta p_{adm} = 6,470 \frac{W}{m^2 \cdot ^\circ C} \end{aligned}$$

A.2.5 Verificarea funcționării la curentul nominal de scurtă durată

a) Se aplica formula (66):

$$T_1 = \theta + a \cdot j_{sc}^2 \cdot t \cdot 10^{-3} [^{\circ}C]$$

și se verifică inecuația (67): $T_1 \leq T_2$; Pentru bobinajul de aluminiu clasa F de izolație (vezi tabelele 2 și 3) \Rightarrow

$$\theta = 140^{\circ}C \text{ (vezi tabelul 1) și } a = a\left(\frac{\theta + T_2}{2}\right) = a\left(\frac{140 + 200}{2}\right) = a(170) = 17,85.$$

Pentru Bobina 9/1500 \Rightarrow

$$T_1 = 140 + 17,85 \left(\frac{50000}{9 \cdot 206}\right)^2 \cdot 3 \cdot 10^{-3} = 179 \leq T_2 = 200^{\circ}C$$

Pentru Bobina 13/1500 \Rightarrow

$$T_1 = 140 + 17,85 \left(\frac{50000}{13 \cdot 146}\right)^2 \cdot 3 \cdot 10^{-3} = 177,17 \leq T_2 = 200^{\circ}C$$

b) Se aplica formula(68): $j_{sc}^2 \cdot t = \frac{c_0 \cdot \gamma}{k_s \cdot \alpha \cdot \rho_0} \cdot \ln \frac{1 + \alpha \cdot T_2}{1 + \alpha \cdot \theta}$

și se verifica inecuația (69): $t \geq t_N$;

Pentru Bob 9/1500 \Rightarrow

$$\left(\frac{50000}{9 \cdot 206 \cdot 10^{-6}}\right)^2 \cdot t = \frac{387 \cdot 2,7 \cdot 10^3}{1,175 \cdot 408 \cdot 10^{-5} \cdot \frac{1}{39,416} \cdot 10^{-6}} \cdot \ln \frac{1 + 408 \cdot 10^{-5} \cdot 200}{1 + 408 \cdot 10^{-5} \cdot 140} \Rightarrow$$

$$t = 1,71 < t_N = 3 \text{ s}$$

Pentru Bob13/1500 \Rightarrow

$$\left(\frac{50000}{13 \cdot 146 \cdot 10^{-6}}\right)^2 \cdot t = \frac{387 \cdot 2,7 \cdot 10^3}{1,344 \cdot 408 \cdot 10^{-5} \cdot \frac{1}{39,416} \cdot 10^{-6}} \cdot \ln \frac{1 + 408 \cdot 10^{-5} \cdot 200}{1 + 408 \cdot 10^{-5} \cdot 140} \Rightarrow$$

$$t = 1,567 < t_N = 3 \text{ s}$$

Observație: Pentru siguranță în exploatare se impune ca durata de funcționare a bobinei la curentul nominal de scurtă durată de 50000 A sa fie limitată la o valoare de maximum 1,5 secunde. In ipoteza in care durata de funcționare de $t=3$ secunde nu poate fi diminuată,

atunci este necesară redimensionarea bobinei. Se menține clasa F de izolație a bobinei, dar se majorează secțiunea spirelor astfel încât supratemperatura înregistrată la sarcina nominală să aibă o valoare $\vartheta \leq \vartheta_p$; unde supratemperatura " ϑ_p " are o valoare predeterminată situată sub valoarea maximă admisibilă a clasei F de izolație ($\vartheta_a = 100^\circ\text{C}$). Pentru valoarea predeterminată $\vartheta_p \ll \vartheta_a = 100^\circ\text{C}$ se calculează α_{con} cu formula (21-4), și apoi în funcție de această valoare se determină valoarea densității de curent " j " la sarcina nominală. Algoritmul de calcul este similar cu cel prezentat în capitolele 4 și 7. Durata " t " calculată cu relația (68) poate fi majorată, deoarece valoarea $T_2=200^\circ\text{C}$ rămâne nemodificată, iar mărimile " $\theta=40+\vartheta_p$ " și implicit " j_{sc} " pot fi diminuate succesiv astfel încât valoarea " t " să rezulte minim 3 secunde. Exemplu:

Se adopta $\vartheta_p=70^\circ\text{C} \Rightarrow \theta=40+\vartheta_p=110^\circ\text{C}$; din relația (21-4) $\Rightarrow \alpha_{con}=5,926 \frac{\text{W}}{\text{m}^2 \cdot ^\circ\text{C}}$; din relațiile (44) și (58) în care s-a efectuat substituția " $\Delta p = \alpha_{con}$ " $\Rightarrow j=1,20 \cdot 10^6 \text{ A/m}^2 \Rightarrow j_{sc} = \frac{I_{sc}}{I_n} \cdot j = \frac{50000}{2500} \cdot 1,20 \cdot 10^6 = 24 \cdot 10^6 \text{ A/m}^2$. Înlocuind în formula (68) toate aceste valori și considerând valoarea coeficientului pierderilor suplimentare k_s practic nemodificată, rezultă pentru "Bob 9/1500" $t=3,36 > t_N = 3 \text{ s}$.

A.2.6 Verificarea la forțele electromagnetice

A.2.6.1 Eforturile ce acționează pe unitatea de lungime a spirei se determină cu relația (78):

$$F_C \approx 4,24 \cdot 10^{-7} \cdot \frac{1}{b \cdot N} \cdot \sum_1^N w_i \cdot (I_d)^2 \cdot A_h \quad [\text{N/m}],$$

iar lungimea „ l_d ” maximă admisibilă a porțiunii de spire încastrate între două distanțoare consecutive se determină din relația (83), în care s-a înlocuit mărimea „ σ ” cu „ σ_{adm} ”:

$$\sigma_{adm} = \sqrt[3]{\frac{F_C^2 \cdot l_d^2 \cdot E}{6 \cdot (\sum s_C)^2}} [N/m^2] \Leftrightarrow l_d \leq \left(\frac{6}{E}\right)^{1/2} \cdot \frac{\sum s_C}{F_C} \cdot \sigma_{adm}^{3/2}$$

Pentru Bobina 9/1500 \Rightarrow

$$F_C \approx 4,24 \cdot 10^{-7} \cdot \frac{127,2/9}{227,5 \cdot 10^{-3}} \cdot 125000^2 \cdot 0,3 = 123,5 \cdot 10^3 \text{ N/m}$$

$$l_d \leq \left(\frac{6}{7,063 \cdot 10^{11}}\right)^{1/2} \cdot \frac{206 \cdot 10^{-6}}{123,5 \cdot 10^3} \cdot (15 \cdot 10^7)^{3/2} = 8,93 \cdot 10^{-3} \text{ m.}$$

Pentru Bobina 13/1500 \Rightarrow

$$F_C \approx 4,24 \cdot 10^{-7} \cdot \frac{211,2/13}{334,75 \cdot 10^{-3}} \cdot 125000^2 \cdot 0,46 = 147,9 \cdot 10^3 \text{ N/m}$$

$$l_d \leq \left(\frac{6}{7,063 \cdot 10^{11}}\right)^{1/2} \cdot \frac{146 \cdot 10^{-6}}{147,9 \cdot 10^3} \cdot (15 \cdot 10^7)^{3/2} = 5,28 \cdot 10^{-3} \text{ m}$$

Eforturilor ce acționează pe unitatea de lungime a spirei se determina cu relația (87):

$$F_l = 10^{-7} \cdot \frac{\sum_{i=1}^N w_l}{h} \cdot \left(\frac{I_d}{N}\right)^2 \cdot \beta [N/m],$$

iar lungimea „ l_d ” maximă admisibilă a porțiunii de spire încastrate între două distanțoare consecutive se determină din relația (86), în care s-a înlocuit mărimea „ F_{adm} ” cu „ F_1 ” \Rightarrow

$$l_d \leq \frac{\sum s_C}{F_l} \cdot \sqrt{\frac{24 \cdot \sigma_{adm}^3}{E}} [m].$$

Pentru Bobina 9/1500 \Rightarrow

$$F_l = 10^{-7} \cdot \frac{127,2}{0,422} \cdot \left(\frac{125000}{9}\right)^2 \cdot 3 = 17,443 \cdot 10^3 \text{ N/m} \Rightarrow$$

$$l_d \leq \frac{206 \cdot 10^{-6}}{17,443 \cdot 10^3} \cdot \sqrt{\frac{24 \cdot (15 \cdot 10^7)^3}{7,063 \cdot 10^{11}}} = 0,12647 \text{ m.}$$

Pentru Bobina 13/1500 \Rightarrow

$$F_l = 10^{-7} \cdot \frac{211,2}{0,420} \cdot \left(\frac{125000}{13} \right)^2 \cdot 2,35 = 10,925 \cdot 10^3 \text{ N/m} \Rightarrow$$

$$l_d \leq \frac{146 \cdot 10^{-6}}{10,925 \cdot 10^3} \cdot \sqrt{\frac{24 \cdot (15 \cdot 10^7)^3}{7,063 \cdot 10^{11}}} = 0,1431 \text{ m.}$$

A.2.6.2 Forțele electrodinamice care acționează între bobine

a) cazul montajului suprapus (cele trei bobine monofazate sunt identice și sunt montate suprapus pe aceeași verticală a locului); se aplică formulele (95) și (96):

$$F_{atr} = \frac{1}{4} \cdot I_d^2 \cdot w^2 \cdot \varphi_a \text{ [N]}; \quad F_{resp} = 3 \cdot F_{atr} \text{ [N]};$$

Pentru Bobina 9/1500 \Rightarrow din figura 17, pentru $S = 0,6 \cdot d_m$ și $h/d_m = 422/1270 = 0,33 \Rightarrow$

$$\varphi_a = 19 \cdot 10^{-8}$$

$$F_{atr} = \frac{1}{4} \cdot 125000^2 \cdot \left(\frac{127,2}{9} \right)^2 \cdot 19 \cdot 10^{-8} = 148,25 \cdot 10^3 \text{ [N]};$$

$$F_{resp} = 3 \cdot 148,25 \cdot 10^3 = 444,76 \cdot 10^3 \text{ [N]};$$

Pentru Bob13/1500 \Rightarrow din figura 17, pentru $S = 0,6 \cdot d_m$ și $h/d_m = 420/1171,75 = 0,36 \Rightarrow$

$$\varphi_a = 18,5 \cdot 10^{-8}$$

$$F_{atr} = \frac{1}{4} \cdot 125000^2 \cdot \left(\frac{211,2}{13} \right)^2 \cdot 18,5 \cdot 10^{-8} = 190,74 \cdot 10^3 \text{ [N]};$$

$$F_{resp} = 3 \cdot 190,74 \cdot 10^3 = 572,2 \cdot 10^3 \text{ [N]};$$

b) cazul montajului alăturat (cele trei bobine sunt montate în linie în același plan orizontal); se aplică formulele (98) și (99):

$$F_{atr} = \frac{1}{4} \cdot I_d^2 \cdot w^2 \cdot \varphi_r \quad [N]; \quad F_{resp} = 3 \cdot F_{atr} \quad [N];$$

Pentru Bobina 9/1500 \Rightarrow din figura 18, pentru $S = 1,5 \cdot d_m$ și $h/d_m = 422/1270 = 0,33 \Rightarrow$

$$\varphi_r = 5 \cdot 10^{-8}$$

$$F_{atr} = \frac{1}{4} \cdot 125000^2 \cdot \left(\frac{127,2}{9} \right)^2 \cdot 5 \cdot 10^{-8} = 39,013 \cdot 10^3 \quad [N];$$

$$F_{resp} = 3 \cdot 39,013 \cdot 10^3 = 117,04 \cdot 10^3 \quad [N].$$

Pentru Bobina 13/1500 \Rightarrow din figura 18, pentru

$$S = 1,5 \cdot d_m \text{ și } h/d_m = 420/1171,75 = 0,36 \Rightarrow$$

$$\varphi_r = 4,5 \cdot 10^{-8}$$

$$F_{atr} = \frac{1}{4} \cdot 125000^2 \cdot \left(\frac{211,2}{13} \right)^2 \cdot 4,5 \cdot 10^{-8} = 46,39 \cdot 10^3 \quad [N];$$

$$F_{resp} = 3 \cdot 46,39 \cdot 10^3 = 139,19 \cdot 10^3 \quad [N]$$

Bibliografie:

- [1] Rudenberg R., *Fenomene tranzitorii în sistemele electromagnetice*, București, Ed. Tehnica, 1959.
- [2] Leites L.V., *Calculul electromagnetice ale transformatoarelor*, Moscova, Energhia, 1981.
- [3] Kalantarov P.L. și Teitlin L.A., *Calculul inductanțelor* (traducere din lb. rusă), București, Ed. Tehnica, 1958.
- [4] Jezierski E., Gogolevski Z., Kopczynski Z. și Szmit I., *Transformatoare electrice, Construcție și proiectare* (traducere din lb. polonă, adaptată și completată), București, Ed. Tehnică, 1966.
- [5] Timotin A., Hortopan V., Ifrim A., Preda M., *Lecții de Bazele Electrotehnicii*, București, Ed. Didactică și Pedagogică, 1970.
- [6] Babikov M.A., *Aparate electrice vol. III - Aparate electrice de înaltă tensiune* (traducere din lb. rusă, adaptată și comentată), București, Ed. Tehnica, 1965.
- [7] Gheorghiu I., Fransua A., *Tratat de mașini electrice volumul al II-lea Transformatoare*, București, Ed. Academiei, 1970.
- [8] Bala C. s.a., *Bobine de reactanță pentru sisteme energetice*, București, Ed. Tehnică, 1982.
- [9] Hütte, *Manualul inginerului, Volumul I* (traducere îngrijită de prof. dr. ing. Remus Răduleț după ediția a 27-a germană), București, Ed. Tehnică, 1949.
- [10] CEI 60076-6: 2007, Bobine de reactanță.
- [11] Hortopan Gh., *Aparate electrice*, București, Ed. Didactica și Pedagogica, 1972.
- [12] Constantin Viorel Marin, Doina Marin, *Contribuții la determinarea coeficientului de transmisie a căldurii prin conducție și convecție la transformatoarele electrice uscate*, Electronica, Electrotehnica, Automatica, 47 (1999), Nr. 11-12

